

労働衛生研究所年報

昭和 47 年度

労働省労働衛生研究所

1	目 次
2	I 研究調査
3	1. 健康管理
4	(1) Computerによる健康管理システム
5	一質問紙法による定期健康診断 Screening の妥当性について
6	2. 尿中ステロイドとカテコールアミン分析技術
7	(2) 高速液体クロマトグラフィーによるステロイドの分析
8	(3) イオン交換樹脂クロマトとオートアナライザーをつないだ
9	カテコールアミン分離分析法について (V)
10	(4) カテコールアミン自動定量法の改良
11	3. 生活リズムとその攪乱
12	(5) 尿中ステロイドホルモン代謝物に関する研究 (X X)
13	コルチコイドの尿中排泄におよぼす昼夜逆転生活の影響
14	(6) 尿中ステロイドホルモン代謝物に関する研究 (X XI)
15	コルチコイドの尿中排泄におよぼす生活習慣の影響
16	(7) ストレッサー暴露時の日内変動 (I)
17	(8) 睡眠中の尿中アドレナリン排泄量
18	(9) 夜間尿中カテコールアミン排泄量
19	4. ストレス一分娩、試験
20	(10) 分娩におけるカテコールアミン排泄量 (II)
21	(11) 学期末試験とカテコールアミン排泄量
22	5. 作業
23	(12) Isotonic training と isometric training における
24	カテコールアミン排泄量
25	(13) 自由作業と規制作業について
26	(14) 聴覚的 vigilance シグナルと 2, 3 の生理的反応について
27	(15) 精神作業によるストレス反応と不快感情について
28	6. アスベスト等粉じん
29	(16) 加熱アスベストの溶解と細胞毒性
30	(17) 諸種のじん肺症起因粉じんの細胞毒性

7. カドミウム	21
(18) カドミウムフュームの吸入毒性	21
(19) 亜急性カドミウム中毒における臨床化学的研究	22
(20) カドミウムの長期経口投与実験(1)	23
(21) カドミウムの長期経口投与実験(2)	24
病的変化について	
(22) イタイイタイ病患者尿リゾチーム	25
(23) カドミウム中毒症の免疫学的診断	25
(24) カドミウムの次世代への影響	26
8. 鉛	28
(25) 鉛フューム吸入実験(I)	28
submicron 鉛粒子の肺内挙動	
(26) 鉛フューム吸入実験(II)	29
submicron 鉛粒子による呼吸器病変	
9. メタロチオネイン	31
(27) Metallothionein に関する研究	31
(28) 銅投与ラット肝の metallothionein 分画の金属量	31
—カドミウム投与に対する比較—	
(29) 正常なラット腎の metallothionein 中の金属量の週令的変化	32
10. P C B 及びその代替品	34
(30) P C B 取扱い事業場における環境および従業員健康調査報告	34
(31) P C B の生体内分布	35
(32) P C B の毒性検討	36
(33) 大気中の P C B 測定法の検討	36
(34) 大気中 P C B 量の測定	37
(35) 感圧紙製造工場従業員の健康調査	37
11. 一酸化炭素	38
(36) 一酸化炭素中毒の生化学的検討	38
12. 重油燃焼生成物	39
(37) 重油燃焼生成物長期吸入実験(V)	39
—吸入装置並びに環境条件について—	
(38) 重油燃焼生成物吸入実験(VI)	40
—病理学的所見—	
(39) 重油燃焼生成物の細胞毒性	41

013. 弗素樹脂熱分解生成物	43
020. (40) 有機弗素樹脂の熱分解生成物の分析(1)	43
10. 「アリザリンコンプレクソン法によるポリフルオロエチレンプロピレン(PFEP)熱分解生成物中の水溶性弗化物の定量」	
20. (41) 有機弗素樹脂の熱分解生成物の分析(2)	44
30. 「赤外吸収スペクトル法およびガスクロマトグラフマススペクトル法によるポリテトラフルオロエチレン(PTFE)熱分解生成物の同定」	
40. (42) 有機弗素樹脂の熱分解生成物の分析(3)	45
50. 「ガスクロマトグラフマススペクトル法および赤外吸収スペクトル法によるポリフルオロエチレンプロピレン(PFEP)の熱分解生成物の同定」	
14. 肺組織病変の客観的評価法	46
015. 電顕的形態計測法の肺組織への応用	46
15. エアロゾルの肺内沈着	48
sub0. (44) 重金属エアロゾルの吸入に関する研究(II)	48
—不整形多分散アンチモンおよびカドミウム・エアロゾルの肺内への滞留率—	
16. エアロゾルの測定	50
式0. (45) 多段型分粒装置による粒度解析	50
式0. (46) 粒度分布測定器 Andersen Sampler の分級特性	50
式0. (47) 煙道排ガス中の粒子状物質測定用円筒ろ紙の特性について	51
17. 発がん物質の定量	53
pos. (48) 多環芳香族炭化水素系発がん性物質に対する螢光分析用溶媒の研究	53
80. (49) 市販ガソリン中の発がん性多環芳香族炭化水素の分析	54
たま. (50) アスベスト中の多環芳香族炭化水素の分析	55
18. 気中有机溶剤蒸気の定量	56
な. (51) 有機溶媒蒸気の赤外吸収スペクトルの利用(IV)	56
野を試みた。—ゴム糊揮発性成分の簡易定量—	
19. 実験装置研究	57
020. (52) 環境ガス濃度測定法の性能調査用試験ガス空気流調製装置の作製	57
18. (53) 呼吸 simulator の研究(2)	57
3. (54) 多用途粒子状物質吸入装置の研究(VII)	58
—吸入箱内換気回数をへらすための一試案—	

20. 大気汚染	60
(55) 粒子状大気汚染物質の電顕的研究	60
(1)(56) 低濃度汚染大気吸入実験の形態学的検討	61
(20) カドミウム急性吸入実験の問題点	23
(57) 大気中シアン類の捕集方法の研究	62
(58) インパクター粉じん線のイオン反応 (NH_4^+ , NO_3^- , SO_4^{2-} について)	63
21. 振動	64
(59) 超低周波振動の実験	64
22. ガス吸着剤	66
(60) 種々の活性炭による水銀蒸気の吸着	66
(61) 吸着剤の流動ガス吸着試験	67
23. 防毒マスク	69
(62) 有機ガス用防毒マスク吸収缶通過試験空気流中の四塩化炭素濃度の測定法	69
(63) 防毒マスク吸収缶試験用四塩化炭素蒸気混合気流発生装置	70
24. 塗装プロセスの局所排気	71
(64) 連続式コーターによるエンドレスシートの	
塗装プロセスに対する局所排気系(その1)	71
25. フレキシブルダクト	73
(65) フレキシブルダクトの圧力損失(第6報)	73
(45°, 135°曲りダクトの圧力損失)	
26. 気中タール様物質除去技術	75
(66) 水道用鋼管外面のコールタール塗覆装プロセスに対する排気フード	75
(67) タール様空気汚染物質の捕集除去技術	76
II. 保護具検定	78
III. 庶務	79
(1) 職員	79
(2) 予算	79
(3) 図書及び刊行物	80
(4) 日誌	81
(5) (IV) 会員の賛助会員登録用紙	(付)
(6) 会員登録料金の支払い案内(一回限りの支払い)	(付)

2 尿中 I 研究調査

○1 健康管理

(1) Computerによる健康管理システム

質問紙法による定期健康診断 Screening の妥当性について

中村国臣

幾つかの要因により、現在の健康管理方式は、全般的変革を迫られている。この要請に対処する一方策として、computer を利用した健康管理システム (Health Care System) が 2, 3 の企業で試みられている。そのうちの一つF社K工場の H.C.S. の運用状況を研鑽する機会を得た。F社に限らず、現在行なわれている computer による H.C.S. は、未だ開発途上における試行段階というべきであり、F社の場合も、H.C.S. の中枢部をなす健康簿 maintenance subsystem は完成間近かではあるが、運用されておらず、総合された system 全体としての運用効果を評価するにはかなりの時間を要すると思われる。

F社では、新たな試みとして約 8,000 名の従業員について、定期健康診断に質問紙法による screening を行なっている。これは現在、通常の定期健康診断で行なわれている医師による形式的な打聽診を排し、診察の必要度の比較的高い者の診察内容を濃密化しようとするものである。

今回は、この質問紙法による screening の妥当性について検討を加えた。screening の妥当性を検討するには、false negative (健康障害があるにもかかわらず拾われない) と false positive (健康障害がないのに拾われる) の度合が判らなければならない。特に健康診断の screening では false negative を少なくすることが肝要である。しかし、この実数をつかむためには screening で拾われなかつた者 (約 5,000 名) 全員の精密検診を施行しなければならない。これは現実的に実行不可能であつた。又、例年発見される健康障害者の数は極めて少なく、sampling による推定もむずかしい。そこで、以下に示す間接的方法により妥当性の検討を試みた。

1. false positive の率。
2. 1ヶ月前に行なわれた同じ質問紙による pilot survey と、本 screening の質問回答率の突き合せ。
3. 同時に行なわれた U.P.I. (University Personality Inventory) の同じ又は類似質問の回答率の突き合せ。

4. 腰背部痛、狭心発作、月経困難有訴者の面接。

5. 個人別質問回答数分布の分析。

6. 血液比重と対応症状の相関。

前述のごとく、あくまでも間接的検討であるから、断定的結論は下せないが、上記 6 項目の検討からはいずれも否定的な結論が得られた。最終的に健康障害と判定される者が非常に少ない事実、これが false positive を多くしている原因であろうが、果してこの少数の者を screening することが技術的に可能かどうか、あるいはその必要性は？ 少なくとも現状でのアンケート調査技術の限界や、体系化の進んでいない症候論等を考え合わせると、質問紙法による screening は適切であるとは認め難い。現在質問紙法に代る客観的 parameter を探している。

(6) 種々の活性試による水銀蒸気の検定
吸収能要証のためか直近半度前後全(お先に腰背痛の苦悶、ひよの因縁のためか)第7
度換算基を用いたアドレナリン、ノルアドレナリンの
人尿中には遊離型コルチコイドとして、cortisol, 20-dihydrocortisol, 6 β -hydroxycortisol
など紫外線吸収をもつものが含まれている。cortisol はストレス指標の一つに数えられており、6 β -hydroxycortisol は肝疾患、薬物代謝に関する cortisol の代謝物の一つである。これらのコルチコイドのガスクロマトグラフィー (GLC) による分離は難かしく、一般には、ペーパクロマトグラフィー、薄層クロマトグラフィーが使用されている。高速液体クロマトグラフィーで分離剤として ODS-Permaphase、溶出液としてメタノール-水混合液を用いた場合には、GLC ではなかなか留出しにくい、水酸基やケトン基の多いコルチコイドが、これらの少ないアンドロゲンより早く流出し、高温で加熱しないで分解する心配もない。

2 尿中ステロイドとカテコールアミン分析技術

(2) 高速液体クロマトグラフィーによるステロイドの分析

すでに筆者はテクニコン製オートライザーユニットアドレナリン、ノルアドレナリンの
人尿中には遊離型コルチコイドとして、cortisol, 20-dihydrocortisol, 6 β -hydroxycortisol
など紫外線吸収をもつものが含まれている。cortisol はストレス指標の一つに数えられており、6 β -hydroxycortisol は肝疾患、薬物代謝に関する cortisol の代謝物の一つである。これらのコルチコイドのガスクロマトグラフィー (GLC) による分離は難かしく、一般には、ペーパクロマトグラフィー、薄層クロマトグラフィーが使用されている。高速液体クロマトグラフィーで分離剤として ODS-Permaphase、溶出液としてメタノール-水混合液を用いた場合には、GLC ではなかなか留出しにくい、水酸基やケトン基の多いコルチコイドが、これらの少ないアンドロゲンより早く流出し、高温で加熱しないで分解する心配もない。

まづ、置換基の種類、数、位置と保持時間との関係を調べるために、モデル化合物として 4-pregnene-3-one (4-P-3-one と略す) およびその 11 位または 20 位の置換体を用いた。装置は Du Pont 製 840 型高速液体クロマトグラフ (紫外線検出器 254nm) で、カラムは内径 2.1 mm、長さ 1m のものを用い、分離剤として ODS-Permaphase、溶出液にはメタノール-水混合液を用いた。温度、室温、圧力 40~70kg/cm² の範囲で分離挙動を調べた。メタノールの濃度を増すと保持時間は短くなるが、分離が悪くなる。圧力を増しても同様である。置換基の種類、数、位置と保持時間との関係は、例えは、メタノール-水 (70:30), 60kg/cm², 室温 18°C という条件では、4-P-3-one, 8.68min.; 20 α -hydroxy-4-P-3-one, 2.43; 20 β -hydroxy-4-P-3-one, 2.44; 20 α -acetoxy-4-P-3-one, 2.27; 20 β -acetoxy-4-P-3-one, 2.91; progesterone (prog. と略す), 2.55, 11 α -hydroxy-prog., 2.25; 11 β -hydroxy-prog., 2.30, 11 α -acetoxy-prog., 2.28; 11 β -acetoxy-prog., 2.30, 11-keto-prog., 2.23 であつた。11 位、20 位共に置換基のない 4-P-3-one の保持時間はかなり長くなる。20 位に一つ置換基が入るとかなり短くなる。prog. を母体として 11 位に置換基を入れるとやはり短くなる。20 位では置換基の種類、立体配置によつて差がみられるが、11 位ではその差は余り大きくなない。しかし、条件を変えると若干差が出て来る。未だ、系統的に処理するほど多種類の測定は行なつていないが、水酸基やケトン基が一個増すと条件を検討すれば分離出来そうである。次に cortisol, cortisone, corticosterone の分離を試みた。メタノール-水 (20:80), 70kg/cm², 室温での保持時間は 2.66, 2.72, 4.83min で cortisol と cortisone の分離は難かしいが corticosterone は水酸基が一つ少ないので溶出が遅れ、分離できることがわかつた。今後、温度変化を調べる予定である。尿試料からの遊離コルチコイドの分析については検討中である。

(3) イオン交換樹脂クロマトとオートアナライザーをつないだ
カテコールアミン分離分析法について (V)

須藤綾子 前述のごとく、あくまでも間接的検討からいづれも否定的な結論が得られた。最終的に健康障害と判定される者が非常に少な

昨年度までに筆者は、尿中アドレナリンとノルアドレナリンを、アルミナにより粗精製して減圧濃縮した後、Amberlite CG-50 Type III 6×80mm カラムにより各アミンを分離しオートアナライザーで定量する方法を開発した。本年度はこの方法について更に検討した。

1) 減圧濃縮と回収率について：イオン交換樹脂クロマトに charge した純物質カテコールアミンの回収率は平均、アドレナリン 84.1%，ノルアドレナリン 91.4% であつた。また、減圧濃縮する際試料を蒸発乾固させた場合とさせない場合とを比較すると、尿のアルミナ溶出液の場合測定値が前者では後者より両アミンとも約 35% 低く、尿アルミナ溶出液に加えた純物質の回収率はアドレナリンで前者 74%，後者 82%，ノルアドレナリンで前者 78%，後者 95% であつた。従つて、試料を濃縮させる時蒸発乾固させるとカテコールアミンがいく分分解するのではないかと思われる。なお、減圧濃縮の温度は 40~50°C であつた。

2) 反応試薬について：カテコールアミン酸化の至適 pH は、酢酸緩衝液では 6.2~6.3，リシン酸緩衝液では 6.5~7.0 であるが、この pH 領域における緩衝能力はリシン酸緩衝液の方がすこしがれています。そこで、従来使用して来た酢酸緩衝液をリシン酸緩衝液にかえて試みたが、本法のようによく長時間連続運転する場合はオートアナライザーのトランスマッショントーチの壁に白

3) 試料について：試料をカラムに charge する前に NH₃ 水で pH を調整するが、アルカリ性になるとカテコールアミンが分解するおそれがあるので、できればそのまま charge する方がよい。そこで、アルミナからの酢酸溶出液を減圧濃縮しそのまま (pH 調整せず) カラムに charge して展開したところ、アドレナリン、ノルアドレナリン、ドーパミンがいずれもほぼ単独に分離することがわかつた。また、純物質の回収率も試料の pH 調整をした場合と差がないことがわかつた。ただし、場合によつてノルアドレナリンとドーパミンの分離が悪くなることがあり検討の余地があることがわかつた。

4) 融光分別法との関係について：健常人の尿のアルミナ溶出液 80 試料を本法と後述の融光分別法とで測定したところ、相関係数および回帰線は、アドレナリンで $r=0.978$, $y=0.65x+1.0$ ，ノルアドレナリンで $r=0.941$, $y=0.96x-3.8$ (y : 本法, x : 融光分別法, 単位 ng/ml) であつた。相関係数は比較的高いが、アドレナリン値が両法でかなり異なる。この理由については今後更に検討したい。

(4) カテコールアミン自動定量法の改良

3 生活リズムとその搅乱

須藤綾子

(5) 尿中ステロイドホルモンに関する研究 (XX)

すでに筆者はテクニコン製オートアナライザーを使ったアドレナリン、ノルアドレナリンの自動定量法を開発したが、この方法では、試料の pH をまえもつて 6.2~6.3 に調整しなければならず、また測定妨害物質の除去を目的として試料を透析するが、このため感度が悪くまたピークの形もブロードになりやすい。筆者の経験では、健常人の尿アルミナ溶出液にはそれ程多量の妨害物質は含まれていないようなので、透析は必ずしも必要でないと考えられる。そこで、この 2 点を改良すべく図のような Flow-diagram による分析を検討した。

緩衝液の pH とアスコルビン酸、NaOH および K₃Fe(CN)₆ の濃度は、アドレナリン、ノルアドレナリンによる螢光が最大に近く、しかも乱れのないピークを与える条件として選んだ。

この方法によると、アドレナリン (5~50ng/ml), ノルアドレナリン (10~100ng/ml) 濃度とその螢光強度との間に直線関係があつた。また、尿のアルミナ溶出液に加えた基準アドレナリン、ノルアドレナリンの回収率はそれぞれ 90.7, 95.2% であつた。

本法と前法との関係を調べるため、150 試料の尿アルミナ溶出液を両法で測定したところ、アドレナリン、ノルアドレナリンに対しそれぞれ、相関係数 0.971, 0.967、回帰方程式 $y=0.92x+2.1$ $y=1.09x+0.2$ (y : 本法, x : 前法、単位 ng/ml) であつた。従つて両法の測定値は一応よく一致しているといえる。ブランク値としては、両法とも faded blank を用いているが、本法では試料を透析しないため前法にくらべブランク値が約 60% 高かつた。しかし、上述のように両法の測定値が一応よく一致していたので、試料の透析は一応不要であると考えられる。

本法は前法にくらべ次のような利点がある。

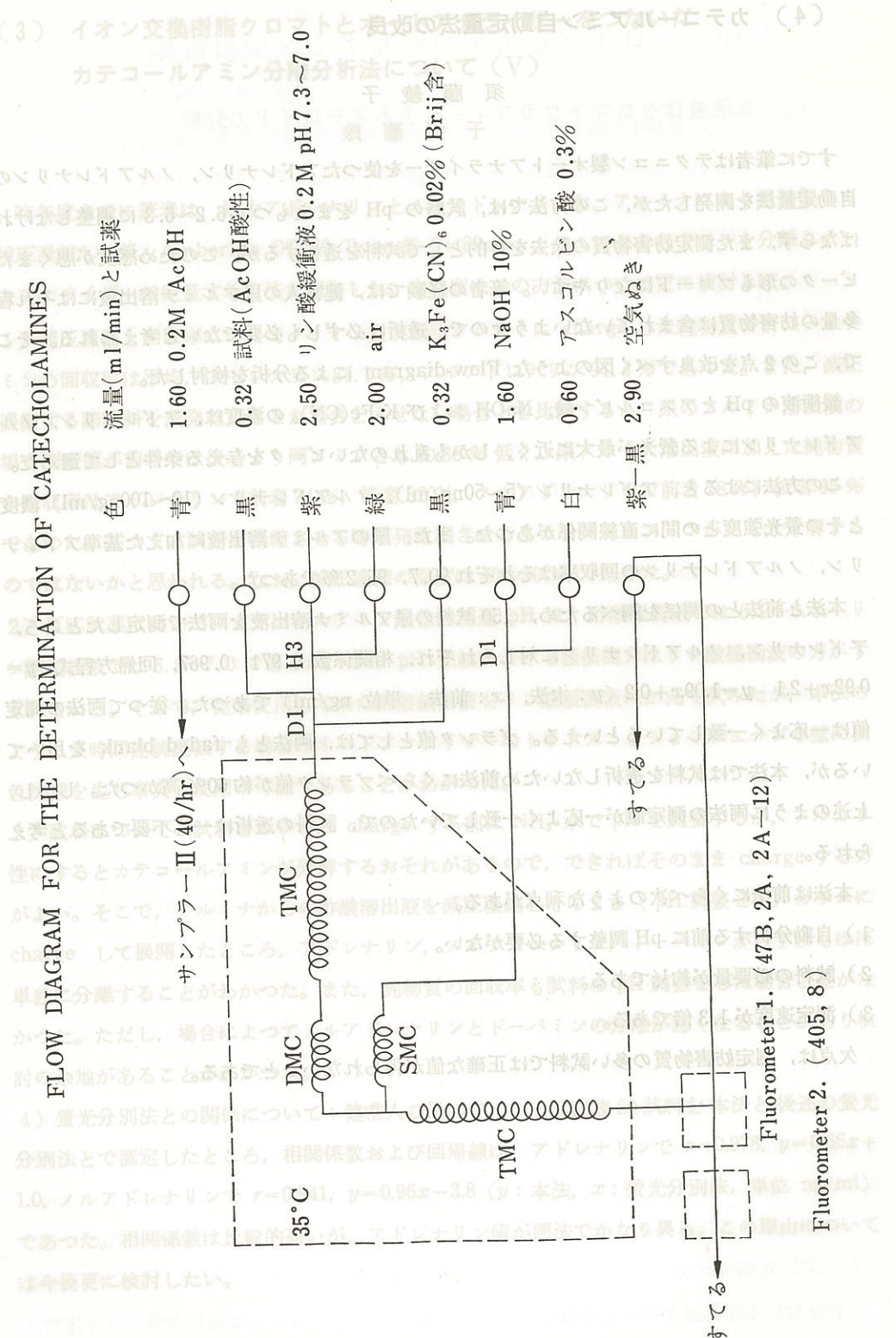
1) 自動分析する前に pH 調整する必要がない。

2) 試料の必要量が約 1/16 である。

3) 測定速度が 1.3 倍である。

欠点は、測定妨害物質の多い試料では正確な値が得られないことである。

尿中 17-OHCS はストレス指標としてしばしば使用されている。そこで、三直時夜間増加、昼間減少の現象はストレス負荷の度合の差によるものとも当然考えられる。しかし、簡単に逆転しないのは、固有のリズムの保持もかなり強固なものと思われる。ストレスを負荷しながら



3 生活リズムとその攪乱

(5) 尿中ステロイドホルモン代謝物に関する研究 (XX)

コルチコイドの尿中排泄によよぼす
昼夜逆転生活の影響 守 和子・中野 恵*・岡 龍雄 (*北里大・衛生)

微夜で長時間の守 和子・中野 恵*・岡 龍雄 (*北里大・衛生)
さえるために、負荷として麻雀を選び、喫煙も自由とした。従って、測定結果は複合ストレス
夜勤を2~3日連続してもコルチコイドの尿中排泄の日内リズムは昼夜逆転しないといわれ
ている。また、条件によつて異なるが8日位でリズムの逆転がみられたとの報告もある。最近
では夜勤の連続日数を短かくしている作業場も増加しているので、夜勤2~3日目におけるコ
ルチコイドの尿中排泄を日内リズムの振幅の大きいtetrahydrocortisol (THF), tetrahydro
cortisone (THE)を中心として調べた。

被験者は4組三交替制(111 222 333 明休日)の作業員7名、年令51才1名、30才6名
(平均35才)、勤務年限11年9月~25年1月(平均14年9月)で、看視作業を主とする職場
の指導的立場にいた。一直(8~15時)の2日目の9時から24時間、三直(22~8時、仮眠
2時間)の2日目の0時から32時間、睡眠中を除き原則として3時間毎に採尿した。ただし、
一直時の朝は睡眠中でも6時に採尿した。また、一直1日目、三直2日目の作業の前後に自覚
症状を、12時間を通して睡眠時間およびその深さを記録させた。排尿、採尿時に舌下温を測
定した。

舌下温は一直時(三直明から5日目)は朝6時が最低で午後最高となる典型的昼夜正常生活
時のパターンであった。三直(2~3日目)はリズムの中では朝6時の値が最低ではあつたが、
一直時に較べるとかなり高値を示した。昼眠に相当する時間帯では低く目、21時では高めの
値を示した。代表的な尿中コルチコイド代謝物、THF+allo-tetrahydrocortisol (a-THF),
THE, cortolone, β -cortoloneについてみると、一直時のパターンは第XIX報の日常生活時の
ものと殆んど同じであつた。即ち、交替勤務者も、三直明から5日目には昼勤者と同じパター
ンを持つ。しかし、恢復に何日かかつたかはこの実験からはわからない。三直時を一直時と比
較すると21~6時の平均排泄量がかなり増加している。昼間は三直時(昼眠を含む)は減少の
傾向がある。これらの関係は17-OHCS, 17-KGS, 17-KSでも観察されたが、後の二者では、
一直、三直共振幅が小さい。睡眠時間、自覚症状しらべの結果は昨年度(8)の56名の結果と
殆んど同じであつた。

尿中17-OHCSはストレス指標としてしばしば使用されている。そこで、三直時夜間增加、
昼間減少の現象はストレス負荷の度合の差によるものとも当然考えられる。しかし、簡単に逆
転しないのは、固有のリズムの保持もかなり強固なものと思われる。ストレスを負荷しながら

昼夜逆転生活をさせた場合、それが1日目であつても、三直時と似た現象が観察された。そこで、ストレスの強度によつて昼夜逆転生活のリズムへコルチコイドのリズムが順応し易くなるのか、また、1日で引起こされたリズムの変化と、2～3日またはそれ以上かかつた場合とでは恢復の過程が違うかどうかなど、まだ問題点は残されている。

(6) 尿中ステロイドホルモン代謝物に関する研究 (XXI)

コルチコイドの尿中排泄におよぼす生活習慣の影響

守 和子

日常生活時のコルチコイドの尿中排泄をみると、朝6～9時の値に個人差が大きい。また、6～9時の立上がりのかなり少ない例が観察された。これは起床時間の習慣が影響しているのではないかと考え、起床時間の遅い習慣を持つ女子1名について、予備的に尿中排泄調べた。日曜日にはしばしば昼近くまで寝ているので、土曜日の午前0時より24時間、3時間毎に分画尿をとつた。また、採尿時、舌下温と脈拍数を調べた。0～3時はねむさを我慢して起きた。3～12時まで就寝、16～24時まで仕事をした。その間のアドレナリンの排泄量は3.2, 0.0, 0.0, 0.0, 7.5, 8.8, 9.8, 12.4 ng/min であった。舌下温、脈拍数の最低値は6時で、最高値は15時であった。

コルチコイドの尿中排泄を24時間の平均値を100%として各分画を百分率で表わすと、tetrahydrocortisol (THF)+allo-THF は42, 31, 42, 134, 183, 152, 129, 87%; tetrahydrocortisone (THE) は35, 28, 40, 132, 186, 162, 123, 93%; cortolone は44, 35, 43, 116, 181, 154, 129, 98%; β -cortolone は65, 49, 44, 89, 131, 163, 146, 113%であり、6～9時において第XXI報で観察されたような急激な立上がりは見られなかつた。17-KS, 17-KGS, 17-OHCSにおいても同じ現象が見出された。なお、 β -cortoloneでは、リズムは少しあとへづれている。最高値は β -cortolone (15～18時) を除いて12～15時であった。この被験者についての朝6時とか、9時に起床させた値とも比較する必要があらうが、人は習慣により、コルチコイドの日内リズムが若干ずれる場合があることがわかつた。

(7) ストレッサー暴露時の日内変動 (I)

守 和子

実験室内で昼夜逆転生活をさせ、覚醒時ストレッサーに暴露させた場合の17-OHCS, THF+a-THF, adrenaline (ADR) などの尿中排泄の変動を3時間毎の分画尿について調べた。被験者は男子学生5名、その中4名には麻雀ゲームを負荷し、他の1名にはこの実験の手伝

いをさせた。実験は18時に開始され、48時間続けられた。第一夜は普通に睡眠させ(0～9時)、第二日目の13時より徹夜で麻雀をさせ、朝7時半就寝、16時頃起床、18時に実験を終了した。ゲームを負荷していない時間は、特に、強いストレスがかからない範囲で自由にさせた。ゲームを負荷しなかつた1名の行動は自由であつたが、彼はゲームのルールを知らず、興味を示さなかつた。昼眠中(9時に採尿、あとは1分画とする)を除き、3時間毎に採尿、舌下温、脈拍数、血圧を測定、自覚症状、主観的疲労度調査を行なつた。

徹夜で長時間の負荷を行なうので、出来るだけ自然に、快適に、飽きずに眠気を最小限におさえるために、負荷として麻雀を選び、喫煙も自由とした。従つて、測定結果は複合ストレスに暴露されたと考えた方がよいと思われる。ADRの排泄量はゲームをやつた4名の中、1名“A”が他の3名に較べ、非常に高値を示した。他の3名のADRの排泄はパターンも量も類似していた。“A”も量は違うが、パターンは類似していた。ゲームに参加した群の覚醒中のADRをみると、ゲーム中は夜間でも、昼間と変わらないADRの排泄があるが、3～6時では減少している。主観的疲労度の一番大きかつたのも6時であつた。Fröbergらは72時間断続させ、射撃を連続負荷した実験から、ADRには夜2時頃谷を持ち昼間山を持つ日内リズムの存在すること、ADRの排泄量はパフォーマンスとは正の相関を、主観的疲労度とは負の相関を持つと述べているが、本実験のADRと疲労度との関係と一致している。なお、“A”は覚醒中の最高血圧、ゲーム中のnoradrenalineの排泄量も他の3名より高値であった。手伝いをした1名にはゲームを負荷した場合のようなはつきりしたADRの変化はなかつた。夜眠中も昼眠中もADRの排泄は平均1ng/min以下で、その差はなかつた。17-OHCSについては、よくゲーム従事者群ではゲーム中の夜間は夜眠中より約30%の増加が、昼眠中はゲーム中の昼間より約40%の減少がみられ、日内変動に乱れがみられた。tetrahydrocortisol (THF)+allo-THFの結果も17-OHCSとほぼ同じであつた。舌下温もゲーム従事群のみ乱れがみられた。手伝いをした1名はゲームの行なわれていた0～6時は採尿の後処理に30分位起きさせていただけであとは仮眠をとつていた。彼の17-OHCS, THF+allo-THF, 舌下温の日内リズムには余りみだれは観察されなかつた。これらの反応の差はストレスの強度、あるいは仮眠の有無に關係するものと推察される。

(8) 睡眠中の尿中アドレナリン排泄量

守 和子

三交替制作業員の睡眠中の尿中アドレナリン排泄量を調べた際、一直の夜眠中に較べ、二直の夜眠中、三直の仮眠中および三直の昼眠中の測定値がやや高値を示した。そこで、それが本質的なものか、または、他に高くする原因があるかどうかを検討した。
実験 I：男子学生4名について、午前0時から9時まで睡眠をとらせ、睡眠前の3時間尿と

5 作業

(12) Isotonic training と isometric training における

カテコールアミン排泄量

須藤 純子・岡 龍雄

Frankenaeuser らによると、自転車エルゴメーターを使った身体的労作負荷実験では、750 kpm/min では尿中アドレナリン、ノルアドレナリン量とも著増するが、450, 150 kpm/min では全く変化ないという。一方、Neal らによると VMA 排泄量と酸素消費量との間によい相関関係があるといふ。また、これらの身体的負荷はいずれもいわゆる isotonic training に属するものであり、isometric training におけるカテコールアミン量についての報告はない。そこで筆者らは、①100m/min 歩行 (RMR=4~5 と思われる)、②150m/min 走行 (同 8~10)、③精神的負荷として労研式知能検査負荷、④isometric training として、仰臥上体おこし、腕立伏臥、両腕肘曲げなど 7 種目ができるだけ長時間持続すること、の 4 種の負荷を健常男子 10 名に約 1 時間行わせた。そして、負荷前、後の尿のアドレナリン、ノルアドレナリン量を測定した。なお、負荷実施は、連続 2 日間の第 1 日目午前①、同午後②、第 2 日目午前③、同午後④であった。アドレナリン排泄量は、負荷②、③、④で有意に増加し、その増加率はそれぞれ 86, 132, 68% であった。ノルアドレナリン排泄量は負荷②で有意に増加し④でも増加の傾向にあつた。増加率はそれぞれ 116, 21% であった。即ち、軽度の isotonic training ではアドレナリン、ノルアドレナリンとも不变、重度の isotonic training では両アミンとも増加、精神的負荷時はアドレナリンのみ増加、重度の isometric training ではアドレナリン増加ノルアドレナリンいく分増加、といふ結果が得られた。いろいろな事情で負荷実施の時期を random にできなかつたので、結果の解釈には十分注意しなければならないが、この結果は Frankenaeuser らの報告とよく一致していると思われる。また、isometric training の結果が、前述の分娩時におけるカテコールアミンの変化とよく似ている点が注目される。

(13) 自由作業と規制作業について

須藤 純子

作業速度などの作業条件が他から規制される作業（規制作業とよぶ）は、産業の近代化に伴い増加すると考えられるが、この規制作業と、比較的作業者の自由な意志の入り得る作業（自由作業とよぶ）との間に差があるか否かをカテコールアミン尿中排泄量を中心に検討した。作業は、興・柿崎の開発した連続加減算負荷装置による 2 ケタの加算作業で、作業速度を一

定にした場合（規制作業とする）と、被検者各人が普通行うような適当な速度で行なうよう指示して行わせた場合（自由作業とする）とを同一日の午前と午後に行ない比較検討した。健常男子被検者 15 名（19~27 才）のうち 7 名については午前自由作業午後規制作業、8 名については午前規制作業午後自由作業を行わせた。作業量の影響を除くため、実験をはじめる前に自由作業を 5 分間行わせ、その 90% の速度で規制作業を負荷した。実験は、椅子位安静 1 時間の後安静時尿をとり、20 分間ずつ 2 回 5 分間の休憩をはさんで作業を行わせ、作業終了 30 分後に作業時尿をとつた。尿中アドレナリン、ノルアドレナリンを測定し、また、作業量、正答数を記録し、自由作業規制作業のうちどちらがやりやすかつたかを被検者にきいた。

平均作業速度は自由作業において約 5% 大であつたが、これは上記のように実験計画上当然のことであつた。誤答率は自由作業で平均 7.6%，規制作業で 11.0% であり、危険率 5% で規制作業の方が高かつた。また、被検者 15 名中 9 名が自由作業の方がやりやすいと答えたが、これは有意ではなかつた。一方、尿中アドレナリン排泄量は自由作業作業前値 6.1 ± 1.6 、作業中値 9.1 ± 1.8 、規制作業作業前値 5.7 ± 1.1 、作業中値 $10.1 \pm 1.8 \text{ ng/mg creatinine}$ であり、いずれも作業中値の方が作業前値より有意に高かつた。作業によるアドレナリン増加量は規制作業の方が高い傾向にあつたが、統計的には有意ではなかつた。ノルアドレナリン排泄量はほとんど変化がなかつた。

以上をまとめると、本実験の場合自由作業と規制作業の差は誤答率に最もよくあらわれており、主観的なやりやすさやアドレナリン増加量では両作業の差がはつきりしない。一方やりやすさとアドレナリン増加との間の相関関係は $P=0.1$ であり、アドレナリンの増加は作業の形態そのものよりもむしろ主観的な感じに関連しているように思われる。

なお、本実験の自由作業でアドレナリン量が増加したことは、一昨年度の用紙法によるクレペリン加算テストでの結果と異なるが、その理由として、1 ケタ加算作業と 2 ケタ加算作業のちがい、用紙法と機械を用いた場合のちがい、なれの影響などが考えられるが、いずれであるかは明らかでない。

(14) 聴覚的 vigilance シグナルと 2, 3 の生理的反応について

加藤 寿一・野崎 宜右

vigilance task に関して今回はとくに聴覚的 vigilance をとりあげ、そのシグナルと生理的反応との関係、更にシグナル認知に対する生理的評価について検討をくわえた。

被験者として 8 名の健康青年男子（平均年令 22 才）を用い、1 時間の椅子位安静後、聴覚的 vigilance シグナルを認めるのみの作業（作業 1）を 30 分間負荷し、10 分間の椅子位安静後、シグナルを認め押しボタンにより応答をおこなう作業（作業 2）を 2 時間にわたり負荷し、その間における心拍数・GSR・手掌皮膚抵抗値・被験者の応答、ならびに疲労自覚症状（産業疲

労委員会 1954) と他の自覚感に関する内省を求めた。作業 1 と作業 2 との関係についてみると、シグナルを認知するのみで GSR は誘発されるが、すべてのシグナル呈示によつて GSR が誘発されるとはかぎらない。しかし押しボタンによる応答をおこなう過程が追加されることにより GSR の出現頻度は増加する。作業 1 の誘発性 GSR と作業 2 における detection performance 以下 DP) 間の関係は少ない。GSR 頻度(自発性 GSR と誘発性 GSR の和)・自発性 GSR 頻度は作業 2 の方が作業 1 より多く、皮膚抵抗値は作業 2 の方が低いが、心拍数は両作業間に差を認めず、また作業 2 開始より 30 分間の値も同様の成績を示した。自覚的には作業 2 の方が作業 1 より朦朧感が少ない傾向にあつた。作業 1 の GSR 頻度・自発性 GSR 頻度・皮膚抵抗値・心拍数のそれぞれのレベルと作業 2 の DP 間の関係は少ない。

作業 2 のシグナル呈示と生理的反応についてみると、GSR は応答によつて誘発されるが、必ず出現するとはかぎらず、また誤謬時に GSR を伴う場合がある。誘発性 GSR が少ないと DP が低下する傾向があるが、誘発性 GSR の分散・slope と DP 間の関係は少ない。また GSR 頻度・自発性 GSR 頻度・皮膚抵抗値・心拍数の 2 時間にわたるレベル・分散・slope と DP 間において、皮膚抵抗値レベルが高くなると DP が低くなるがその他の変化と DP 間の関係は少ない。

以上の成績より、作業 2 の DP は作業 1 における皮膚抵抗値・誘発性 GSR とにより推定することは困難であるが、作業 2 の皮膚抵抗値・誘発性 GSR とによつて生理的に評価することの可能性を暗示しているもののように推定された。

(15) 精神作業によるストレス反応と不快感情について

柿崎 敏雄

前年度に続いてます、作業遂行に基づく不快感情が精神作業によるストレス反応に影響するかどうかを調べた。

青年健康男子 20 名に計数表示装置を用いて 2 柄の加減算作業を maximum performance の 80 % の作業密度で 1 時間負荷した。作業の前後に生理的指標の測定を実施し、作業後に作業遂行に基づく不快さおよび体力の測定を行なつた。不快さは感受程度を 15cm の線分上に被検者にしらせ、グラフ尺度法により測定した。体力の測定は身体計測による Vervaeck's 指数とハーバードステップテスト(台高 40cm)による体力指数について行なつた。作業がストレスになつてることは生理的指標の変動パターン(脈拍数、拡張期血圧値、血液比重および血清たんぱく量の増加、血清水分量の減少)からわかつた。なお、作業による血清たんぱく濃度の増加は血清水分の減少に依存するものと推察された。不快さは前回の単純精神作業の場合よりも弱かつた。生理的指標間には有意の相関がみられたものもあつたが、Vervaeck's 指数、ステップテストによる体力指数、生理的指標および不快さの間にはいずれも相関性は認められなかつた。従つて作業遂行に基づく不快感情のストレス反応への影響は認知されなかつた。また被検者の体力はストレス反応および不快感情とは特に関連はないようである。

次に、環境に基づく不快感情が精神作業によるストレス反応におよぼす影響を調べた。

不快感情をひき起こす環境要因は種々あるが、ここでは処理しやすい音刺激を選んだ。10名の被検者に 4000Hz の純音 3 レベル(70, 80, 90dB) および対照(40dB のファン音)の 4 条件下で 2 柄の加減算作業を maximum performance で 15 分間ずつ負荷し、各区切りごとに音に基づく不快さおよび生理的指標の測定を行なつた。4 条件の負荷順序は個人ごとにランダムに組まれた。作業を負荷しない対照実験では生理的 10 指標は 4 条件によつて何らの変動も示さなかつた。作業を負荷した実験では、80dB で血清アルブミン、90dB で血清たんぱくおよびグロブリンがそれぞれ対照(40dB)に比して有意($P < 0.05$)に減少した。一方 4 条件下での不快さは対照実験のそれらと差がなく、task performance も 4 条件によつて変わらなかつた。この結果、純音曝露はいずれもかなりの不快感情を誘発したが、それのみでは生理的指標には全然影響をおよぼさないことがわかつた。また精神作業負荷時でも、task performance を低下させるまでには至らず、90dB で血清たんぱく量をわずかに減少させたにすぎない。この減少は精神作業によるストレス反応(増加)とは逆行するもので、ストレス反応を一見軽減するようにもみえるが、本当の意味は不明である。いずれにしても環境に基づく不快感情の精神作業によるストレス反応への影響はほとんどなく、あつたとしても非常に弱いものと考えられる。

示す量が高活性度を示す条件下で量出器の量を測定するときに接觸部に示す量が示す量より常に高い場合は、被検者の精神作業による不快感が強いためである。示す量が示す量より常に低い場合は、被検者の精神作業による不快感が弱いためである。

細胞に対する影響は、 2×10^{-6} M の濃度で最高濃度を示すが、それ以下の濃度では示す量が示す量より常に高い場合は、被検者の精神作業による不快感が強いためである。示す量が示す量より常に低い場合は、被検者の精神作業による不快感が弱いためである。

示す量が示す量より常に高い場合は、被検者の精神作業による不快感が強いためである。示す量が示す量より常に低い場合は、被検者の精神作業による不快感が弱いためである。

6 アスベスト等粉じん

(16) 加熱アスベストの溶解と細胞毒性

興 貴美子・坂 部 弘 之・小 川 薫

昭和 43 年度において、加熱サーペンチンの細胞毒性と鉱物学的性質について検討し、650°C 附近で加熱したサーペンチンでは細胞毒性の強い事を認め、この温度附近でクリソタイルは、forsterite への移行期にあるためであると考えた。本年度においては、これらクリソタイルの化学的性質と細胞毒性の関連について検討を加えた。

原土即ち、UICC クリソタイルと、この 200, 300, 500, 650, 700, 800, 900, 1000°C 加熱クリソタイルの夫々の 10mg を再溜水 10ml に県濁し、毎日 25°C 4 時間振盪し、後遠沈してその上清をとり、この上清について pH の測定、溶出 Si 量、Mg 量及び Fe 量を前者は比色法により後二者は原子吸光法によつて測定した。細胞毒性はラット腹腔内マクロファージ及び赤血球に対する影響を検討した。

溶出液の pH は、原土及び 500°C 加熱は第 1 日目には夫々 pH 8.7 及び 9.9 を示すが第 3 日頃から 7.0 附近となる。650°C 及び 750°C においては第 1 日目に 10.3 及び 10.2 を示しその後漸減するが 15 日後においても尚 8.9 及び 8.6 を示す。1000°C では初めから 7.6 を示し、15 日間略一定した値を示した。

Si 及び Mg の溶出量は、650°C 及び 750°C では原土の 3~5 倍の溶出量を示し、これが 15 日間にわたつて継続する。500°C においては、pH と同様第 3 日目頃まで比較的高い値を示すが、後原土と略等しい溶出量となる。原土では Mg, Si 溶出量共に 15 日間略一定した値を示す。1000°C では、両者の溶出量は極めて少い。

Fe の溶出量は原子吸光法によつて検知できなかつた。

各加熱クリソタイルの上清における pH の変動と Mg 量の変動はよく似ているが、pH の変動をひきおこす物質については明らかでない。

マクロファージに対する影響を C¹⁴-ロイシンの取込み、乳酸生成量からみると、原土 650°C, 750°C の県濁液及びその上清の添加によつて阻害がみとめられる。しかし、これら県濁液及び上清の pH を 7.8 に補正する事により、県濁液では阻害は軽減され、上清では阻害作用が消失する。又、15 日間溶出した後の各クリソタイルにおいても、溶出前と略等しい阻害効果が認められた。

赤血球に対する影響は、マクロファージの場合とは異り、650°C, 750°C の添加でおこる強い溶血作用は、pH の補正により軽減されず、又、上清のみの添加では溶血はおこらない。クリソタイルは、加熱によりクリソタイルから forsterite へと構造変換を行うが、この移

行期である 550~650~750°C において、Si 及び Mg 溶出量が増加し、これに伴つて pH がアルカリ性に傾く。マクロファージに対しては 650°C, 750°C を添加した反応系での pH の変動によりみかけ上の阻害効果が現われるが、赤血球での 650°C, 750°C 添加による溶血現象はこれらの pH とは関係なく、650°C, 750°C 加熱クリソタイルの表面の性質によるものと考えられる。

(17) 諸種のじん肺症起因粉じんの細胞毒性

興 貴美子・坂 部 弘 之・小 川 薫

じん肺症病因の研究の一環として、石英、アスベスト及び他のじん肺症起因粉じんについてマクロファージ及び線維芽細胞に対する影響を検討した。

供試粉じんは、アスベストとして UICC のクリソタイル、アモサイト、クロシドライトを用いた。又、石英はアルカリ処理石英 0.5~2μ, ロウ石、タルクは手磨碎の 2~5μ, 絹雲母(1 時間磨碎) 0.5~2μ, アルミニウム(24 時間磨碎) 0.5~2μ, 酸化チタン 2μ 以下を用いた。入後 24~48 時間で死亡した。

マクロファージは、ラット腹腔内マクロファージを、線維芽細胞としては、マウス胚由来の 3T6 細胞を用いた。マクロファージに対する影響は、細胞内乳酸脱水素酵素(LDH) の流出、TTC 還元能、C¹⁴-ロイシンの取込みによつて測定し、線維芽細胞に対する影響は H³-チミジンの DNA への取込みによつて検討した。

マクロファージに対するアスベストの影響については、昨年度に報告したように培養液中に血清が存在しない時には毒性を示すが、血清の存在によつて毒性を失う。石英、アスベストを除く上記粉じんでは、マクロファージに対して強い毒性を示すものはなかつた。

線維芽細胞に対する影響は、2×10⁵ 細胞から培養を開始した場合、クリソタイルで 50μg、アモサイトで 500μg、クロシドライトで 100μg 以上の添加では、H³-チミジンの取込み阻害を示すが、それ以下の量の添加では、H³-チミジンの取込みの増加が認められる。この現象のおこる原因是明らかでないが、増殖の促進によるものと考える。Al 及び絹雲母では、500μg 以上の添加では取込み阻害がみられるが、それ以下の添加では阻害がみられない。ロウ石、タルクでは取込みに影響を与えたが、石英では 1mg から 50μg までの添加によつて影響を受けない。TiO₂ では 1mg の添加で軽い取込みの低下が認められるがそれ以下の量では対照と等しい取込みを示した。

以上の結果からマクロファージに対して強い毒性を示す石英は線維芽細胞の増殖に対して影響を与えない事、アスベストにおいては線維芽細胞では血清が存在するにもかかわらず、大量では H³-チミジンの取込み阻害及び形態学的に細胞の障害像が認められ、少量では取込みの増

加が認められる。他のじん肺症起因粉じんであるろう石、タルク、¹⁰⁰A1 等ではマクロファージ及び線維芽細胞共に強い影響を与えたなかった。石英及び石綿以外の上記粉じんによるじん肺症が粉じんの比較的大量短期間吸入によつて惹起されやすく、且肺胞に主病変をもつところから、これら粉じんによるじん肺症の発生は、マクロファージの崩壊が「ひきがね」となるのではなく、肺胞内マクロファージによつて処理しきれなくなつた粉じんが、肺胞上皮細胞若しくは、線維芽細胞に直接影響を与えるのではないかと考えて、線維芽細胞に対する影響を検討した。しかし、この実験条件では、これら粉じんは線維芽細胞に頗著な影響を与えたかった。アスベストにおいて、少量の添加がむしろ線維芽細胞への H₃-チミジンの取込みを増加した事は石綿肺症ではマクロファージの崩壊がなくても、直接線維芽細胞に作用して増殖を促進する可能性がある。珪肺症が肺間質及び淋巴腺に特異的に粉じんの停滯及び線維形成の強い事と上記のような石英の細胞に対する影響とは何らかの関連があるかもしれない。

リフタイルの表面の Si 及び Mg の含有量は、(Si/Mg) = 1.6 である。¹⁰⁰A1 は Si と Mg の含有量が等しい。¹⁰⁰A1 の表面の Si 及び Mg の含有量は、(Si/Mg) = 2.0 (肺間質肺) & 2.0 (肺間質肺)
溶出液中の Si 及び Mg の含有量は、(Si/Mg) = 2.0 (肺間質肺) & 2.0 (肺間質肺)
溶出液中の Si 及び Mg の含有量は、(Si/Mg) = 2.0 (肺間質肺) & 2.0 (肺間質肺)
溶出液中の Si 及び Mg の含有量は、(Si/Mg) = 2.0 (肺間質肺) & 2.0 (肺間質肺)
溶出液中の Si 及び Mg の含有量は、(Si/Mg) = 2.0 (肺間質肺) & 2.0 (肺間質肺)
溶出液中の Si 及び Mg の含有量は、(Si/Mg) = 2.0 (肺間質肺) & 2.0 (肺間質肺)
溶出液中の Si 及び Mg の含有量は、(Si/Mg) = 2.0 (肺間質肺) & 2.0 (肺間質肺)
溶出液中の Si 及び Mg の含有量は、(Si/Mg) = 2.0 (肺間質肺) & 2.0 (肺間質肺)
溶出液中の Si 及び Mg の含有量は、(Si/Mg) = 2.0 (肺間質肺) & 2.0 (肺間質肺)

Si 及び Mg の燃焼量は、(Si + Mg) 在び 750°C では Si 燃燒下で有機化合物を含む DNA の約 20% が失われる。¹⁰⁰A1 の燃燒量は、(Si + Mg) 在び 750°C では Si 燃燒下で有機化合物を含む DNA の約 30% が失われる。この結果、肺間質肺の Si 及び Mg の燃燒量は、(Si + Mg) 在び 750°C では Si 燃燒下で有機化合物を含む DNA の約 25% が失われる。

Si 及び Mg の燃燒量は、(Si + Mg) 在び 750°C では Si 燃燒下で有機化合物を含む DNA の約 30% が失われる。¹⁰⁰A1 の燃燒量は、(Si + Mg) 在び 750°C では Si 燃燒下で有機化合物を含む DNA の約 25% が失われる。

Si 及び Mg の燃燒量は、(Si + Mg) 在び 750°C では Si 燃燒下で有機化合物を含む DNA の約 30% が失われる。¹⁰⁰A1 の燃燒量は、(Si + Mg) 在び 750°C では Si 燃燒下で有機化合物を含む DNA の約 25% が失われる。

Si 及び Mg の燃燒量は、(Si + Mg) 在び 750°C では Si 燃燒下で有機化合物を含む DNA の約 30% が失われる。¹⁰⁰A1 の燃燒量は、(Si + Mg) 在び 750°C では Si 燃燒下で有機化合物を含む DNA の約 25% が失われる。

Si 及び Mg の燃燒量は、(Si + Mg) 在び 750°C では Si 燃燒下で有機化合物を含む DNA の約 30% が失われる。¹⁰⁰A1 の燃燒量は、(Si + Mg) 在び 750°C では Si 燃燒下で有機化合物を含む DNA の約 25% が失われる。

Si 及び Mg の燃燒量は、(Si + Mg) 在び 750°C では Si 燃燒下で有機化合物を含む DNA の約 30% が失われる。¹⁰⁰A1 の燃燒量は、(Si + Mg) 在び 750°C では Si 燃燒下で有機化合物を含む DNA の約 25% が失われる。

過去に接觸歴の歴史と肺結核の既往歴を有する者と、既往歴ないし歴史のない者との間に、既往歴の有無による肺結核の発生率に差がある。既往歴の有無による肺結核の発生率に差がある。

7 カドミウム

(18) カドミウムフュームの吸入毒性

吉川 明 埠・東 伸吾・栗 盛 静枝
京都府立大学・大垣市立病院・須坂田戸全 忠雄
カドミウム (Cd) の障害としては慢性 Cd 中毒が大きな問題ではあるが、産業中毒としては吸入による急性 Cd 中毒が重要な問題である。今回、カドミウムフュームの吸入毒性について検討した。Cd フュームは高周波加熱式フューム発生装置から発生させ、これを吸入箱に連結し、同時に 5 匹の SD 成熟雄ラット (体重 250~300g) に吸入させた。フュームの粒径は 0.2μ(CMD), 吸入時間は 30 分間とした。吸入暴露後動物は正常飼育にもどし 7 日間観察した。

暴露濃度と致死量： Cd フュームの気中濃度を 12~40mg/m³ の範囲で 30 分間吸入すると、LC₅₀ 値は約 25mg/m³ であった。死亡例は全例とも著しい呼吸困難をおこし、殆んどが吸入後 24~48 時間で死亡した。12mg Cd/m³ 暴露群では体重の減少を認めなかつたが、19mg/m³ 以上では体重減少し、3~5 日後から再び体重は増加はじめた。

肺内沈着率： 20mg Cd/m³ の 30 分間吸入直後のラットの肺内 Cd 沈着率は約 30% であった。

Cd 吸入と肺重量・水分量： 20mg/m³ の Cd フュームを 30 分間吸入させた直後・24 時間・7 日後の肺重量比 (肺/体重 × 1000)、乾燥重量比 (乾燥重量/生重量 × 100) を検討した。吸入後 24 時間目の解剖所見では、肺は著しく腫脹し出血斑が散在し、気管の切口から白色泡沫が流出した。7 日後もいまだ腫脹し、赤褐色の斑点が散在していた。重量比と乾燥比では、吸入直後は正常時と同じであるが、24 時間後には肺重量比は著しく上昇し、乾燥重量比は著しく低下した。7 日後には重量比は更に上昇したが、乾燥重量比は、ほぼ正常時と同じ値にもどつた。即ち、Cd フュームは肺に対してはげしい局所刺激作用をもつことが示めされた。

吸入後の Cd の体内分布： 20mg/m³ の Cd フュームを 30 分間吸入させた直後と 1, 7 日後の Cd の体内分布をみると、肺に吸収された Cd は指数函数的に肺から減少し、24 時間で約 1/2、7 日後に約 1/4 量になつた。肝・腎・脾・心・精巣での Cd 含有量は、24 時間後に増加しているが、1 と 7 日後の Cd の正常時の含量に対する増加は、肝は 7 と 6 倍、腎は 4.7 と 8.3 倍、脾で 3.5 と 2.8 倍であつたが、心と精巣では Cd の増加は殆んどみとめられなかつた。

以上の結果から、Cd は肺に対して著しく強い障害をあたえ、Cd フュームの発生する職場においては、慢性 Cd 中毒に対する予防対策は勿論必要であるが、短時間の高濃度暴露に対する厳重な対策と監視が必要であることがわかつた。

加が認められる。他のじん肺症起因物であるろう石、タルク、Al 等ではマクロファージ
(19) 亜急性カドミウム中毒における臨床化学的研究

吉川 博・栗盛 静枝
金田 正己* (北里大・衛生)

カドミウム (Cd) の慢性中毒の主症状は腎障害と低分子蛋白尿といわれ、今日多くの研究がこの分野で行われつつある。しかしながら、Cd による生体内の物質代謝なり、諸酵素に対する影響についての研究は余りないので今回は脂質代謝、無機質代謝及び血清中の諸酵素の Cd による経時的变化を追求した。

実験には成熟雄性日本白色種ウサギ 15 羽を用い、これを 3 群にわけ、I と II 群には 0.5 と 1.0mg Cd/kg を、III 群には同量の蒸留水を投与した。投与方法は 1 週間に 5 日間（月一金曜日）皮下注射し、11 週間注射した。これらのウサギについて毎日の体重を測定し、採血は毎月曜日の朝、Cd を注射する前に心臓穿刺により行なった。測定は血清中の GOT, GPT, LDH, Alkaline-Phosphatase(A1-P) Acid-Phosphatase(Ac-P), コレステロール、遊離脂肪酸、Ca, P について行なつた。なお、実験終了時の 11 週間後に全部のウサギについて心、肺、肝、脾、腎、副腎、精巣、頸下腺及び血液中の Cd, Cu, Zn の含有量を原子吸光法で定量した。

体重の変動では、I, II 群両方ともに 8 週間までは実験前値をやや下回つて体重増加は抑制されているが、その後 I 群は漸次体重は増加し、II 群では体重の減少を示した。

血清中諸生化学的物質の測定では、その経時的推移から 3 つに分けられた。即ち、第 1 は、Cd 投与初期からその値が増加するもので、総 Ac-P, 前立腺性 Ac-P, コレステロール、遊離脂肪酸などであり、この中で前立腺性 Ac-P を除いては I, II 群ともに同じように増加し、前立腺性 Ac-P の増加は II 群の方が著明であつた。

第 2 の群は II 群の体重減少を示した 8 週間目以降に値が上昇したもので、GOT, GPT, A1-P, LDH などがこれに属する。I 群においては殆んどその値に変化を示めなかつた。第 3 の群は、全観察期間中変動を認めなかつたもので、血清中 Ca と P がこれに属する。

これらの結果から、Cd 暴露の影響を比較的初期に知るには、血清中の Ac-P, コレステロール、遊離脂肪酸の測定が有用であることを示唆していると同時に、Cd は生体内脂質代謝に影響を与えるものであろうと推定される。なお、実験終了時の各臓器の Cd 含有量をみると、心、肺、脾、副腎、精巣では II 群の方が I 群より Cd 含有量が多いが、肝、腎、頸下腺においては I, II の両群ともに同濃度に含まれており、この点は興味あるものと考えられる。又、各臓器の Cu と Zn 含有量についてみると、Zn は Cd 投与により増加の傾向、Cu は逆に減少の傾向を示した。

積 Cd 量と病変の程度の間には量・反応関係が成立するが、又病変を発生させるのに必要な蓄積量は、臓器によって著しく変化し、今後多角的な検討を要する。

(20) カドミウムの長期経口投与実験 (1) 早期口歯膜炎の発生

吉川 博・河合 清之・福田 一男・大沢 基保

(22) イタイ
京野 洋子・清水 聰子・栗盛 静枝・戸谷 忠雄
山田 明甫* (第一製薬) 若新 多汪* (東医大病理)

カドミウム (Cd) を長期間経口投与したラットの Cd 中毒の病態像を解明するために実験を行なつた (前年度の年報 (28 頁) に本実験の途中経過を述べてあるが、実験終了時において結果はかなり修正された)。

実験方法は前年度の年報に述べた条件で 8.5 ヶ月間飼育した後、I-V 群の全ラットを屠殺し、血液所見、血清中の生化学的物質の測定、血中 Cd 定量、各臓器中 Cd 定量、および病理組織学的検査を行なつた。

体重增加は、100 と 200ppm 投与群で 3~4 ヶ月頃から抑制されるが、10 と 50ppm 投与群では対照群とほぼ同じ体重増加の傾向を示した。

飲水量は Cd 濃度の高い水を飲ませた群ほど減少し、この傾向は観察期間中変らず 200ppm 投与群での 1 日の飲水量は対照群のそれの約 1/3 量であった。餌摂取量については全群ともに同量で、1 日の餌摂取量は 20~25g であった。

尿排出量は、飲水量の場合と同じ傾向で、Cd 濃度の高い飲料水を投与した群ほど尿排出量は少なかつた。200ppm 投与ラットの尿排出量は対照群のそれの約 1/3 量であった。

尿中 Cd 排出量は、1 日当たりの排出量からみると、高濃度の Cd を投与している群ほど Cd の排出量は多いが、この増加の程度はきわめて小さく、対照群での Cd 排出量は 1~2µg/1 日であつたが、200ppm 投与群でも 3~4µg/1 日 にすぎなかつた。又、Cd の尿中排出量は投与期中に漸増の傾向は全く認められず、Cd が蓄積されていても、Cd の尿中排泄は増加しない。むしろ、散発的に多量の Cd を排出していた。

8.5 ヶ月間 Cd を経口投与した後の各臓器の Cd 含有量をみると、当然のことではあるが各投与群ともに肝腎に著しく蓄積されているが、心・脾・副腎にもかなりの濃度で Cd が蓄積されていた。対照群における正常時の Cd 含有量では大腿骨 (0.89µg/g) が最も高濃度に含有し、ついで副腎 (0.35)、腎 (0.14)、脾 (0.10)、肝 (0.06)、肺 (0.05)、脳 (0.04)、精巣 (0.03) の順であつた。この正常時の Cd 含有量に対する各 Cd 投与群の含有量の増加率でみると、肝・腎で最も高率に Cd が蓄積されるが、ついで心・脾・肺・精巣にもかなりの蓄積性がある。しかし、骨には正常時に最も高濃度に Cd を含んでいるが、Cd 投与による蓄積は他の臓器に比して著しく少ない。

よる蓄積量は、Cd の投与量によって異なるが、Cd の投与量によって蓄積量は著しく増加する。即ち、Cd の投与量が増加するにつれて蓄積量も増加する。

(21) カドミウムの長期経口投与実験 (2)

病的変化について

河合忠清之・吉川博・福田一男・大沢羊基保
清水聰子・栗盛静江・京野洋子・宮田信明山

山田明甫(第一製薬)・若新多汪(東京医大病理)

前報に引き続き 36 週の実験終了時点における血液所見、血清蛋白、尿蛋白、病理組織学的所見などについて述べる。血液では軽度の貧血傾向が 100ppm 群から現れはじめ、大腿骨および脊椎骨骨髓の脂肪化を伴う。血清 Ca は 10ppm 群から上昇を示すが、血清 P、コレステロール、LDH、GOT、GPT などは著しい変動を示さない。血清総蛋白は 100ppm 以上で低下傾向を示す。血清アルブミン・A/G 比には著しい変動はみられなかつた。血清グロブリン下傾向を示すが、IgG の変化は著しくないので、IgG 以外の分画の減少によるものと考えられる。

尿蛋白所見では、時に多量の蛋白排出を示す個体があつたが、それらはすべて特発性腎炎を発症した個体で、これを除外すると、尿中えのアルブミン排泄は増加傾向を示す。しかし α_2U 蛋白排泄は著変がない。

腎病変の主像は従来の記載のとおり近位尿細管上皮の萎縮ないし変性で、50ppm 群から陽性個体が現われる。糸球体病変は軽度である。骨では大腿骨骨皮質の菲薄化と骨梁萎縮がレ線的にも組織学的にも明らかで、骨 Ca 量、Zn 量の低下がみられ、それらの各変化の凝陽性個体は 10ppm 群から出現しはじめる。消化管では胃以下全般にわたつて慢性炎性変化がみられ、50ppm 群から陽性となり、200ppm では粘膜の萎縮を伴う。肺・唾液腺(頸下腺耳下腺)など外分泌腺実質細胞萎縮、摂護腺の間質浮腫と上皮萎縮などがとくに注意を要する所見とされる。その他肝では光頭レベルでの実質障害は確認されず、星細胞増殖と小肉芽腫の散発的形成、脾の赤色髓減少と濾胞周辺での細網細胞増殖、副腎の重量増加傾向などは Cd 投与量の上昇と平行して明瞭化する傾向がみられる病変である。精巣実質は 200ppm 群でも変化を確定出来ない。

Cd 中毒に関する実験的研究は既に数多いが、腎・精巣・肺以外の諸臓器の病変にも目を向け、同時に他の生化学的所見および Cd の動態との関連において、慢性 Cd 中毒の全体像を把握しようとする試みはすくなかった。本実験は経口投与による予備実験であるが、すでに腎以外にも多くの臓器に病変を認め、36 週時点で陽性個体を出現させるに必要な投与量水準の高低をかりに指標として考えると、慢性経口投与においては、骨・腎・消化管等は重要な罹患臓器であり、さらに造血臓器および血液・肺・唾液腺・摂護腺およびその他の性器附属器官も注意されるべき臓器と考えられる。一定の実験条件下での一定臓器の病変に限つていえば、蓄積 Cd 量と病変の程度の間には量・反応関係が成立するが、又病変を発生させるのに必要な蓄積量は、臓器により、又投与条件によって著しく変化し、今後多角的な検討を要する。

積 Cd 量と病変の程度の間には量・反応関係が成立するが、又病変を発生させるのに必要な蓄積量は、臓器により、又投与条件によって著しく変化し、今後多角的な検討を要する。

(22) イタイイタイ病患者尿リゾチーム

木村正己・小滝規子

腎障害において糸球体系疾患と尿細管疾患では尿蛋白組成に差異がある。前者ではアルブミンなど数万以上の分子量をもつ蛋白が多く、後者では Retinol-binding protein や β_2 -micro-globulin など数万以下の分子量をもつ蛋白が多く見出されている。Piscator はカドミウム中毒ウサギ尿に、Prockop-Davidson は水銀中毒ラット尿にリゾチーム活性値の増加がみられたと報告している。リゾチームは分子量約 14,000 の低分子量蛋白質で、溶菌酵素として広く生物界に分布し、感染防禦因子のひとつと考えられている。そこで、カドミウム中毒、イタイイタイ病などの患者の尿リゾチームレベルを検べた。標準試料はヒト母乳リゾチームを用い、酵素活性は ML-cells による比濁法で定量した。イタイイタイ病患者の尿中にかなりのリゾチームが含まれていることが判つた。一方、イタイイタイ病患者の血清リゾチームも正常値(2~3 $\mu\text{g}/\text{ml}$)に比して高値(15~25 $\mu\text{g}/\text{ml}$)を示した。イタイイタイ病患者の腎機能障害により低分子蛋白リゾチームの尿細管による再吸収が抑制されるのであろう。

24 時間尿(約 1l)に 50% 硫安(w/v)を加え溶解後、冷所に一夜放置。遠沈後の沈澱物を水にとかして、Sephadex G100 によるゲルロ過を行なつた。溶菌活性を測定し酵素画分を集め、UM-2 による限外濾過で脱塩、ついで、DEAE-Cellulose や Bio gel CM-2 によるイオン交換クロマトを行なつた。Bio gel P-2 による脱塩で凍結乾燥品を得た。収量は主区分(Sephadex G100-F 分画)について約 10% であつた。

イタイイタイ病患者尿リゾチームの純度とヒト母乳リゾチームを比較すると、ディスク電気泳動(pH4.2)的に均一であり、同一の易動度を示した。紫外部吸収曲線もよく類似していた。アミノ酸分析値も主区分についてはヒト母乳リゾチームのアミノ酸組成とよく一致した。また抗ヒト母乳リゾチーム血清(ウサギ)と沈降反応し、免疫化学的にもヒト母乳リゾチームと同じものであることが証明された。抗ヒト母乳リゾチーム血清を利用してイタイイタイ病患者尿リゾチームの免疫化学的定量を行うことが可能であろうと考えられる。

(23) カドミウム中毒症の免疫学的診断

木村正己・野見山一生(群大衛生)

最近日本各地で問題となつてゐるカドミウム中毒の主要症状は腎障害と低分子蛋白尿といわれている。腎障害の機構については明らかにされてきているが、低分子蛋白についてはいまだ

不明の点が多いまま、ディスク電気泳動やゲルロ過などによつて同定されてきつてゐる。しかし、技術的にもまだ問題が残されているうえに多数試料の処理もできぬまま、カドミウム中毒の鑑別診断は行きづまつてゐるというのが現状である。しかし最近にいたつて、低分子蛋白の主要構成が行なわれ、 β_2 -microglobulin (β_2 -MG) と Retinol-binding protein (RBP) が Retinol-binding protein (RBP) が主要構成であることが判明した。さらに、イタイイタイ病患者尿中に多量の Lysozyme の排泄成分であることが判明した。そこで、これら低分子蛋白の抗血清を作製しカドミウム中毒の鑑別診断に用いれば、技術的に正確かつ簡易化されることになる。低分子蛋白を精製しこれを用いてウサギに抗血清を作らせた。さらに、この抗血清を用いて鑑別診断に関する予備的実験を行なつた。

イタイイタイ病患者数名の尿について、尿中低分子蛋白の構成比をディスク電気泳動、ゲルロ過によつて研究し、 β_2 -MG, RBP, Lysozyme を多量に排出する尿試料を見出した。さらにこの患者尿試料を大量に採取し、塩析法、ゲルロ過法、イオン交換法などにより β_2 -MG, RBP, Lysozyme を分離精製した。そこで、これらの低分子蛋白をウサギ足蹠に皮内投与して抗体を作らせた。Lysozyme はヒト母乳より分離精製したもの用いて抗体を作らせた。

Agarose 1.5g に 0.1M Veronal Buffer (pH8.6) 50ml, 生理的食塩水 50ml を加え、加温して溶解する。さらに NaN_3 を 0.1g と Twine 80 を数滴加える。このようにして作つた 1.5% Agarose を 13ml 試験管にとり、60°C に加温しながら、0.1~0.4ml の抗血清を加え、泡が立ないように攪拌する。正確に水平な机上にのせた paltigen 板に 60°C に加温したピペットで 1.5% Agarose を移し、徐々に冷やす。3.0mm の穴をあけ、ここに定量すべき尿試料を 20 μl 入れたのち、paltigln 板を 36°C で保存し、24 時間後、48 時間後に穴周囲の白輪（抗原抗体反応がおこつてゐる）の直径を測定する。直径の 2 倍が低分子蛋白量に比例する。

腎炎、ネフローゼ患者尿中には 1000mg/l の多量の Albumin、カドミウム中毒者、作業者、ウイルソン病患者、イタイイタイ病患者尿中には 30~150mg/l の β_2 -MG と 4~20mg/l の Lysozyme とが検出され、一般腎疾患と尿細管疾患とを簡単に鑑別できることがわかつた。加えて、抗 RBP 血清による免疫学的定量も研究中である。

(24) カドミウムの次世代への影響

カドミウムに関する実験的検討は、主として成年動物でのものが多い。特に他の生化学的所見と並んで、腎臓との関連において、慢性 Cd 中毒の全体像を把握しようとする試みは、福田一男・戸谷忠雄（1974）によつて、多くの臟器に病変を認め、陽性所見を出現させるに必要な投与量水準の高さについていたばかりで、多くの未知の問題を含んでゐる。特に生体内蓄積作用と同時に胎盤通じては、生体障害は一世代のみに止まらず、次世代に影響を及ぼす可能性を有する物質に関しては、生体障害は一世代のみに止まらず、次世代に影響を及ぼす可能

性があり、例えは有機水銀による胎児性水俣病はその強力な証左である。

本実験はラットを低濃度の Cd に暴露した時の繁殖上の影響を知るために行なつたもので、長期慢性 Cd 暴露三世代実験の前の予備的観察実験である。

SD-SLC 系ラット雄雌各 25 頭を一群各 5 頭に分け、6 週令より脱イオン高圧滅菌水に Cd を添加し、0, 1, 5, 25ppm として与え、水、飼料 (CE-2 高圧滅菌) とも自由摂取させた。13 週令で雄雌 1 : 1 で交配させ、陰栓の確認をもつて受胎したものとした。

Cd 投与後 6 週頃から雄の 5, および 25ppm 群の体重増加の鈍化がみられるが、雌では交配前の各群間に体重の差はみられない。飼料摂取量は雄雌とも、各群間の差はないが、飲水量は雄の 5, 25ppm 群、雌の 25ppm 群が対照群より少ない。

妊娠率は各群とも 100% であつたが、出産率は、0, 1, 5, 25ppm のそれぞれが、 $5/5$, $4/5$, $3/5$, $3/5$ で、それぞれ $0/5$, $1/5$, $2/5$, $2/5$ がいずれも妊娠後期に流産し、25ppm 群の親 1 頭は分娩中に死亡した。25ppm 群には死産および出生後間もなく死亡するものが多かつた。一腹当たり子数は各群間に著差を認めないが、雄雌の比は Cd 濃度と共に減少する。

子の 3 週令離乳時体重は 25ppm 群が雄雌共に他群に比して著しく少いが、離乳率（離乳数 / 4 日目生存児数）は各群間に差を認めない。又 5ppm 群の子の中に運動不調、後肢麻痺、歩行障害を主徴とするもの（雄 1, 雌 2, 9%）が出現した。全身の発育不全、萎縮が著しい、これと Cd との関係は更に検討を要する。

成年大鼠の 3 週令離乳時体重は 25ppm 群が雄雌共に他群に比して著しく少いが、離乳率（離乳数 / 4 日目生存児数）は各群間に差を認めない。又 5ppm 群の子の中に運動不調、後肢麻痺、歩行障害を主徴とするもの（雄 1, 雌 2, 9%）が出現した。全身の発育不全、萎縮が著しい、これと Cd との関係は更に検討を要する。

成年大鼠の 3 週令離乳時体重は 25ppm 群が雄雌共に他群に比して著しく少いが、離乳率（離乳数 / 4 日目生存児数）は各群間に差を認めない。又 5ppm 群の子の中に運動不調、後肢麻痺、歩行障害を主徴とするもの（雄 1, 雌 2, 9%）が出現した。全身の発育不全、萎縮が著しい、これと Cd との関係は更に検討を要する。

不明の点が多いまま、さきほどの本報では組織内鉛の存在を確実に知り得たが、それをもとめし、8月鉛の肺内挙動の観察結果の上、頭部の特徴的構造の観察で鉛粒子を多く見出された。

(25) 鉛フューム吸入実験(I)

Submicron 鉛粒子の肺内挙動

京野 洋子・河合 清之・本間 克典・清水 聰子
渡部 忠雄* (*日立那珂)
行なつた。

呼吸器に吸入された金属フュームの生体作用検討の一環として、submicron 鉛粒子のラットの気管支及び肺での局在を電顕的に観察した。組織内微小粒子の質的同定を、非分散型微小X線分析器と走査電顕の組合せにより試みて、鉛粒子の同定に成功した。

実験は2群より成り、(1)鉛フュームの粒径 $CMD = 0.3\mu$ 、平均濃度 $120mg/m^3$ 、90分暴露直後、3時間後、24時間後、(2) $CMD = 0.04\mu$ 、平均濃度 $10mg/m^3$ 、90分暴露直後、3時間後、330分連続暴露後に各々肺を切除した。通常の超薄切片を電顕観察すると共に、隣接の約 0.5μ 切片を未染色状態で、非分散形 XMA により分析した。

粒子の局在に関して両実験の間に本質的な差は認められなかつたので、結果を一括して述べる。組織内の鉛粒子は電子密度の高さ、粒径や形等を吸入前の粒子と比較してそれと認定したが、その一部の定型的粒子及び、局在や形などについて疑問を生じた粒子などについては、局所X線微小分析を行なつた。(1)鉛粒子は従来衆知のごとく、肺食細胞中に多く取り込まれ、食空胞或はリゾソーム内に頻繁に認められた。(2)A型肺胞上皮内でも、粒子は食空胞及びリゾソーム内にあり、粒子を含むリゾソームの様相は肺胞食細胞のそれと酷似している。A型上皮細胞表面に樹枝状突起形成が明らかで、突起間には粒子を抱き食機能が示唆される。(3)B型肺胞上皮内では、ラメラ封入体の端、小空胞内等に粒子が見られた。(4)肺胞腔内にも時に遊離して粒子が存在するが、多くは細胞破片や浸出成分と関連しており、凝聚状態となつてゐることも多い。(5)気管支上皮線毛の間に単離又は凝聚状態の粒子が附着している。細胞間隙には極めて微細な粒子が侵入している。(6)気管支上皮細胞内、特に末梢気管支のクララ細胞内に粒子を含むリゾソームと食空胞が頻繁に見出された。暴露時間を延長し330分吸入の際にこの現象は顕著で、ほとんど全ての上皮が粒子を含む。

以上のうち、(2) A型上皮、(3) B型上皮、(6) 気管支上皮等の細胞内への粒子状物質の取り込み、特に submicron 粒子のそれに関しては、従来全く不明であつたが、本実験では走査電顕で細胞内小器官の同定を行ない、その器官内の粒子を点分析し、鉛の特性X線を検出することで組織内小器官の同定を行なつて、粒子の取り込みの証拠を得た。

重金属フューム、特に submicron 粒子の肺内沈着やそれによる肺病変を理解する際に、以

上の所見、とくに超微細構造中の粒子同定は非常に重要な意味を持つと考えられる。 0 ± 18.1

非分散型X線微小分析器の利用により、走査電顕の性能向上と相まって、組織内粒子の質的同定が可能となりつつあることも注目されよう。

(27) Metallothioneinに関する研究

(26) 鉛フューム吸入実験(II)

Submicron 鉛粒子による呼吸器病変

カドミウム投与によりウサギの肝臓や腎臓に metallothionein が生成することが、前年度の研究によつて確認された。

重金属フュームによる呼吸器障害検討の一環として、submicron 鉛粒子を用い、粒子の組織内局在(I報)と、引き起された組織反応を電顕的に観察した。

ラット SD-JCL、9週令♂、体重 260~340g のものをフューム短期暴露用チャンバー内に固定し、2群の吸入実験を行なつた。(1) $CMD = 0.32\mu$ $\sigma g = 1.30$ 、平均濃度 $120mg/m^3$ 、90分暴露直後、3時間後、24時間後。(2) $CMD = 0.04\mu$ 、 $\sigma g = 1.40$ 、平均濃度 $10mg/m^3$ 、90分暴露直後、3時間後、330分連続暴露後屠殺。ネンブタール腹腔内注射深麻酔下に肺を切除し試料を得た。

吸入群では通常に比し、切除時の肺収縮がつよく、組織学的には、3時間後および330分連続吸入後、細気管支、末梢気管支に気管支カタルが見られた。光頭的には鉛粒子は当然認められず、電顕的な局在所見は I 報に述べた。

電顕観察：気管支部では、吸入後の時間経過と共に気管支上皮細胞、特にクララ細胞の変性が目立つてくる。クララ細胞は sER が膨潤し小胞化を起し、この小胞はさらに融合し大空胞となり、ついには細胞質が空胞と空胞の間にパックされた状態に迄達する。吸入後3時間では細気管支腔内に出血及び上皮細胞断片、肺胞食細胞を含む濃厚な浸出液が充満し、気管支カタルの像を呈する。気管支上皮細胞はその基底部側に浮腫を起し、数個以上の上皮細胞の剥離もしばしば見られる。粘膜下結合織の一部には軽度の浮腫、出血を認める。これらの変化は3時間後でもすでに軽度ながら認められるが、暴露時間の延長した330分連続暴露で最もつよい。

肺に於ては気管支と同様暴露後の時間経過に伴う肺胞壁の浮腫増強が見られる。暴露直後にはまず A 型肺胞上皮細胞質に軽度の浮腫及び頻繁な樹枝状突起形成が始まり、この突起はしばしば鉛粒子を抱き込んでいた。B 型上皮ではラメラ封入体の過形成及び封入体の崩壊物の肺胞腔内への移行が見られる。時間経過と共に、A、B 両上皮細胞質に広範囲に空胞化が起り、肺胞腔内へ変性剥離する。24時間後の肺では、肺胞拡張不全部には細胞浸出液による小さな肺炎巣が散在していた。

実験の1群につき、吸入終了後3時間、24時間の肺の、肺胞壁の浮腫進行の程度を電顕的に形態計測すると、無処置対照群の平均肺胞壁厚 $1.303\mu \pm 0.078$ (S.E.) に対し、3時間後では

性か、あるいは他の金属投与のときにも見られる一般的な性質であるかを知るため、他の金属投与によって生成される metallothionein の金属量の経時的変化を調べることにした。今回は投与金属として Cu を用いた。

SD 雄ラット（8週令）の腹腔内に塩化銅水溶液を投与（Cu 2mg/kg）した。投与 2～168 時間後に肝を摘出した。この臓器を 0.25M sucrose, 0.01M Tris-HCl 緩衝液 pH7.4 で灌流し、血液を除いた後、上記緩衝液中でホモジナイズした。このホモジネートを遠心分離して可溶性分画を得た。これをゲル濾過（Sephadex G-75）し、その流出液について、原子吸光法により Cu および Zn を定量し、クロマトグラムを得た。

Cu 投与ラット肝の Cu 量は投与 14 時間に最大となり、それ以後は減少し、投与 120 時間後にはほぼ正常の値にまで戻った。可溶性分画中の Cu 量も肝のそれと同じ増減を示した。投与 14 時間後における可溶性分画中の Cu 量は肝のそれの約 24 % であった。可溶性分画のゲル濾過クロマトグラムには、metallothionein の位置に Cu と共に Zn のピークが見られた。このピークの Cu および Zn 量の増減は可溶性分画中のそれと同じ経時的変化を示した。すなわち、投与 14 時間に両金属量とも最高値を示し、それ以後は減少し、投与 120 時間後では正常の値にまで戻った。最高時の metallothionein 分画中の Cu および Zn 量は肝 1g についてそれぞれ 3.8 および 5.9 μg であった。これらは可溶性分画中のそれらの金属量の 58 % および 29 % に当る量であった。

このように Cu 投与によつても肝において metallothionein の生成が行われるが、これによる金属の蓄積の期間は数日程度であり、Cd による場合と著しく違うことがわかつた。この差違は Cd の如何なる性質によるものかは不明であるが、この問題は長期にわたる Cd 蓄積の機序を解明するために重要であるから、引き続き他の金属についても検討する予定である。

(29) 正常なラット腎の metallothionein 中の金属量の週令的変化

鈴木 康友

肝および腎におけるカドミウム（Cd）の蓄積には低分子タンパク質の metallothionein が密接に関係していることが知られている。metallothionein は Cd の摂取により生成され、人、馬、牛、ウサギ、ラット、マウスおよびサルなどの肝、腎あるいは他の臓器などにあるといわれている。このタンパク質は Cd 毒性に対する保護作用があり、生体における Cd の蓄積あるいは移動に関与すると考えられている。しかし正常なラットの腎では Cd とは無関係に metallothionein が存在し、主に亜鉛（Zn）と銅（Cu）を結合している。このように正常ラットでは metallothionein は肝には見られないが腎には存在するということの理由については全く不明である。ここでは正常なラットの腎の metallothionein における Zn と Cu 量の週令による変化を調べた。

6, 8, 12 および 16 週令の SD 雄ラットをそれぞれ 5匹ずつ用いた。これらのラットの腎を摘出、これらを 0.25M Sucrose, 0.01M Tris-HCl 緩衝液、pH7.4 で灌流し血液を除いた後、上記緩衝液中でホモジナイズした。これらのホモジネートを遠心分離して可溶性画を得た。これらをゲル濾過（Sephadex G-75）し、その溶出液の metallothionein 分画中の Zn および Cu を原子吸光法により定量した。

Metallothionein 分画中の Zn と Cu 量は週令的に増加する傾向があつたが、8 週令までは両金属とも少量であつた。8 週令では metallothionein 分画中の Zn および Cu 量の平均値は腎 1g について、それぞれ 1.95 および 0.83 μg であり、これは腎のそれらの金属量の 10.2 および 16.9 % であつた。しかし 12 週令では Zn および Cu 量のそれぞれの平均値は 2.51 および 2.46 μg であり、これは腎のそれらの金属量の 13.2 および 33.0 % に相当する値であつた。このように 8～12 週令の間での Cu の増加は特に顕著であつた。

以上のように正常なラットの腎の metallothionein 中の Zn と Cu 量は 8～12 週令の間で著しく増加することがわかつた。これはおそらく metallothionein 自体が増加しているものと思われるが、いづれの時点においても Cd は検出されず、Cd による metallothionein の生成は殆んど考えられないので、他の因子により metallothionein が生成されていると思われる。

以上のように正常なラットの腎の metallothionein 中の Zn と Cu 量は 8～12 週令の間で著しく増加することがわかつた。これはおそらく metallothionein 自体が増加しているものと思われるが、いづれの時点においても Cd は検出されず、Cd による metallothionein の生成は殆んど考えられないので、他の因子により metallothionein が生成されていると思われる。

以上の結果の概要是、科学技術庁の PCB に関する特別研究の中間報告書および詳細が（A）「...」（B）「...」（C）「...」（D）「...」（E）「...」（F）「...」（G）「...」（H）「...」（I）「...」（J）「...」（K）「...」（L）「...」（M）「...」（N）「...」（O）「...」（P）「...」（Q）「...」（R）「...」（S）「...」（T）「...」（U）「...」（V）「...」（W）「...」（X）「...」（Y）「...」（Z）

（21）PCB の体内内分離

佐藤 光男・長谷川 勝

この結果の概要是、科学技術庁の PCB に関する特別研究の中間報告書および詳細が（A）「...」（B）「...」（C）「...」（D）「...」（E）「...」（F）「...」（G）「...」（H）「...」（I）「...」（J）「...」（K）「...」（L）「...」（M）「...」（N）「...」（O）「...」（P）「...」（Q）「...」（R）「...」（S）「...」（T）「...」（U）「...」（V）「...」（W）「...」（X）「...」（Y）「...」（Z）

10 PCB 及びその代替品

(30) PCB 取扱い事業場における

環境および従業員健康調査報告

長谷川 弘道・佐藤光男・鶴田 寛

PCB そのもの、あるいは PCB を含む製品の廃棄、焼却などの経路を通じての環境汚染をして生物の汚染、とくに人体の汚染が問題になっている現時点において、ヒトにおける PCB の毒性が明らかになっているのは、カネミ油症にみられる亜急性中毒の場合のみであり、この結果を汚染生物の摂取による人体の 2 次汚染において問題となる慢性中毒に適用するには相当の検討を要する。といって動物を用いての慢性中毒実験の結果を流用することも、かりに毒作用が質的に同じだとしても、PCB の濃度という点において問題となる。

PCB の毒性は質的には皮膚症状、薬物代謝系酵素の誘導、脂質代謝障害さらに催奇性などがその主なものであるが、ヒトにおける PCB の蓄積がどの程度でこうした毒性が現われてくるかという点に関しては、とくに PCB の微量長期摂取時についての報告は今のところない。たとえばいくつかの研究所、大学関係の調査報告によると、人体の脂肪組織に 0.2~13ppm の PCB 蓄積がみられるが、これがどの程度まで増加したとき毒性が問題になるのかとなると、一般にはカネミ油症の亜急性中毒に拠つて推定し論じているのが常である。

PCB の慢性中毒像を、PCB の生体内濃度との関連において把握することが出来るかもしれない方法の一つは、毎日確実に PCB に接触している PCB 取扱い作業場の従業員についてしらべてみることであろう。

調査目的は 1. 環境大気中 PCB 濃度の測定法の確立および濃度測定、2. 健診項目の検討 3. 現行の規制濃度 0.5mg/m³ の検討 4. PCB の生体内侵入量の測定の 4 点をおいた。

調査日時 47 年 3 月~4 月

対象工場 PCB 製造工場…1 (A) コンデンサー製造工場…4 (B, D, E, F)
ダウサム液回収工場…1 (C) PCB 熱媒体使用工場…1 (G)
対象作業者 PCB 取扱い作業者…99 名 対照者…32 名
調査項目 環境 PCB 濃度、生体内 PCB 濃度 (血清)、生体における Cd の蓄積
作業者の年令、職歴、PCB 取扱い年数、皮膚症状 その他の自覚症状、血清脂質、酵素活性、無機物量、尿検査

この調査結果の主なるものをあげると、
1. 環境気中 PCB は取り扱っている PCB の塩素含量より一段塩素含量の低いものが蒸気と

して、また取扱っている PCB と同じ型のものは粒子として存在する確率が大きい。前者と後者の比は大体 4:1 であった。
2. 環境気中 PCB 濃度は、含浸タンクの洩れによる 0.66ppm、および特殊な作業過程での 0.16ppm を除いて一般には 0.05ppm 以下であり、0.5mg/m³ の規定以下であつた。
3. 血液中の PCB 量を測定することが可能になつた。従つて今後、PCB 汚染の実態調査は脂肪組織でなく、血液によつて行うことが可能になつた。
4. 血液中の PCB の種類は、取扱う PCB あるいは環境気中 PCB にくらべて、一段あるいは二段塩素含量の高い型に属することが明らかになつた。(取扱う PCB が KC-300 の場合)
5. 血液中の PCB 量は、PCB に触れない対照者で 0.05~0.02ppm、作業者で最高 0.92ppm 平均 0.4ppm であつた。これらの値は脂肪組織中 PCB に推定換算すると、最高で 27ppm、平均で 12ppm と考えられた。
6. 動物実験で確かめられているように、ヒトでも 4 塩化物が蓄積し易いことがわかつた。ガスクロマトグラムでのピーク a, b は極めて速かに消失、c の肩の消失、d, e, f の減少がはつきりしている。この後に c、あるいは g の減少がつづき、1 (4 塩化物) は蓄積性が大きい。

7. 一旦蓄積した PCB は、1 ヶ月程度では殆んど排出されないように見える。
8. PCB の蓄積は血液に関しては、0.4~1 ppm 程度で一応定常状態に達し、勤続年数 10 年のものでも 1 年未満のものでも殆んど変りない。
9. 工場によつては皮膚症状の有所見者が、かなりの数にのぼつたが、これはに PCB に直接手で触れたためと思われる。
10. 血液、尿についての生化学的検査の結果は、臨床的には問題とならないが、PCB の影響は明らかに出ており、血中濃度 0.4~0.9ppm がその影響の出はじめの濃度と考えられる。なお血中に検出される PCB 代謝物の量は、遊離 PCB の 1% 以下であり、また尿中には PCB は 0.5ppb 以下であつた。

なお、この結果の概要是科学技術庁の PCB に関する特別研究の中間報告書および詳細が「PCB 様物質による環境汚染の防止に関する特別研究」昭和 47 年 11 月、科学技術庁研究調整局に報告されている。

(31) PCB の生体内分布

佐藤光男・長谷川弘道・鶴田 寛

PCB (ポリ塩化ビフェニール) そのもの、あるいは PCB を含む製品の廃棄、焼却などの經

路を通じての環境汚染そして人体への汚染が問題になっている現在においては PCB の生体に対する影響を明かにすることは急務と思われる。PCB の毒性に関連して PCB は体内に蓄積するといわれているが蓄積量を知るのは容易ではない。PCB を取扱つていた作業場の従業員の血液中 PCB 量を測定することにより PCB の生体内侵入量を推定することが可能となつた。さらに動物実験により血液中の PCB の消長と生体内分布について検討を行なつた。

PCB (3 塩化物) をラットに 1 回経口投与 (5mg/kg) し、投与後 1 日、14 日目の各組織中の PCB 量を測定した。1 日目では各組織中に PCB は存在し特に脂肪組織に多くみられた。投与 14 日後では脳、肝、脾、腎臓では大部分の PCB は消失していたが筋肉、脂肪特に皮下脂肪には多くの PCB がなお存在していた。0.5ppm の PCB (3 塩化物) 水溶液を毎日飲料水としてラットに与え、3 ヶ月後の各組織中の PCB 量は 1 回経口投与 1 日目と同じ様なパターンを示したが皮下脂肪組織では著しく貯積しているのがみられた。

(32) PCB の毒性検討

長谷川 弘道・佐藤光男
動物実験による PCB の毒性検討を糖代謝および脂肪代謝の面からみると実験を行なつたが資料はすべて保存中であるので、48 年度初期に詳細な報告ができる予定である。

(33) 大気中の PCB 測定法の検討

長谷川 弘道・佐藤光男
PCB の測定法の開発検討を委託された日本分析化学協会の依頼をうけた筆者らは、すでに発表ずみの n-ヘキサンを用いた溶媒吸収による気中の PCB 捕集法について、詳細な検討をかね、大気部会において気中 PCB 捕集法について主法として同法をとるに至つた。その詳細はすでに協会の印刷物として各県に行きわたっている。この方法はさらに環境庁においても採用されている。

また、上記の 2 つの委員会の委嘱により、Dry 法、すなわちプロリジルカラムによる PCB の捕集法についても検討を加え、湿度の捕集効率におよぼす影響のかなり大きいことを知つた。

要約すると、湿度自身は捕集率に無影響であるが、誤つて水滴を吸引したときには捕集効果は大巾に減ずる。したがつて晴雨にかかわらずこの Dry 法は使用できるが、煙道から PCB も含む大気を採取するときは途中にたまる水分の除去を考える必要ありと結論された。

(34) 大気中 PCB 量の測定

長谷川 弘道・佐藤光男・鶴田寛

長谷川 弘道・佐藤光男・鶴田寛

過去に PCB を使用していた工場内、その周辺地区、および都内、川崎市、静岡県などにおいて大気中に含まれる PCB を Wet 法 (n-ヘキサンによる吸収法) および Dry 法 (プロリジルカラム) の両法により捕集し、その定量を行なつたが、その結果は、環境庁に提出ずみであり、詳細は同序の報告書にまちたい。

(35) 感圧紙製造工場従業員の健康調査

長谷川 弘道・佐藤光男・鶴田寛
科学技術庁の特別研究の一項目である。感圧紙に使用されていた PCB の製造中止に先立つこと 1 年、感圧紙のマイクロカプセル中の溶媒として PCB に代つて日本石油化学の日石ハイズール SAS、あるいは呉羽化学の KMC oil が用いられるようになつたのは昭和 46 年 2 月である。

以来、両者の依頼によつて 1、2 の大学で、SAS および KMC の毒性検討がなされているが、PCB 公害の波紋があまりにも大きく、その代替品として登場したこれら両物質についても更に慎重な検討が要求された。

その結果、SAS および KMC 毒性検討は、
1. 使用工場従業員の健康診断
2. 動物実験による毒性検査
の 2 面から追求検討することになった。
感圧紙製造工場の調査は昭和 47 年 12 月から 48 年 1 月にかけて行なわれた。
調査対象工場は 7 社、作業者の対象は 200 名余であつた。
調査は、使用する oil の種類および作業環境中の濃度の測定、作業環境中に残存する PCB 濃度の測定、KMC、SAS の手指への付着量の測定、作業者における皮膚障害、血液中の SAS、KMC の濃度測定、血液および尿の生化学的検査、などの項目について行なつたが、さらに KMC、SAS の毒性についての文献的検討、微生物分解法の検討も含めた。

また過去に使用した PCB の影響の有無などについても検討した。
現在、動物実験を行なつてあるが、調査、実験の詳細は 48 年 6 月頃発表の予定である。

11 一酸化炭素

するといわれているが著者を知るのは容易ではない。PCBを取扱つていた作業場の従業員の(36)一酸化炭素中毒の生化学的検討

がさらに動物実験についても、その測定と生体内分布について検討を行なつた。

鶴田内崎 寛・佐藤光男・長谷川弘道

(はじめに) 急性一酸化炭素中毒については古くから多くの研究がなされているが、慢性中毒についての研究はそれほど多くなく、CO許容濃度にても国によつてまちまちで 15~100 ppmとかなりのひらきがある。一方、自動車の排気ガスの増加から大都市では 20~50ppm の CO が検出されており、ガレージやトンネル内ではより高い濃度の CO が存在している。そこで、長期間低濃度の CO に暴露したラットの生体内物質代謝の様相を生化学的方法により検討した。CO 暴露濃度は 200ppm 程度の COHb 生成量が約 20% で頭痛などの自覚症状があらわれはじめる濃度と 30ppm 程度の一般環境許容濃度より高いが CO-Hb 形成による影響が現われない濃度を使用した。実験は 7 週令の SD ラット雄を 1 群 10 匹として対照群、30ppm 暴露群、200ppm 暴露群の 3 群に分け、それぞれ気積 180ℓ の暴露箱に入れ、毎分 18ℓ の空気 (CO 暴露群は 30ppm と 200ppm の CO を含む空気) を送入し、1 ヶ月間連続暴露を続けた。1 ヶ月目に 24 時間絶食した後に殺し、臓器重量及び血液中の成分を主として二十数種類の物質について測定を行なつた。

(結果) CO 暴露期間中のラットの体重は暴露後 1 週目、2 週目、3 週目、4 週目とも各群のあいだに変化はみられず、体重への影響は認められなかつた。しかし、臓器重量では CO 暴露群に肝と脾臓の重量減少傾向と心臓の重量増加傾向が認められた。次に生体内物質の様相であるが、30ppm CO 暴露群では対照群に比してわずかに乳酸、GOT および肝のマイクロゾーム P-450 に増加の傾がみられたにすぎず、全体にめだつた変化はなく、物質代謝系の様相に変化は現れていない。一方、200ppm CO 暴露群では血色素量、乳酸、遊離コレステロール、リン脂質、総グリセロール、無機リン酸、脳の DNA、RNA、肝のマイクロゾーム P-450 に増加の傾向が、エステルコレステロール、脳内遊離アミノ酸 (ペーパークロマト法による) のうち GABA とグルタミン酸に低下の傾向がみられ物質代謝系の様相に変化が認められた。しかし、この変化の様相には高濃度の CO 暴露時にみられる血糖値の上昇や、肝障害時にみられる LDH、アルカリ性フォスファターゼ、GOT などの血清酵素の活性上昇などがみられないで物質代謝系の障害を伴つた物質代謝系の変化ではなさうである。

要約すると、温度自身は直接的な影響であるが無視の層では PCB の影響は大いに予想されるが、呼吸の障害、体温調節の障害、水分の除去を考慮する必要ありと結論された。

12 重油燃焼生成物

(37) 重油燃焼生成物長期吸入実験 (V)

吸入装置並びに環境条件について

野崎亘右・河合清之・福田一男
松村芳美・宮田信明

粒子状物質の長期吸入実験の実施に際し、装置の性能或いは実験動物管理上どのような考慮が必要であるかを知るために行なわれた重油燃焼生成物の予備的吸入実験は昭和 45 年に開始され、現在も進行中であるが、実験開始時点における装置の特性はすでに昨年度に報告した。本年報は長期に亘る作動の際の環境条件の維持状況と、実験動物の生存状況を報告する。

〔吸入箱内汚染環境条件〕 吸入装置の設計及び作動に当つては吸入箱の工学的条件として粒子状物質濃度分布、充満及び排出時間を考慮することは勿論、長期吸入において特に重要な吸入試料の長期連續供給、濃度の調節保持等も充分に考慮した。吸入箱の配置は I 高濃度群：粒子状物質濃度無調節全煙吸入群、II 濾過煙群：I から粒子状物質を除去した濾過煙吸入群、III 低濃度群：粒子状物質濃度 500 μg/m³ 全煙吸入群、IV 吸入箱対照群：実験室空気を導入した吸入箱対照吸入群、V 飼育室対照群である。吸入箱内の環境条件の監視は粒子状物質濃度を主とし、光散乱式濃度計によつて 2.5 分間隔で記録し、これを 15 分毎に読み出し、1 時間平均したもの濃度 1 時間値とした。濃度 500 μg/m³ 水準吸入群、濃度無調節全煙吸入群における環境濃度 24 ヶ月 (105 週) の集計ではそれぞれ 470 μg/m³、6.7 mg/m³ であつた。高濃度吸入群においては 10 mg/m³ 以下の濃度が全体の 85 % を占めていた。ガスの濃度は SO₂、CO、NO₂ を主な指標物質として検知管により隨時測定して参考とした。

〔生物学的環境条件〕 生物学的環境条件としては温湿度が常に一定に保たれる必要があることは勿論であるが、吸入箱は一種の閉鎖空間であるために温湿度上昇のほかに他の環境悪化も招き易い。これをさけるためには換気流量を増せばよいが、一定以上の増加はかえつて濃度分布の乱れ、吸入試料の浪費、風速の増大を招く。したがつて適当な換気回数を選ぶ必要がある。生物学的環境指標として温湿度を中心にその他 O₂、CO₂、NH₃ 等を指標として実験をくり返した結果、室温に対する温度上昇 2°C、湿度 10~15%，O₂ 低下 1%，CO₂ 濃度上昇 0.3%，NH₃ 上昇 20ppm を許容した場合の換気量として 30 ℥/min (換気率 9) が最適であると判断したが、この条件を年間を通して保持するために給気側に除湿器を併用した。この条件による I 高濃度吸入群、IV 吸入箱対照群の週平均 105 週迄の集計結果はそれぞれ 27.1°C、66.7%，26.8°C、68.5 % であつた。この値は当初意図した水準の中に入つていた。

従来吸入実験を含めて長期実験の遂行に際して動物管理技術上最大困難の一つは主として呼

吸器系の感染誘発による早期死亡あるいは病像の混乱であった。本実験では吸入箱内環境条件の保持に努力し、飼育管理方式に留意することによって慢性吸入実験の大きな障害となつてきの肺炎の発生防止にはほぼ成功した。吸入暴露群、吸入箱対照群、飼育室対照群の 24 ヶ月生存率はそれぞれ 70%, 79%, 85%, 30 ヶ月生存率は同じく 7%, 44%, 79% でありほぼ満足出来るものと考えられ、慢性吸入実験の基礎技術はその第 1 段階が確立されたものと考えられる。

(38) 重油燃焼生成物吸入実験 (VI)

一病理学的所見一

河合 清之・野崎 亘右・福田 一男・松村 芳美

清水 聰子・京野 洋子・宮田 信明

重油燃焼生成物を素材とする複合系有害物吸入実験系列中、昭和 45 年 9 月に開始した長期吸入実験の第 1 実験を終了した。吸入箱の配置と環境条件は V 報に記した。動物は SD-JCL 雄、各群 5 頭、飼育管理は I~IV 報 (昭 45-46) に述べた。動物は生存日数観察のため死亡を待つ、剖検して死因を確認、病理学的検索を行なつた。

動物は各群とも順調な発育を示したが、20 週頃から、高濃度群 (粒子状物質平均濃度 6.67 mg/m³)、濾過煙群 (0.0147 mg/m³)、低濃度群 (0.471 mg/m³) の順で体重増加抑制傾向が現われ、90~100 週時点では高濃度群では対照群に比し約 20% 減を示した。生存日数は暴露群全体平均 719 日、吸入箱対照群平均 829 日に比較して短縮が認められる。死因となつた基礎疾患は、暴露群では 600 日以前は大部分が下垂体腫瘍で 700 日を過ぎると特発性腎炎・心線維症、筋変性・動脈硬化などの「加令性疾患」が加わる。吸入箱対照群では大部分が下垂体腫瘍で、加令性疾患は軽度に留つており、900 日以上生存した個体にはじめて現われる。暴露群の生存期間 (寿命) 短縮は「加令性疾患」の発生促進に由るものと考えられる。暴露群相互間の生存期間の差異には一定の関係が見出されず、下垂体腫瘍などの自然発生性疾患によつて生存期間が乱されておりその発生防止法と共に今後の検討を要する。

高濃度群の肺病変の主像は充分に発達した慢性汎細気管支炎で、末梢気管支上皮の腺様増殖を伴い、5 例中 2 例には末梢性扁平上皮化生巣を認めた。肺胞構築の軽度の破壊を認めるが完全な肺気腫にまではまだ发展していない。気管支病巣を中心として炭粉症、肺胞壁のびまん性肥厚・線維症が発生し、一部は小瘢痕形成の傾向を示す。炭粉症は気管支周辺以外には血管周辺間質によく、人体炭粉症に近似し、ラットにおいても少量の粒子状物質を長期にわたつて吸入させれば、気管支・血管周囲型を現わしていくものと考えられる。

濾過煙群では、それらの高濃度群病変は全く認められず、重油燃焼生成物吸入による慢性気管支炎および上皮病変の発生は粒子状物質の存在に由るものである。濾過煙群の一部の個体には肺胞構築の乱れが観察され、肺気腫には至っていないが今後の観察を要する。

低濃度群では、極く軽度かつ初期の細気管支炎と炭粉症病巣が散発的に認められるが、肺胞構築は良好に保たれている。この「微弱陽性成績」をみると、この濃度水準が重油燃焼生成物の負荷量としては、ラット肺に対するいわゆる「最小有効量」に近いことを思わせる。

慢性吸入実験をふくむ慢性実験の遂行には下垂体腫瘍および加令性疾患の処理又は対策が重要であることが痛感された。

(39) 重油燃焼生成物の細胞毒性

興 貴美子・坂 部 弘 之・小 川 薫

河合らは昭和 45 年度から重油燃焼生成物によるラットの連続暴露実験を行なつている。これらの結果によると重油燃焼生成物全煙吸入群のラットでは、肺の細気管支炎、肺胞壁線維症などが発生するが、濾過煙吸入群では、これらの変化は軽減若しくは発現しないとされている。そこでこの重油燃焼生成物中に含まれる粒子状物質の細胞毒性について検討した。

供試すのは、B 重油を燃焼させた場合発生する (すす) のうち吸入箱附着していたもの (すす-1)、この (すす-1) を水に対して透析したもの (透析すす)、煙道に附着したもの (すす-2) ボイラーの伝熱面に附着したもの (すす-3) を用いた。又、(すす-1) 県濁液の 3000 r.p.m. 遠沈上清を (すす-1 上清) とした。発色の妨害物は、捕集した試料溶液に一定量の標準 NaF マクロファージに対する影響を C¹⁴-ロイシンの取り込みからみると、5 × 10⁶ 個のマクロファージに対する取り込みを 50% 阻害するに要するすすの量は、(すす-1) 98 μg、(透析すす) 480 μg (すす-2) 2500 μg、(すす-3) 2800 μg、(すす-1 上清) 340 μg の県濁液の上清となつた。これらすす県濁液の pH は夫々の培養液のもの pH から変化していない。(すす-1) を加えた反応系に血清を加えた場合、(すす-1) を予め血清と反応させた場合には、取り込み阻害は回復する。又、反応系に血清の入る TTC 還元能の測定ではすべての供試すすにおいて、阻害作用は認められなかつた。細胞 LDH の培養液への流出は (すす-1) で顕著に認められた。

3 T 6 細胞を 10% 仔牛血清添加 Dulbecco-Vogt 液で 2 × 10⁵ 細胞から培養を開始した場合 (すす-1) 1 mg、500 μg の添加では、H³-チミジン取り込みは殆んどなく、鏡検により細胞の崩壊像が認められた。250 μg、125 μg の添加でも取り込み阻害が認められる。阻害の程度は (透析すす)、(すす-2)、(すす-3) の順に軽度となる。即ち、3 T 6 細胞に対しては培養液に血清が存在していても障害作用が認められる。

赤血球では、(すす-1) 及び (透析すす) で比較的軽度な溶血作用が認められた。(すす-1) による細胞の障害作用は (すす-1) の表面酸度及びこれの溶出物によるものであ

ると考えられるが、透析により殆ど酸度を失つた(すす)にも尚細胞障害作用のある事は(すす)の表面の性質のためと考えられる。以上の結果から、重油燃焼生成物中に含まれる(すす)には、マクロファージ、 $3T6$ 細胞赤血球に対して細胞障害性のある事が確められた。

(38) 重油燃焼生成物吸入実験 (VI)

一病態学的所見一 呼吸器の神経生歎癌症 (88)

内源 稲之、山野義一、左右田正樹、美明千葉貴芳、美央典夫、高峰博子、東野洋子、宮田信明、...等

概要 本研究は呼吸器の神経生歎癌症 (呼吸器の神経生歎癌症) の発生率とその原因因子について検討した。呼吸器の神経生歎癌症は、呼吸器の神経生歎癌症のうちの約 20% を占める。呼吸器の神経生歎癌症は、肺癌や頭頸部癌などの他の肺癌よりも多く見られる。呼吸器の神経生歎癌症は、肺癌よりも多く見られる。呼吸器の神経生歎癌症は、肺癌よりも多く見られる。

方法 本研究は、呼吸器の神経生歎癌症の発生率を算出し、呼吸器の神経生歎癌症の原因因子を検討した。呼吸器の神経生歎癌症の原因因子としては、喫煙、飲酒、暴露、などの既知のリスク因子が挙げられる。呼吸器の神経生歎癌症の原因因子としては、喫煙、飲酒、暴露、などの既知のリスク因子が挙げられる。

結果 呼吸器の神経生歎癌症の発生率は、肺癌よりも多く見られる。呼吸器の神経生歎癌症の原因因子としては、喫煙、飲酒、暴露、などの既知のリスク因子が挙げられる。

結論 呼吸器の神経生歎癌症の発生率は、肺癌よりも多く見られる。呼吸器の神経生歎癌症の原因因子としては、喫煙、飲酒、暴露、などの既知のリスク因子が挙げられる。

たが、八沸化イソブチルオクタノレート熱分解生成物の結果では、主成分では、 CF_3CFO が観測された。

(40) 有機弗素樹脂の熱分解生成物の分析 (1)

(42) 有機弗素樹脂の熱分解生成物の分析 (2)

有藤 平八郎・左右田 礼典・高野 錠夫

耐熱性高分子の熱分解生成物の吸入毒性に関する研究の一環として、比較的透明で且つ軟化温度が低く加工しやすいポリフルオロエチレンプロピレン (PFEP) の熱分解生成物のうちの水溶性弗化物をアリザリンコンプレクソン法で定量し、次の点について検討を加えた。(1) 水溶性弗化物発生量の熱分解時間、加熱温度および気流中酸素含量による変化、(2) 热分解による重量減少量の熱分解時間、加熱温度および気流中酸素含量による変化、(3) 热分解装置の表面材質特に熱分解ポートの水溶性弗化物に対する耐食性。

熱分解装置と方法は Industrial Health, vol. 10, Nos. 3~4 に詳述した。水溶性弗化物は一定容量の $1/100\text{N-NaOH}$ を入れたミゼットインピングジャーに一定容量のガスを吸引し捕集した。アリザリンコンプレクソン法は多田治著「有害物管理のための測定法」無機編に準拠した。アリザリンコンプレクソンによる発色の妨害物は、捕集した試料溶液に一定量の標準 NaF 水溶液を加え、吸光光度の加成性を検討した結果、存在しないことを確めた。熱分解温度は 350°C ~ 430°C 、熱分解時間は最大 1 時間、気流中酸素含量は 20~0 % である。

水溶性弗化物の気流中濃度は加熱時間に対して最大値をもつ曲線を示し、水溶性弗化物発生量は気流中濃度を図表積分して得られた。発生量の加熱時間に対する増加のパターンは酸素を含む気流中では、いづれの場合でも $A(1-e^{-kt})$ 型の曲線となり、熱分解温度が高くなるにつれ、曲線の立ち上がりが大きくなつた。酸素を含まない窒素気流中では、いづれの熱分解温度でも水溶性弗化物は生成されなかつた。熱分解による PFEP の減少量の加熱時間に対するパターンは水溶性弗化物のそれとよく一致した。また気流中酸素含量が低下するにつれ、熱分解減少量も低下した。

熱分解ポート材質の水溶性弗化物に対する耐食性は、弗酸に最も強いといわれるモネル合金製のポートを使用して得られた水溶性弗化物発生量の加熱時間による変化のパターンと本実験に主として用いたステンレススチール製ポートでもつて得られた水溶性弗化物発生量とを比較することによって検討した。その結果 350°C ~ 430°C の比較的低い温度では両種のポートの間に水溶性弗化物発生量に関して大きな差が認められなかつた。したがつてこの温度範囲ではス

テンレススチールポートは充分に定量に使用し得る耐食性があることを確めた。以上の結果から、高分子樹脂の熱分解生成物の性質のためと考えられる。

(41) 有機弗素樹脂の熱分解生成物の分析（2）

「赤外吸収スペクトル法およびガスクロマトグラフマススペクトル法によるポリテトラフルオロエチレン(PTFE)熱分解生成物の同定」

有 藤 平八郎・左右田 礼典

耐熱性、耐薬品性、絶縁性に優れた特性をもつポリテトラフルオロエチレン(PTFE)のガス状熱分解生成物の同定を行なつた。用いたポリマーはフィルム状 PTFE(ダイキン製)である。熱分解装置および方法は Industrial Health, vol. 10, Nos. 3-4 に詳述した。熱分解温度は 450°C~600°C で、4 種の気流(乾燥窒素、加湿窒素、乾燥空気、加湿空気)の中で熱分解させ、各々の気流により運ばれた熱分解生成物を試料採取口からそれぞれの同定用分析機器で冷却捕集した。赤外吸収スペクトル法による同定のために、三連の捕集瓶(最初の二つの瓶は、それぞれドライアイス、液体酸素、また第三番目は液体窒素で冷却)に 200 ml/min の流速で熱分解生成物を含むキャリアガスを通して、生成物を冷却捕集した。捕集された瓶中の生成物はあらかじめ減圧にしたガスセル(長さ 10cm)に移し、赤外吸収スペクトルを測定した。ガスクロマトグラフマススペクトロメータに導入するガス状熱分解生成物はガスクロマトグラフ用試料採取管に液体酸素で冷却捕集し、これに注射針付 L 字管を直結しガスクロマトグラフ分離管に導入した。ガスクロマトグラフ分離管はポラパック Q, 80-100 メッシュ、3m × 3mm である。なお加湿空気、窒素の実験は赤外吸収スペクトル法のみで行なつた。

赤外吸収スペクトルによる結果：乾燥および加湿窒素気流中いずれの場合においても四弗化エチレン($\text{CF}_2=\text{CF}_2$)、六弗化プロピレン($\text{CF}_3-\text{CF}=\text{CF}_2$)、八弗化シクロブタン($\begin{array}{c} \text{CF}_2-\text{CF}_2 \\ | \\ \text{C} \\ | \\ \text{CF}_2-\text{CF}_2 \end{array}$)の特性吸収帯が観測された。加湿窒素気流中でも上述以外の物質たとえば水和化合物等の新しい物質は見いだされなかつた。450°C および 650°C の範囲では生成する熱分解物質の種類は変らなかつた。空気流中の熱分解では主成分はカルボニルフルオリド(COF_2)であつた。さらに 600°C 以上の熱分解では四弗化炭素(CF_4)の特性吸収帯も観測された。加湿空気流中の熱分解生成物の赤外吸収スペクトルは COF_2 の吸収スペクトルが消え、乾燥空気の場合と比較して CO_2 の強い吸収帯があらわれた。

ガスクロマトグラフマススペクトル法による結果：乾燥窒素気流中の熱分解生成物は赤外吸収スペクトルによつて同定された三つの弗化物に加えて八弗化イソブチレン($(\text{CF}_3)_2\text{C}=\text{CF}_2$)が観測された。乾燥空気流中では COF_2 , $\text{CF}_2=\text{CF}_2$, $\text{CF}_3-\text{CF}=\text{CF}_2$, $\begin{array}{c} \text{CF}_2-\text{CF}_2 \\ | \\ \text{C} \\ | \\ \text{CF}_2-\text{CF}_2 \end{array}$ が見いだされ

たが、八弗化イソブチレンは観測されなかつた。600°C における熱分解の結果では上述の 4 つの弗化物に加えて、四弗化炭素、六弗化エタン、八弗化プロパン、三弗化アセチルフルオリド(CF_3CFO)が観測された。

(42) 有機弗素樹脂の熱分解生成物の分析（3）

「ガスクロマトグラフマススペクトル法および赤外吸収スペクトル法によるポリフルオロエチレンプロピレン(PFEP)の熱分解生成物の同定」

有 藤 平八郎・左右田 礼典

市販のポリフルオロエチレンプロピレン(PFEP)フィルム(デュポン製)の熱分解生成物をガスクロマトグラフマススペクトル法と赤外吸収スペクトル法で同定した。熱分解装置と方法は Industrial Health, vol. 10, Nos. 3-4 に詳述した。熱分解温度は 400°C に一定にして、窒素および空気流中で熱分解させ、熱分解生成物を冷却捕集法によつて濃縮採取した。ガスクロマトグラフマススペクトロメータに導入する試料は液体酸素によつて冷却した GC 用試料管に熱分解生成物を含む気流を通して、熱分解生成物を濃縮捕集したあと、注射針付 L 字管に直結し、GC 分離管に導入した。GC 分離管はポラパック Q, 80-100 メッシュ、ステンレススチール製 3m × 3mm(i.d.)である。キャリアガスとしてヘリウムを用いた。得られたガスクロマトグラフピークのうちマススペクトル法によつて同定された物質およびその保持時間はつきのとおりである。なおガスクロマトグラムは 50°C → 230°C, 4°C/min の昇温で得られた。窒素気流中の熱分解生成物は $\text{CF}_2=\text{CF}_2$ (保持時間 8 分), $\text{CF}_3-\text{CF}=\text{CF}_2$ (19 分), $(\text{CF}_3)_2\text{C}=\text{CF}_2$ (27 分) であつた。空気流中では上述の物質に加えて COF_2 (6 分), CF_3CFO (10 分) が観測された。PTFE の場合に $(\text{CF}_3)_2\text{C}=\text{CF}_2$ は空気流中熱分解生成物の中に見いだされなかつたが、PFEP の熱分解生成物中には窒素気流中のみならず空気流中においてもはつきりと存在が確認された。この物質 $(\text{CF}_3)_2\text{C}=\text{CF}_2$ が非常に Toxic であることを考へると興味深い結果である。

赤外吸収スペクトル法による熱分解生成物の同定は熱分解生成物を含む気流を三連のガラス製捕集瓶(ドライアイス、液体酸素で冷却)に通し、熱分解生成物を濃縮採取した。採取したガス状熱分解生成物はあらかじめ減圧にしたガスセル(長さ 10cm)に移し、ガス状のスペクトルを測定した。窒素気流中の熱分解生成物の赤外吸収スペクトルは $\text{CF}_2=\text{CF}_2$ と $\text{CF}_3-\text{CF}=\text{CF}_2$ の特性吸収帯からなり、空気流中のそれは COF_2 , CF_3CFO , $\text{CF}_3-\text{CF}=\text{CF}_2$ の三種の化合物の特性吸収帯からなることがわかつた。

14 肺組織病変の客観的評価法

(43) 電顕的形態計測法の肺組織への応用

京野洋子・河合清之・興重治
フルオロエラストマーティン

有害物質侵入の結果起る肺病変を知る為には特にその初期反応の解析が必要である。最近問題としなければならないのは、組織反応としては肺胞壁に限られてしまうような低濃度の有害物質作用であり、このような場合の解析手段としては電顕にたよらざるを得ない。光顕レベルで把握できない弱い初期変化を捕え、対照群と有意の差異ありとの評価を下す為には、従来のように観察者の経験的主觀にたよることなく、形態的観察にも定量化の手法を導入し、客観的に計測する事が必要とされる。

Weibel 等の発展させた形態計測法は、最近電顕レベルでも実用段階に達しつつあるが、試料のサンプリング法、撮影その他の手続きがかなり煩雑で、人手と時間を要する。我々は本法の日常化と簡易化を目標とし、日常の実験材料の処理において、その他の種々の検索方法と平行して、これを解析手段として利用する方法を開発する必要性を感じ、まず肺組織について、肺胞壁の平均的壁厚を測定する方法を確立した。

肺組織のサンプリングは肺の一定場所（左肺中央部）より 2mm 厚の水平断を取り、20~30 個に細断し、その中から任意の 6 個を包埋する。このうち 3~5 個を超薄切片とし、各ブロックより 10 枚の電顕写真を撮影する。予備計測により 1 枚の写真につきスケールを 4 回、各 45 度ずつ回転した位置にて測定することにより、比較的手間をかけずに写真撮影時に起り得るバイアスを消去し得た。

以上 の方法により、日常用いているラット（SD 系♂、12 週令）につき、正常肺の平均肺胞壁厚を求めた。1 匹のラット肺より 5 ブロック、各々 10 枚の写真を取り、計 50 枚の写真で計測した結果は、平均肺胞壁厚 1.303μ となり、不偏分散を基に計算した standard error は、 $\pm 0.087\mu$ で、平均値に対し、 $\pm 10\%$ 以下の値となる。次に動物個体間の変動を同様にして 5 匹の肺につき、50 枚の写真より求めると、グループ平均値 $1.247\mu \pm 0.07\mu$ となる。用いた材料全てを基に正常群全体としての変動を求めるとき、総変動量は正常肺の平均肺胞壁厚を仮りに 1.3μ として $\pm 12\%$ にあたる範囲にある。

我々のサンプリング方法を適用しても分析の精度は満足出来る範囲にあることがわかつたので、鉛吸入肺、街の汚染大気吸入肺等の材料について実際に計測を試みた。結果はそれぞれ別報に述べた。本法により従来観察者の主觀にたよつて、肺胞壁のところどころが何となく厚くなるという程度の表現しか出来なかつた材料に対し、厚みの増加という判断が量的にはつきり

下せることがわかつた。そこで、エアロゾルの物理化学的性質および生体を中心にしてみた諸形態計測法の日常の試料への適用が可能となつたので、この方法は今後形態学的病変解析に有力な手段と考えられる。

（II）実験的観察による鉛の影響（44）

（1）鉛の影響による肺組織の変化（2）

一率留滞の内臓の鉛の影響（3）

典京聞本

果物の茎葉を用いて一率留滞の内臓イモツイ留滞の鉛の影響（4）

15 エアロゾルの肺内沈着

(44) 重金属エアロゾルの吸入に関する研究(II)

一不整形多分散アンチモンおよび

カドミウム・エアロゾルの肺内への滞留率一

有害物質侵入の結果起る肺病変を知り、初期反応の解析が必要である。最近問題としなければならないのは、組織反応としては肺胞壁に限られてしまうような低濃度の有害物質である。

先年度、鉛およびテルル・エアロゾルを用いてラット肺内への滞留率におよぼす粒径の効果についてしらべたところ、鉛、テルルとも粒径が大きくなるにつれて肺内滞留率は一様に低くなるが、鉛とテルルとの間ではかなりの差が生じ、かならずしも従来云われている空気力学的粒径 ($\sqrt{\rho d^2}$) のみで整理し得ない要素が他に存在するのではないかと示唆した。

なお、一般的労働環境に浮遊する重金属エアロゾルは不整形であるばかりでなく、粒度分布も広いので、鉛やテルルの場合に比べ更にかけ離れた様子が示されるのではないかと考え、ここに不整形多分散のモデルエアロゾルとしてアンチモンとカドミウムを挙げ、ラット肺内への滞留率を測定してみた。

吸入装置は前年度の報告書に記したものと基本的にはほぼ同じであるが、多分散エアロゾルの粒径測定に多孔ノズルによる分級方式のカスケードインパクター（商品名 Andersen Sampler）を使用しており、これの吸引空気流量が 28.3 l/min に規定され、かなり大きな風量でチャンバー内の空気置換が為されるのでこれを排風部に設け排気を兼ねさせたところが前回の装置と異なるところである。これにより、比較的手間をかけずに写真撮影時に取り得る用いた動物も同じく Sprague-Dawley 系の雄で、体重 260~290g のもの 6 匹を 1 群とした。吸入時間は 90 分間である。

アンチモンおよびカドミウム・エアロゾルは同様にして高周波加熱式フューム発生装置より発生させ、直接吸入装置内へ供給した。それぞれのエアロゾルは幾何学的標準偏差 (σ_g) が 1.6 前後の値をもつた粒度分布を示した。

実験結果では、アンチモンおよびカドミウムのそれぞれ物質ごとに空気力学的平均径 (Da) と相対滞留率 (R) との間に規則性が見出され、 $R = K \cdot Da^{-n}$ なる式で一般化される。但し K は比例定数、n は滞留係数とでも呼ばれる変数である。この n の値が物質によって異なる点で、必ずしも理論でいわれるような一定値を示し得なかつた。カドミウムの場合は鉛にほぼ近い 0.8、アンチモンは 1.2 となり、アンチモンでは粒径が大きくなると極端に滞留率が小さくなることが明らかとなつた。

観察者の主觀にたよつて、肺胞壁のところどころが何となく厚くなつた。この原因は明らかでないが、従来、肺内沈着の理論より、沈着率が大きく空気力学的粒径

に依存するという考え方の他に、エアロゾルの物理化学的性質および生体を中心にしてみた諸性質に強く影響されるのではないかと考えるに至つた。なお、水に対する溶解度が前者より大きい $PbCl_2$ エアロゾルを吸入されてしらべた結果では、鉛エアロゾルの滞留率とほとんど等しい結果を得ている。

単孔ノズル板の慣性衝突捕集について適用されるもので、これを多孔ノズル板の捕集にそのままあてはめて問題がないかと危惧される。そこで、この点に関して検討するため、標準エアロゾルを多孔ノズル板で捕集し、実験的に確認してみると、まず大粒の宝瓶市販半導体用鉛粉を用いて捕集板に吹き付けて、その中空空間で吸引する。吸引速度は約 10 l/min で、吸引 28.3 l/min とすると、その吸引速度で測定した懸濁粒子濃度は、第 1 段の 11% 以上に及んでおり、第 2 段は 0.1% 以下、第 3 段は 0.01% 以下、第 4 段は 0.3~0.7%、第 5 段は 0.1~0.2%、第 6 段は 0.1~0.2%、第 7 段は 0.05~0.1%、第 8 段は 0.02~0.05% で、第 9 段は 0.02% 以下を捕集し得ることになつた。懸濁粒子濃度より分離の小さな部分で、重い鉛粉の干済がおこる懸濁粒子濃度は、希釈装置を経て Andersen Sampler に供給し、分級捕集された鉛フュームを測定した。測定結果は、粒度分布を求め、それを同時に各段の懸濁粒子濃度と並んで記載してある。懸濁粒子濃度が大粒であるときには、吸引速度が吸引速度で 1.2 倍の 35 l/min の空気流速が適切な粒度を確保し、吸引速度が吸引速度で 1.2 倍の 35 l/min の空気流速が適切な粒度を確保する。吸引速度が吸引速度で 1.2 倍の 35 l/min の空気流速が適切な粒度を確保する。吸引速度が吸引速度で 1.2 倍の 35 l/min の空気流速が適切な粒度を確保する。

これと同じ現象は粒度の分散を意味する幾何標準偏差 (σ_g) に示されたもので、 σ_g が大きくなると各段の懸濁粒子濃度が高くなる。そのため、吸引速度が吸引速度で 1.2 倍の 35 l/min の空気流速が適切な粒度を確保する。

(47) 煙道排ガス中の粒子状物質測定用円筒ろ紙の

特性について

（大阪東）幸 勝 伸 川 與 大 間 順 一

この報告では、主として、円筒ろ紙による黒管の吸着法と、円筒ろ紙による単量重荷法による、各々の測定法が用いられた。主として、円筒ろ紙の干済法と、中量大重量法の二種類で、円筒ろ紙の適用が考慮され、2~3 のガラス織維製および英鐵織製の円筒ろ紙が製作された。

16 エアロゾルの測定 (45) 多段型分粒装置による粒度解析(II)

一不整形多分散アンチモンおよび

輿重治

カドミウム・エアロゾルの肺内への滞留率

空气中に浮遊する粒子性物質のうち流体力学的粒径が一定の大きさより小さい粒子を測定するのに多段型分粒装置が用いられるが、この装置の特性は実験的パラメーターを含まないので粒度解析を行なう際、理論的取扱いが容易である。理論的な計算から浮遊粒子の粒度分布が対数正規型であるなら、この装置を応用して分布型を決めることができる。このことは既に前報に報告した。

この方法による粒度解析の妥当性は、顕微鏡による方法を用いて検討することはできない。顕微法では粒子の凝集、比重、不整の程度を流体力学的粒径におきかえることは殆んど不可能だからである。

前報からもわかるように分布をきめるためには二つのパラメーター D_g と σ_g をきめればよいから、分離粒径 D_o の異つた二つの装置を用いて同時測定を行ない、夫々の装置から得られる濃度と総ての粒子を捕集して測定した濃度との比を計算することにより、分布型が対数正規型に従うかどうかと云うこととし、粒度分布の特性値を同時に検討することができる。

粉末を粉じん室に発じんさせた場合にはもとの粉末がどのようなものであつても、又時間経過により粒度分布が変化しても、更に何種類かの粒子の混合粉じんであつても粒度分布は対数正規型によく合うことがわかつた。

溶接フュームのように著しく小さな粒子では総濃度と分離濃度の比が殆んど 1 に近くなってしまうため質量の測定誤差が結果に大きな影響を与えててしまう。

作業場の粉じんについて測定した結果では通常の発じん作業場については実験室の場合と同様に対数正規型の分布が肯定されたが、沈降速度が数にもなるような巨大粒子が多く含まれているような場合には充分な一致は得られなかつた。

前後の値をもつた粒度分布を示した。

実験結果では、アンチモンおよびカドミウムのそれぞれ物質ごとに空気動力学的平均径(D_a)と標準偏差(σ_a)が算出され、 D_a と σ_a が一般化される。但し K は比例定数、 R は滞留係数とも呼ばれる变数である。この中の物質によって異なるつてい

て、必ずしも理説でいわれるような一定値を示し得なかつた。カドミウムの場合は常にば近く

空気動力学的重量基準の平均粒径が容易にしかも精度高く測定することの可能な測定器といふことで、近年、環境大気中のエアロゾル粒子の粒度分布測定に Andersen Sampler が広く使用されている。

この Andersen Sampler は慣性分離機構による捕集原理にもとづいて分級を行うカスケードインパクターで、分級板には数百ヶの円形ノズルが設けられており、捕集は分級ノズル板の下にガラス板を置きそこに沈着させる仕組みになっている。なお、Andersen Sampler の分級粒子径は Ranz-Wong の式から算出された値を用いている。ところで Ranz-Wong の式は単孔ノズル板の慣性衝突捕集について適用されるもので、これを多孔ノズル板の捕集にそのままあてはめて問題がないかと危惧される。そこで、この点に関して検討するため、標準エアロゾルを用いて分級捕集を行わせ、実験的に確かめてみることにした。

実験に用いた Andersen Sampler は米国 2000 INC 社製 Model 20-000 で、分級が 9 段階に行える。標準吸引流量は 1.0cfm 即ち 28.3ℓ/min ときめられており、この流量で操作した際の各段で分級される粒径範囲は、第 1 段の 11μ 以上からはじまり、第 2 段 $7.0 \sim 11\mu$ 、第 3 段 $4.7 \sim 7.0\mu$ 、第 4 段 $3.3 \sim 4.7\mu$ 、第 5 段 $2.1 \sim 3.3\mu$ 、第 6 段 $1.1 \sim 2.1\mu$ 、第 7 段 $0.65 \sim 1.1\mu$ 、第 8 段 $0.43 \sim 0.65\mu$ 、第 9 段はフィルターで 0.43μ 以下を捕集し得ることになっている。標準エアロゾルとしては、高周波加熱式フューム発生装置より分散の小さな鉛フュームを発生させ、希釈装置を経て Andersen Sampler に供給し、分級捕集された鉛フュームを秤量し、質量基準にて粒度分布を求めた。これと同時に、鉛フュームを電頭用シートメッシュに捕集し、電顕法から幾何学的粒径を求めたのち、この値に鉛の真比重 11.34 の平方根を乗じて空気動力学的粒径に変換し、両者の測定結果を対比する方法にて Andersen Sampler の分級特性を検討した。

実験結果から、 3.3μ 以上を捕集する第 4 段より上の分級ノズル板では標準粒径の値との間にほとんど差が認められなかつた。

しかし第 5 段より下の 3.3μ 以下を分級するノズル板では差がしだいに大きくなり、第 6 段で 1.3 倍、第 7 段で 1.5 倍、第 8 段で 1.7 倍と Andersen Sampler の表示粒径が標準粒径より大きく評価されていることが明らかとなつた。

これと同じ現象は粒度の分散を意味する幾何学的標準偏差(σ_g)にも認められた。

これらの原因として、その一つに、ノズルを通過する高風速域で、エアロゾル粒子間に断熱凝集が生じ、そのため粒径が大きくなつて捕集率が高くなることが考えられる。

したがつて以上のを用いれば各種芳香族化水素の抽出操作がいちどりしく簡略化される。

(47) 煙道排ガス中の粒子状物質測定用円筒ろ紙の特性について

2) 無機物質 DMSO 中の多環芳香族化水素の螢光、励起スペクトルは、ビーグル波長がやや異なるが、それだけベニソン溶液中のスペクトルとよく類似していることを認めた。

しかし、著者 本間克典・及川紀久雄(日環センター)それよりかなり高いことを見出した。たとえ、分析に用いる強い螢光ビーグルの DMSO 中とベニソン中での強度比

煙道排ガス中の粒子状物質濃度の測定法として、従来、JIS Z 8808 に規定されているダストチューブ法が用いられていたが、ダストチューブ法は取り扱い上に問題が多いので、新たに円筒ろ紙の適用が考えられ、2・3のガラス繊維製および石英繊維製の円筒ろ紙が試作される

によび、それらの特性の把握が急務となつた。そこで次のような条件を満足しているか検討を行なつた。その条件としては

- 1) サブミクロン粒子に対し、高い捕集率を有すること。
- 2) 粒子の捕集堆積によつて圧損が極度に増加しないこと。
- 3) 粒子の捕集に際し、必要十分な強度を有すること。
- 4) 高温条件下で変質のこと。
- 5) 粒子の組成分析上で問題となる不純物の含有量が少いこと。

以上のようにある。

まず、ろ過捕集率の測定については、単分散鉛フュームを用いて行なつた。その結果 0.07μ , 0.13μ , 0.25μ の粒径の鉛フュームに対し、ガラス纖維製円筒ろ紙はそれぞれ 99.3%, 99.8% 99.9% と条件を満足していることが認められたが、石英纖維製円筒ろ紙では、それぞれ 97.0 %, 98.7 %, 99.0 % とやや低い捕集率であることが明らかとなつた。

次に堆積ろ過特性では、捕集された鉛フュームの堆積量 (W) と圧力損失 (Δp) との間に、 $\Delta p = B \cdot W^m$ の関係が成立し、しかも円筒ろ紙 1 本当りの堆積量にかかる指数 (m) の値は纖維の種類によつてほとんど差がなく、1.6~1.8 程度の数値となつていたが、ただ B の値は纖維の種類、粒子径等によつて変動する性質があることが認められた。一般に纖維径の細いガラス纖維の場合ほど、また粒子径が小さいほど B の値を大きくしている。

不純物の含有量については、酸溶出性金属成分についてのみ検討した。測定方法は、円筒ろ紙 1 本分をこまかくち切り、100ml 入りのナス型フラスコに入れ、それに 20% 塩酸 30ml と過酸化水素水 5 ml を加え、湯浴中で 2 時間還流しながら加熱溶出を行なう。この溶出液を乾固直前まで濃縮後、希硝酸を用いて再度溶解し、10ml のメスフラスコに移し定容とした溶液を分析試料とし、Pb, Cd をはじめ、Mn, Zn, Cu, Ni, Co, Fe を原子吸光分光光度計にて定量分析した。その結果、ガラス纖維製の方が石英纖維製より不純物含有量は少く、最も多いのが Fe の $69\mu\text{g}/1$ 本で石英の $\frac{1}{4}$, Pb は $3.7\mu\text{g}/1$ 本で石英の $\frac{1}{6}$ という値であつた。この結果から不純物の含有量は少いとはいがたいので、更に改質の要がある。

その他、強度についても熱変質についてもほとんど問題はなかつた。

(46) 粒度分布測定器 Andersen Sampler の分級特性

(一九五九年) 鈴木義典 (北辰興業社) (大)

（一九五九年）鈴木義典 (北辰興業社) (大)

17 発がん物質の定量

(48) 多環芳香族炭化水素系発がん性物質に対する

螢光分析用溶媒の研究

（鹿・大阪東）*千葉県立小・中学校・高等学校
松下秀鶴

作業環境中の多環芳香族炭化水素系発がん性物質の分析は、環境空気中の浮遊粉じんの捕集→真空昇華抽出→二層一次元または二層二次元薄層クロマトグラフィーによる分離→各分離スポットのかきとりと溶剤抽出→螢光分光分析の操作により行なわれている。本研究は上記分析操作を簡略化することと、分析感度を増大させることを目的として行なわれた。すなわち、上記分析操作のうち、各分離スポットのかきとりと溶剤抽出を簡略化させ、かつ、螢光分析感度を増大させる有機溶媒の検索に焦点をしづり、種々検討を行なつた。その結果、多環芳香族炭化水素の螢光分析に通常用いられているベンゼンやシクロヘキサンの代りに DMSO を用いれば、分析は簡略化され、感度も増大することを見出した。以下、その利点の大要を述べる。

1) 分析の簡略化： 真空昇華抽出物中の多環芳香族炭化水素は、通常、アセチル化セルロース薄層上で各成分に分離される。この薄層上で分離した各スポット中の多環芳香族炭化水素は、スポットを小型遠沈管にかきとり、ベンゼンを加えてよくかき混ぜ、遠心沈澱後その上澄液をとり出す、という操作を数回くりかえすことにより抽出されてきた。

DMSO は多環芳香族炭化水素に対する溶解力がベンゼンより大きい上に、アセチル化セルロースをも溶かす性質を有している。したがつて、かきとつたスポットが数 mg 程度なら、これに DMSO を 5 ml 加えてよくかくはん、振とうすれば透明溶液となり、そのまま螢光分析にかけられる。また、かきとつたスポットが大きく、アセチル化セルロースが完全に溶解しきれない場合でも、多環芳香族炭化水素はほぼ完全に DMSO 中に抽出されることを確認した。したがつて DMSO を用いれば多環芳香族炭化水素の抽出操作がいちぢるしく簡略化される。

2) 感度の増大： DMSO 中の多環芳香族炭化水素の螢光、励起両スペクトルは、ピーク波長がやや長波長側にずれるだけでベンゼン溶液中のスペクトルとよく類似していることを認めた。しかし、顕著な相異として DMSO 中の螢光強度はベンゼン中のそれよりかなり高いことを見出した。たとえば、分析に用いる強い螢光ピークの DMSO 中とベンゼン中の強度比は、ベンゾ(a)ピレンで 1.9, ピレンで 8.1, クリセンで 3.1, ベンゾ(ghi)ペリレンで 5.6 であつた。したがつて DMSO を用いれば、より高感度で多環芳香族炭化水素を分析することが出来る。

なお、DMSO 中での多環芳香族炭化水素は少なくとも 2 ヶ月間は安定であることを確認した。その条件としては

量 実 の 實 験 と 発 行

1) サブミクロン粒子に対し、高い捕集率を有すること。

2) 粒子の捕集場所によつて直接測定する多環芳香族炭化水素の定量法 (8)

(49) 市販ガソリン中の発がん性多環芳香族炭化水素の分析

3) 粒子の捕集後、それを分離する方法による多環芳香族炭化水素の定量

4) 高温下でガソリンを蒸発する方法による多環芳香族炭化水素の定量

松下秀鶴・嵐谷奎一*・小谷野道子* (*東理大・理)

5) 粒子の組成分析上で問題となる不純物混入量が少いこと。

近年、わが国におけるガソリン消費量は増大の一途をたどりつつある。このことはガソリンへの暴露人口の増大と、これにふれる機会の増大を意味する。また、自動車排気管等よりガソリンが未燃のまま直接、大気中に排出または蒸散し、大気汚染の一因になつてゐることもよく知られている。したがつて、ガソリン中の有害成分の分析は衛生学上重要である。このような観点から、ガソリン中の発がん性多環芳香族炭化水素の分析法の作成につとめるとともに、得られた方法を用いて若干の市販ガソリンの分析を行なつた。以下、得られた結果の大要をします。

1) 分析法：作成した簡易分析法は次の通りである。キーゼルグール（5×20cm）—アセチル化セルロース（15×20cm）薄層プレートを作成し、110°C、1時間加熱活性化後、キーゼルグール層上にガソリンを200μl程度塗布する。このプレートをエタノール—エーテル—水（4:4:1, v/v）を入れた展開槽に、キーゼルグール層を下にして入れ、アセチル化セルロース層上、10cm展開を行なう。展開終了後、薄層プレートを取り出し、暗所風乾後、メタノール—エーテル—水（4:4:1, v/v）を用いて、再び展開を行なう。この展開終了後、薄層プレートを取り出し、暗所で紫外線を照射し、各スポットに特有の螢光によりスポットの検出を行なう。各スポットをかきとり、小試験管に入れ、DMSOを一定量加えてよくふりませたのち、この溶液を試料液とし螢光分光法により同定、定量を行なう。

同定は試料液と標準物質溶液の螢光、励起両スペクトルの比較より行なう。定量は Narrow Base Line 法により得た螢光強度を用いて行なう。

2) 分析結果：本法を市販ガソリンの分析に用いた結果、次の 10 種の存在を認めた。

1. ベンゾ(a)ピレン、2. ベンゾ(b)フルオランテン、3. アンスアントレン、4. クリセン、5. ベンゾ(k)フルオランテン、6. ベンゾ(a)アントラセン、7. ペリレン、8. フルオランテン、9. ピレン、10. ベンゾ(ghi)ペリレン。このうち、1, 2, 4, 6, 10 の各物質は発がん性を有するか、その疑いのあるものである。

定量は 16 銘柄（レギュラーガソリン 8 種、ハイオクタンガソリン 8 種）について行なつた結果、多環芳香族炭化水素含量は一般にハイオクタンガソリンの方が高いことを認めた。たとえば、ベンゾ(a)ピレン含量はレギュラーガソリンで 0.05~0.32 ppm (平均 0.16 ppm)、ハイオクタンガソリンで 0.06~0.56 ppm (平均 0.28 ppm) であつた。なお、この値はガソリンよ

り沸点のはるかに高い灯油中の含量 (0.067~0.19 μg/l) よりいちぢるしく高い。

19 放射線量実験室の反応装置と測定方法 81

(50) アスベスト中の多環芳香族炭化水素の分析

62 放射線ガス濃度 (V) の用法によるアスベスト中の多環芳香族炭化水素の測定 (12)

松下秀鶴・嵐谷奎一* (*東理大・理)

アスベストを取扱う労働者に職業性肺がんの発生がみとめられることはよく知られている。この癌原性はアスベストの如何なる物理的、化学的因素に由来するものであるかについては依然として不明な点が多いが、アスベスト中に含まれている多環芳香族炭化水素系の発がん物質もその一因子とみなされている。しかし、分析法上の難点から、アスベスト中に含まれる多環芳香族炭化水素の種類およびその含量に関して不明な点が多い。そこで、アスベスト中の多環芳香族炭化水素簡易分析法の作成につとめるとともに、得られた方法を用いて若干の試料の分析を行なつた。

作成した分析法の大要は次の通りである。まず、アスベスト中の有機物をベンゼンを用い、ソックスレー抽出法で抽出する。この抽出液を減圧乾固したのち、乾固物をシクロヘキサンにとかす。この液を 60% 硫酸および水で洗い、塩基性物質と水溶性物質を除去する。このようにして得られたシクロヘキサン溶液に無水硫酸ナトリウムを少量加えて脱水、ろ過後、減圧乾固する。乾固物を少量のベンゼンにとかし試料液とする。

この試料液の一定量を、キーゼルグール—アセチル化セルロース薄層プレートのキーゼルグール層に塗布し、メタノール—エーテル—水（4:4:1, v/v）を用いて 2 回、展開を行なう。展開終了後、紫外線照射下の螢光により薄層上の各スポットをそれぞれかきとり、小試験管に入れ、DMSO を加えてこれをとかし、螢光分光法により分析する。

以上の分析法を 13 種のアスベスト試料に適用した結果、すべての試料に次の 9 種の多環芳香族炭化水素の存在をみとめた。ピレン、フルオランテン、クリセン、ベンゾ(a)ピレン、ベンゾ(b)フルオランテン、ベンゾ(k)フルオランテン、ペリレン、アンスアントレン、ベンゾ(ghi)ペリレン。なお、アフリカ産のアモサイト試料からは上記の外、ベンゾ(a)アントラセン、コローネンが検出された。

定量は、全試料中に見出された上記 9 種の多環芳香族炭化水素について行なつた。その結果、その含量は試料によりかなり大きく変動することをみとめた。また、従来、クリソタイル中にはベンゾ(a)ピレンは存在しないと考えられていたが、アモサイト、クロシドライト同様含まれていることが確認された。

本 simulator は動物の呼吸気流速度を電気信号で測定し、各呼吸回数あたりの吸出量を測定するための呼吸装置。同一データーの模擬呼気をもとにした複数回の吸入を想定するために開発した一種の呼吸装置である。

18 気中有機溶剤蒸気の定量

日本化学会誌の中1スヘスア (II)

(51) 有機溶媒蒸気の赤外吸収スペクトルの利用(IV)の分析

—ゴム糊揮発性成分の簡易定量—

左 右田 礼 典 (出典: 岩谷・高野 道子) (東理大・理)

赤外吸収スペクトル法により、溶媒蒸気の同定を比較的簡単に行なう方法を確立したので更に簡単な定量法を検討した。正確な分析法はいろいろあるが、面倒な手段が多く、時間と熟練などを必要とする。以下述べる原理が満足されればかなり簡単にゴム糊中の揮発性溶媒の定量を行なえることがわかつた。今ゴム糊を凝相とし、これに接する限られた容積の気相中に存在する蒸気量と凝相中に存在するその成分の量との間にたとえばヘンリーの法則のような簡単な一次的平衡が成立する場合には気相中の蒸気量を測定することによって、凝相中にあつた全量を簡単に求めることが出来る。ゴム糊はテフロンに対しては接着力がないので、テフロンの注射筒に一定量のゴム糊を入れて、普通のガラス注射筒と連結し平衡になつた後空気相のみをガラス注射筒に移し、これを更に赤外スペクトル用ガスセルに入れて、蒸気のスペクトルを測定する。スペクトル中の各溶媒化合物に対する特性吸収帯の吸光度から各化合物量を求める。この操作をくり返す時、求めた量の対数と回数との関係が図に示すように直線関係を示す場合には、下記の式によつて、最初ゴム糊中に存在した揮発性溶媒の量(W)が求められる。

$$W = ab/(1-a)$$

$\log b$ は回数ゼロに直線を外挿して得られた蒸気量の対数値であり、 a はこの直線のかたまり $\log a$ から得られる。この方法でトルエン、酢酸エチル、メチルエーテル、メチルケトンなどを含むゴム糊について測定したが、直線関係にのらない場合を除くと、比較的再現性よく、簡易定量が出来た。測定回数が4回以上であつたり、他の成分に比して極めて急速に蒸発してしまう多量成分があると一般的に測定が不可能になつた。これは上に述べた原理があつてはならないためと考えられる。現在これらの点を考慮して適用範囲の更にひろい改良法を検討している。

回数 (Number of Measurements)	log b (Logarithm of measured vapor quantity)
0	5.5
1	4.8
2	4.2
3	3.5

19 実験装置研究

(52) 環境ガス濃度測定法の性能調査用

試験ガス空気流調製装置の作製

特定化学物質等障害予防規則にもとづき、特定物質取扱事業所に義務づけられた環境測定については既にその測定指針も出されているが、この内ガス状物質については、ガス検知管法、ガスクロマトグラフ法、溶液吸収法（比色等の化学分析）等が示されている。いずれの方法に於ても、その測定法の精度や信頼性を調査し、測定結果の正しい判断をしなければならないので、濃度既知の環境状況と類似の試験空気流を作製して測定法を検量する必要がある。以上の目的にもとづき、空気流中の被検ガスの種類と濃度、妨害成分ガスの種類と濃度及び空気の温湿度等を任意に設定出来る装置を作製した。

圧縮機よりの空気流は精製された後、加湿装置によつて一定湿度に保たれる。この部分の温度と湿度は加湿部とバイパスの流量比を変化させることによつて調節され、又流量もフロート型の流量自動調節装置により制御されるようにした。これらの装置を第一の空気恒温槽に収めた。有害ガス及び妨害ガス等試料ガスを含む気流は恒温水槽に入った拡散セル、バブラー、バニエーションチューブなどより或いはポンベより供給され、適当量の希釈用空気流と混合される。これらは第二の空気恒温槽に収められた。この気流と第一の恒温槽で調節された空気流を第三の空気恒温槽に導き、適当な流量比に混合して試験空気流を作製した。空気恒温槽はいずれも冷凍機により調節された冷却水の循環コイルえの水の給停止とヒーターのサイリスタによる比例制御で温度調節され、極めて安定な温度指示を示す。この結果本装置による種々の調節が極めて容易になり、現在これを利用してガス検知管の信頼性などの試験調査を行なつてゐる。

今後いろいろの条件下での追試が必要である。吸入管の換気回数を用意より50%へとし、吸入材の消費量を減らし得る可能性を見出しめた。

(53) 呼吸 simulator の研究 (2)

野崎宣右
一案特一のままでへと巡回式内蔵人呼

本 simulator は実際の呼吸気流速度を電気信号に変換して磁気テープに記録し、これを再生してもとの呼吸気流と同一パターンの模擬呼吸を取り出し、呼吸器を中心とした研究に用いるために開発した一種の気流関数発生装置である。

昨年度の電気的検査に於ては一応満足し得るものと判定したが、電気的検定で検出し得なかつた二、三の支障が実際の呼吸流の再現性をチェックする段階で見出だされた。それは呼吸休止点の多い呼吸パターンに於て系がドリフトすることである。本年はこの点に改良を加えた。

電気信号を機械系に伝達してシリンダーを制御する方法を、試作当初の方法の外に新たに2系統増設し、合わせて3系統の制御系を内蔵させた。そして simulate する呼吸パターンの内容或いは simulator に結合される実験装置の系の静圧の条件等に応じて最適の制御法を選択し得るようにした。
夫 緯 漢 高・頃八宇 雄・典・眞 田吉

内蔵している3種の制御方式とは(1)呼吸の気流速度は呼吸気流量(体積)の微分系であるから磁気テープの電気信号を積分信号に変換して simulator の cylinder を操作し、cylinder の変位が常にこの積分値に一致するような積分制御方式(試作当初の方式)。(2)空気の圧縮の影響が少ないとするならば気流の速度は cylinder の変位の速度に同等であるという仮定のもとに、cylinder の変位を微分し、この値が常に磁気テープの signal に一致するように操作する微分制御方式(新しく加えた方式)。(3) simulator 最終段に置かれる pneumotachograph の信号が磁気テープの出力信号と全く同一になるように比較、検出、操作を常に全系にわたつて行なう全系帰環制御方式(新しく加えた方式)である。(3)の形式を使うためには cylinder 以後の工学的パラメータを磁気テープに記録したときの工学的パラメーターに一致させなければならぬが制御方法としては理想的な方法である。
(2), (3)の制御系を追加したことによつて不規則の呼吸波形も一応扱えるようになり原波形と simulated 気流波形の速度のパターンは非常に近似するようになつた。
呼吸の深さに対しては系統的な実験を行なつた。例えば 10RPM の原波形の平均呼吸換気量は 1650cc/1 回であつたが再生した呼吸量は 5 シリーズの平均で 1820cc/1 回であり平均 10% 多かつた。また 30RPM の原波形の平均呼吸換気量は 320cc/1 回で再生波形の気流量は 5 シリーズの平均で 270cc/1 回と計測され、平均 15% 少なかつた。その他の実験から呼吸の周期の大小に応じて若干増幅度を調節する必要があるようと思われた。
以上呼吸の深さに関しては、尚若干の誤差を伴なうが、気流速度に換算すればこの誤差は非常に僅かであるので、気流速度を目的とする研究、例えば呼吸保護具等の実験に於ては呼吸 simulator として充分目的を果すものと思われる。

(54) 多用途粒子状物質吸入装置の研究 (VII)

一吸入箱内換気回数をへらすための一試案一

野崎亘右・河合清之・宮田信明
われわれはすでに数年にわたり慢性吸入実験技術の確立を目指とした研究を行つてきたが、

吸入箱の換気回数の決定は吸入環境の良否を左右し、更に吸入材料の消費量をはじめとする諸設備の規模に関する重要な因子である。吸入実験を高効率的に行なうためには吸入箱の工学的及び生物学的環境条件を満足すると共に動物の収容頭数を増やし、且吸入材料の消費量を可能な限り節約する必要がある。このような観点から吸入箱の換気回数を現在よりへらすための 2, 3 の予備実験を試みた。使用した吸入箱は昭和 45 年度に報告した中型吸入箱である。

吸入箱の工学的特性と生物学的特性は概ね逆相関の関係にあり、箱の換気回数をへらすためには少ない換気量で如何にして生物学的環境の改善をはかるかと云う問題に焦点が絞られる。生物学的環境としては温湿度、O₂、CO₂、NH₃ 等を主な指標としているが、室温に対しての温度 2°C 上昇、湿度 60~70% の範囲に保つために現在は給気側に除湿器を併用し、除湿された空気を吸入箱に導入して 9 回(30ℓ/min) の換気回数を与えていたが、吸入箱の中に小型の除湿設備を施せば除湿効率が改善され且除湿するための設備費の低下も期待出来るのではないかと考えた。
方法は大きさ約 1.5ℓ、25°C の環境に於ける相対熱出力 30W(29.24 kcal/hr) の半導体サーモエレメントを吸入箱の内壁に取付け 10 頭のラットを負荷し、(平均体重 400gr, 600gr の 2 種) 換気量をパラメーターとした体重別の一連の試験的吸入実験を試みた。換気回数の多い条件下では効果がないが 5 回換気以下(15ℓ/min) に於て満足すべき効果が現われた。すなはち 48 時間実験に於て平均温湿度 25°C、50% の導入空気が実験対照箱では 27°C、79% 及上昇したのに対し、実験箱では平均 22°C、60% であり、対照箱に較べて湿度 20% の低下が認められた。
O₂、CO₂ の環境は換気回数に高い依存性を示すが、5 回換気条件下ではそれぞれ 1% 低下、0.3~0.5% の上昇で一応われわれの水準の範囲に入つている。
NH₃ の環境は床敷材料(新聞紙、飼屑、鋸屑、沸石等)の排泄物に対する holding capacity が決定的な要素をもち、常識的な換気回数の範囲では換気量との依存性は認められない。したがつて換気回数をへらしたことによる NH₃ を中心とした生物学的環境への影響はなく、むしろ NH₃ 汚染環境が許容濃度に達した時点で床敷を更新し、発生源を除去することが賢明である。

今後いろいろの条件下での追試が必要であるが、このような除湿方法を用いることによつて吸入箱の換気回数を現在より 50% へらし、吸入材料の消費量をへらし得る可能性を見出した。

20 大気汚染

(55) 粒子状大気汚染物質の電顕的研究

大気中の粒子状汚染物質の形態をしらべるのに電子顕微鏡は不可欠であるが、普通の手法では、それぞれの粒子の化学的活性とか組成にまで立入った情報を得ることは容易でない。ところで、1964年我々が開発した金属薄膜法を用いると、汚染粒子と金属薄膜との化学反応を見ることができる。金属薄膜は電顕用シートメッシュにコロジオン膜をはり、その膜の表面に真空蒸着法を用いて形成させる。金属としては、Au, Ag, Fe, Cu, Zn等が用いられる。

この金属薄膜法を用いて、最近のいわゆる光化学スモッグについてしらべた結果、これらが従来我々の観察してきた粒子状汚染物質とは、その形態ならびに金属薄膜に対する作用上でいちぢるしく相違することを見出した。即ち、1964年四日市において採取した試料、1970年冬川崎において採取した試料等においては、粒子状物質は均一な組成から成っているのではなく、炭素系粒子等の固体微粒子等から構成されているが、1971年夏および、1972年夏川崎において採取した試料では、気温、湿度が低く、北風の吹いていた時は固体微粒子がほとんど大部分を占めているが、気温、湿度が高く、南風の吹いていた時はグリース状粒子が主体となりかつCu薄膜に対する腐蝕性はきわめて強い。

1972年6月11日川崎市において102名が粘膜刺激をはじめとする障害を訴えた日の粒子状汚染物質は特異的であった。即ち、きわめて等質のグリース状物質が大半を占め、Cu薄膜に対する反応がいちぢるしく強かつた。

Cu薄膜と反応し、電顕像としてみた場合、薄膜に穴をあける物質にはどのような化学物質があるかというと、大気汚染に関連する物質としては、硫酸、硝酸をはじめ、亜硫酸、硫酸、硝酸等の塩類の中である種の物質が挙げられる。

グリース状物質の中には、硫酸塩、硝酸塩、アンモニウム塩等の存在が当研究所の浜田によつて確認されており、これらのグリース状粒子はおそらく数種の酸およびそれらの塩を含んだ状態で形成されていると考えられる。以上のようなことから、近年夏季しばしば認められるグリース状物質は、Cu薄膜に対する反応性からみて、人間の粘膜に対しても強い刺激を与えるように考えられる。したがつて、いわゆる光化学スモッグによる健康障害については、ガス状物質だけなく、粒子状物質についても配慮する必要があるようと思われる。こうしたグリース状物質の生成に関しては、発生源で作られたものというより、気中において何らかの化学反

応が行なわれ、その結果生成したものではないかと考えられる。

(56) 低濃度汚染大気吸入実験の形態学的検討

急性吸入実験の問題点

河合清之・清水聰子・京野洋子
松野正徳(自工研)・佐藤善一(日本クレア)
紫外線照射を行なつた街路大気(人工スモッグ)の吸入の生物学的作用を検討するための予備実験が3研究所の共同で行なわれ、われわれはその形態学的検索を担当し、複合性有害物吸入による呼吸器病変の検討の観点から取扱うと共に、本急性吸入実験の過程に組込まれたいくつかの特殊条件(動物の運搬・保定器による抱束・狭小な吸入箱)の肺胞壁に与える影響を形態学的観点から追求するための基礎実験を行なつた。

動物は成熟白色ウサギ雄を用い、1) 人工スモッグ吸入群、2) 清浄空気吸入対照群、3) 保定器対照群、4) 無処理対照群の4群で、1~2は各5頭、3~4は各3頭、1は自工研スモッグチャンバー車で街路大気を採取、紫外線照射した後(オキシダントピーク0.19ppm)、塩ビ製ビニールアイソレーター内に2ℓ/minで導入し吸入させた。本実験において肺に形態学的反応を惹起する可能性のある要因はいくつか考えられるが、IV群は動物商から購入後2週間飼育した対照群、III群はこの動物を保定器に4時間拘束、II群は実験前日および当日に輸送を経験し、実験に際しては保定器に拘束してビニールアイソレーター内に入れ、表準空気2ℓ/minで給気、I群はIII群と同条件下で人工スモッグを3時間吸入。

検索法は、予期される肺反応の微弱さを考慮し、暴露終了後20時間で、ネンプタール深麻酔下に開胸、肺を切除し、電顕的形態計測による肺胞壁厚測定を行なつた。
暴露後20時間肺重量(体重比)はI群4.019±0.68、II群4.578±0.792、III群4.754±0.902、IV群4.814±0.884でそれぞれ増加の傾向を示した。

電顕的組織計測による肺胞壁厚はI群1.578μ±0.085、II群1.625±0.084、III群1.696±0.099、IV群1.941±0.139であつてI~IV群にかけて肥厚の傾向を示し、I群とIV群の差是有意($P<0.5$)である。又各群30枚の写真から得られる壁厚のヒストグラムは、I群(無処理対照群)が1.2~1.6μに鋭いピークを示すに対し、II、III、IV群の順にピークの右方移動と平坦化がみられる。

以上の所見は、1) 3時間の人工スモッグ吸入は、微弱ではあるが肺胞壁に反応をひき起す可能性がある。2) 動物の拘束、輸送、環境条件の不良な吸入箱内存置などは、それ自体微弱であるが肺に形態学的反応を惹起する可能性があることを示している。しかし人工スモッグ吸入群の肺胞壁肥厚は、2) 項の要因が加重的に加わつたため発生している可能性があり、更に

検討をする。短時間の吸入実験でも微弱な変化の検出が要求される場合には実験条件を吟味する必要があることも示唆される。

(57) 大気中シアン類の捕集方法の研究 （58）インパクター粉じん線のイオン反応

千葉県立大谷工業高等専門学校
（59）大気中シアン類の捕集方法の研究
（60）大気中シアン類の捕集方法の研究

メッキ工場に於ては、作業場の環気中のシアン濃度がメッキ浴槽液のアルカリ濃度と密接な関係があり、アルカリ濃度が低いほど気中シアン濃度が高い事は前回記述したが、これと類似した問題が大気中のシアン類を捕集する場合にも存在する。
大気中のシアン類を捕集するには、アルカリ性水溶液を捕集液としたインピングジャーを使用するのが便利であるが、捕集液のアルカリ濃度がシアン類の捕集効率に直接影響を与える。捕集操作中、吸引する大気中の CO_2 によって捕集液のアルカリ濃度は次第に減少してゆくが、操作完了まで液がアルカリ性を保つ事が必須の条件である。操作中に液のアルカリ性が消滅すると、シアン類を捕集する性質がなくなるのみならず、一度捕集したシアン類は HCN となつて捕集液より逸散して了う。捕集時間を最大 30 分、捕集液の量を 75ml、空気の吸引速度を $5\text{l}/\text{min}$ とした場合、捕集液のアルカリ濃度は NaOH にして少くとも 0.02N が必要である。
インピングジャーに一定量の KCN を含む各種濃度の NaOH 水溶液 75mlを入れ、 $5\text{l}/\text{min}$ で平常の空気を通過させて、捕集液中のシアンの量の時間的変化をみると、 NaOH 濃度が 0N (純水溶液) では約 2 分、 0.001N では約 7 分、 0.002N では 15 分、 0.004N では 22 分で略 50% のシアンが失われる。この故に、 HCN は水溶性物質ではあるが、シアン類の捕集には捕集液に純水を用いてはならない事と、捕集液は或程度の濃度を有するアルカリ液でなければならぬ事が分つた。捕集操作中に液の pH は低下を続けるが、pH が略 9 以下となるとシアンの量の減少が急激に進んでくる。大気中の CO_2 によって NaOH が Na_2CO_3 をへて NaHCO_3 となるが、 NaHCO_3 の示す pH では、シアンを保持出来ない事を示している。
一定量の KCN を含む各種濃度の NaOH 水溶液を 0.2ml 、濾紙上に滴下して自然乾燥させると、この場合も NaOH の濃度が高いほどシアンの失われる速度は小さいが、インピングジャーの捕集液中のシアンの場合に比べると、シアンの減少速度が遙に急激である。 50% が失われるに要する時間が NaOH 0N (純水溶液) で 1 分、 0.1N で 7 分、 1N で 22 分、 2N で 45 分であり、 2N 以下では 1 時間以内にシアンが殆んど完全に近く失われて了う。この事はメッキ工場等で、浴槽より溢れ出たシアン類を含む液は手早く除去されなければ、その中に含まれているシアン類は急速に HCN となつて作業場内に拡散する事を示し、溢出した液も環気中シアン類の有力な発生源となり得る事が分つた。

(58) インパクター粉じん線のイオン反応

$(\text{NH}_4^+, \text{NO}_3^-, \text{SO}_4^{2-}$ について)

当所附近の路面空気を光学顕微鏡で調べると個体粒子に混つて優勢な液体粒子がしばしば見られる。そのうちの一部のものは酸性色を示すので特異ではなかろうか。附近には数多くの一般事業場があることありこのような空気を吸入しながら労働することも十分に考えられる。

そこで 4 段型ガスケードインパクターによつて粉じん採取を行い光学顕微鏡下でこのような液体粒子につき表記のイオンの検出を試みた。その結果 (1) 粒じん線 No. 1 (最粗のサイズで数 10μ ~ 数 100μ の粒子を含む) No. 2 …… No. 4 (最細のサイズで数 μ の粒子を含む) を水で寄せ集めて 1 滴とした試液中に NH_4^+ (検出法: ネスラー試薬によるガス反応法), NO_3^- (亜鉛未還元法によるグリース試薬法), SO_4^{2-} (ロデゾン酸バリウム法) が存在するきわめて濃厚な疑を見出した。(2) No. 1, No. 2 …… No. 4 に夫々沿う所の NH_4^+ を見出した。又 No. 4 に沿う所の NO_3^- (ニトロン法), SO_4^{2-} (ベンジジン法) を見出した。(3) No. 1 中の粗大な液体粒子につき同様にして NO_3^- を見出した。(4) No. 1, No. 2 …… No. 4 とも夫々酸性色粒子を含む場合があることを見出した (プロムクレゾールグリーン法)。

すなわち限られたサイズの粗粒子についてのみではあるがニトロン法による NO_3^- を直接検出し得た。直接の検出はないが微粒子も NO_3^- を含むと考え得る。粒子が、暗示として 4 以下の pH 値を帯びる理由の一つであろう。 SO_4^{2-} もこれに関係すると想像できるが更に検討する予定である。

（60）大気中シアン類の捕集方法の研究

（61）大気中シアン類の捕集方法の研究

検討を要する。短時間の吸入実験でも微弱な変化の検出が要求される場合には実験条件を吟味
す 21 振ることも示唆される動 (NIH, Nov. 20, 1967)

(59) 超低周波振動の実験

東京工業大学助教三輪俊輔・米川善晴 医学部及空港の振動測定

I 等感度実験 (59) 船舶のローリング、ピッキング、車両の横揺れ、航空機の揺れ、乗用車の悪路走行時の振動、高層建造物の地震、強風時の揺れ、大型クレーン操作室の振動、宇宙船等の振動は、周波数が主に 1 Hz 附近あるいは 1 Hz 以下であり、その振巾はかなり大きなものである。これらの振動は動搖病 (Motion Sickness) の原因と考えられ、問題にされている。
医学特に生理学、薬理学の立場から研究が行われているが未だ低周波振動と動搖病との因果関係を明示する生理学的パラメーターは見出されていない。
一方心理学的にも超低周波振動に対して、振動評価の研究は組織的には行なわれていなかつた。
そこで吾々はこの振動の評価尺度を求めるにした。
最初に超低周波正弦振動 (周波数 0.05~1Hz, 最大全振巾 1 m) の等感度曲線を求めた。
この実験のために、新たに油圧式振動台を試作した。周波数範囲は 0.02~10Hz, 全振巾最大で 1 m, 垂直、水平、斜め方向で人体が加振可能で、塔載重量は最大 100kg である。
駆動部は電気-油圧サーボ方式を採用し、正弦又はランダム振動を発生することが出来る。
振動変位をフォトトランジスターを使って測定した。
実験方法は被検者を振動台上に載せ、2 種の振動を順次に与え、第 1 の振動 (レベルは固定) と第 2 の振動 (レベルは可変) の感覚的大きさが等しくなる点をプラケッティング法を使って求めた。第 1 の振動周波数は 0.05, 0.1, 0.2, 0.4, 0.6, 0.8, 1.0Hz と変え、第 2 の周波数は 0.5Hz で一定とした。加振方向は垂直、水平、45° 傾斜、姿勢は水平振動では座位、立位、臥位で各々前後左右について測定し、垂直、45° 傾斜方向では座位、立位、臥位で測定した。予備実験で水平振動の座位について、眼と耳の開閉、背もたれの有無について検討した。その結果、眼と耳の開閉、背もたれの有無は、等感度値に著明な差を生じなかつた。そこで、眼は開き、耳栓は使わなかつた。水平座位では背もたれを付けた状態で測定した。全測定の被検者は男子 10 名とした。結果は、水平方向での各姿勢について、前後、左右方向の差異は殆んど認められなかつた。水平方向、傾斜方向では姿勢の影響が観られたが垂直方向では姿勢による差異は殆んど認められなかつた。垂直、水平、45° 傾斜での等感度曲線の傾向はほぼ類似しており、周波数範囲 0.05~0.7Hz ではオクタープ 3dB 上りの傾斜を示し、0.7~1Hz ではフラッ

トで加速度を示す等感度曲線を得た。
II 振動の大きさの測定 (59)

振動の評価尺度を求める目的で、次に振動の大きさ (VG) を測定した。測定方法は比率修正法 (Corrected ratio method) を使つた。この方法は分割法と等区分法とを被検者に実施して両者の相関から大きさを求める方法で、分割法では被検者に 2 つの振動を順次に与え、初めの振動 (固定レベル) を基準として 2 番目の振動の感覚的大きさが初めの振動の $\frac{1}{2}$ となるレベルを求める。等区分法では被検者に 3 つの振動を与える、第 1 と第 3 番目のレベルは固定し 2 番目の感覚的大きさが、第 1 と第 3 番目から等距離になるレベルを求める。垂直方向では 0.3, 0.5 1Hz, 水平方向では 0.2, 0.5, 1Hz について検討し、測定レベルは垂直では 85~110 (VGL)、水平では 95~120 (VGL) の範囲で測定した。

100VGL を 1VG に選んだ。

この結果、VG-VGL の曲線は、周波数、振動方向、姿勢の影響は顕著に認められなかつた。

又、以前求めた 1Hz 以上での VG-VGL 曲線に殆んど一致している事も解つた。即ち次式から振動の大きさ VG を求めることが出来る。

$$100VGL \text{ 以下 } \log VG = 0.030 VGL - 3.0$$

$$100VGL \text{ 以上 } \log VG = 0.023 VGL - 2.30$$

この結果、VG-VGL の曲線は、周波数、振動方向、姿勢の影響は顕著に認められなかつた。

又、以前求めた 1Hz 以上での VG-VGL 曲線に殆んど一致している事も解つた。即ち次式から振動の大きさ VG を求めることが出来る。

$$100VGL \text{ 以下 } \log VG = 0.030 VGL - 3.0$$

$$100VGL \text{ 以上 } \log VG = 0.023 VGL - 2.30$$

この結果、VG-VGL の曲線は、周波数、振動方向、姿勢の影響は顕著に認められなかつた。

又、以前求めた 1Hz 以上での VG-VGL 曲線に殆んど一致している事も解つた。即ち次式から振動の大きさ VG を求めることが出来る。

$$100VGL \text{ 以下 } \log VG = 0.030 VGL - 3.0$$

$$100VGL \text{ 以上 } \log VG = 0.023 VGL - 2.30$$

この結果、VG-VGL の曲線は、周波数、振動方向、姿勢の影響は顕著に認められなかつた。

又、以前求めた 1Hz 以上での VG-VGL 曲線に殆んど一致している事も解つた。即ち次式から振動の大きさ VG を求めることが出来る。

$$100VGL \text{ 以下 } \log VG = 0.030 VGL - 3.0$$

$$100VGL \text{ 以上 } \log VG = 0.023 VGL - 2.30$$

この結果、VG-VGL の曲線は、周波数、振動方向、姿勢の影響は顕著に認められなかつた。

又、以前求めた 1Hz 以上での VG-VGL 曲線に殆んど一致している事も解つた。即ち次式から振動の大きさ VG を求めることが出来る。

$$100VGL \text{ 以下 } \log VG = 0.030 VGL - 3.0$$

$$100VGL \text{ 以上 } \log VG = 0.023 VGL - 2.30$$

22 ガス吸着剤

(60) 種々の活性炭による水銀蒸気の吸着
松村 芳美 目次

水銀蒸気を含む窒素気流から、水銀を種々の炭素材吸着剤によつて吸着除去する実験を行なつた。そして、活性炭の種々の表面処理が水銀吸着に有効かどうかについて検討した。

吸着剤として実験に用いたのは、椰子殻活性炭2種(HGH660とGG)及びそれ等を液相酸化した酸化活性炭2種、活性炭に沃度添加処理した吸着剤(Barnebey-Cheney 沃度添着炭)及びカーボンブラック成形吸着剤(アドスター)である。これらの吸着剤の比表面積、表面酸性と流動吸着測定による水銀蒸気吸着量を比較した。

水銀蒸気吸着測定は次の様にして行なつた。流動ガス吸着試験装置の吸着剤充填層として種々の炭素材吸着剤を充填し、30°Cの恒温に保つた。水銀蒸気流の発生は、精製した水銀を30°Cに保つた水銀蒸気発生装置に入れ、窒素気流1200ml/minをこれに通して蒸発混合した。水銀の窒素気流中濃度の測定は紫外線水銀蒸気濃度計及び水銀用ガス検知管によつた。そして、水銀蒸気濃度が約10mg/m³の窒素気流を吸着剤層を通過させた時、通過後の気流中の水銀蒸気濃度を時間的に追跡測定した。

この実験から次のことが明らかになつた。椰子殻活性炭自身による水銀蒸気吸着量は、活性炭の種類によつて大きく異なる。活性炭GGは、比表面積1190m²/g、表面酸性0の、一般的なガス吸着用活性炭であるが、これによる水銀吸着量は0.36mg/gであるが、一方、比表面積1980m²/gで分子篩的構造を有すると思われるHGH660は、表面酸性0であるにも係らず水銀吸着量4.3mg/gで非常に大きい。これらを夫々液相酸化すると、GGの場合は水銀吸着量が2.4mg/gと増大するが、HGH660の場合は吸着量が低下し殆んど吸着しなくなる。このことは、活性炭の液相酸化が、水銀蒸気をキレートする表面活性基の生成と微細孔構造の破壊という水銀吸着にとって好惡の相反する効果を同時に与えるためと考えられる。沃度添加処理したBarnebey-Cheney炭は、7.0mg/gの水銀を吸着し、試験した吸着剤の中で最良の水銀吸着剤であつた。この吸着剤は従来から水銀吸着に使用されていたものであるが、添着されている沃度が使用中に蒸発するために用途が限定される。カーボンブラック成形体であるアドスターは、本来、活性炭と可成り異なる炭素構造を持つていると思われるが、水銀蒸気は殆んど吸着されなかつた。

これらの結果から、炭素表面を液相酸化すると、表面活性基の作用によつて水銀吸着能力が

増大することが分る。しかし、特に微細孔構造の発達した活性炭に於ては、水銀は表面活性基との反応によらずに、毛管凝縮によつて吸着され得ることが推測される。更に、種々な活性炭による水銀蒸気の吸着の研究を続ける予定である。

(61) 吸着剤の流動ガス吸着試験

松村 芳美・横山 正治(東理大・理)

ガス吸着剤の基礎的特性として、吸着剤によるガスの静的吸着平衡に関する諸性質と、流動ガス気流から吸着剤層によつてガスを吸着透過する能力を現わす流動吸着に関する諸性質がある。二つの特性は相互に関係しているが、吸着剤の実用の条件に応じて夫々別個に測定されなければならないことが多い。特に流動ガス吸着に於ける吸着剤層の寿命その他の特性は、流動ガスの流速、ガス濃度、吸着剤層の形状によつて変化するので、種々の条件に於ける特性値を予測することは困難であり、実測値を求める必要がある。従来、各種の吸着剤について静的吸着平衡、即ち種々のガスの30°Cに於ける吸着等温線を測定して来たが、今年度は、流動ガス吸着のための小型試験装置を試作し、主として有機物蒸気流の流動吸着測定を可能とした。この装置で活性炭、処理活性炭について流動吸着の予備的測定を行なつた。

流動ガス吸着試験装置の構造は次の様である。窒素ボンベから窒素ガスを一定速度で発生させ、これを2分流として夫々流速をロータメーターで測定して、温度を30°Cに制御した。この窒素気流の一方を、30°Cの水槽の中に設備した有機物蒸発装置に導いて有機物蒸気を一定濃度に混合し、その後、もう一方の窒素気流を合流させて蒸気濃度を一定比率で稀釈して試験ガス流とした。これを30°Cに保つた吸着剤層に導入し、吸着剤通過後の窒素気流中の有機物濃度をガスクロマトグラフィーで時間的に追跡測定することによつて、吸着剤層の流動ガス吸着特性を調べた。粒子状の吸着剤8.5gは、直径2cm、長さ5cmの円筒状のカラムに充填して用いた。有機物としては、アセトン(窒素気流中濃度2.4~9.5mmHgの範囲)とニトロプロパン(窒素気流中濃度0.72~1.21mmHgの範囲)を窒素に蒸発混合し、流速600ml/min、及び1200ml/minの気流として吸着剤層に導入した。

この流動吸着測定に於て、吸着剤層通過後の気流中に含まれるアセトンとニトロプロパン蒸気の濃度の時間的増大曲線は、理論的に予測された曲線とほぼ一致した。理論式によれば、流入ガス濃度 C_0 の気流を吸着層に通した時、流出ガス濃度 C は次の式に従つて時間的に増大する。

$$C = \frac{C_0}{e^{-kC_0 T} (e^{kN_0 \lambda / \nu} - 1) + 1}$$

この式によれば、流出ガス濃度 C が $C = \frac{1}{2}C_0$ となる時間 $T_{1/2}$ の測定によつて、吸着層によ

るガスの平均吸着量は $C_{\text{O}_2} \times 10$ として求められることが分った。この関係を用いて、吸着装置
 (63) 防毒マスク吸収缶試験用四塩化炭素蒸気混合気流発生装置
 がより正確で求めた吸着量と実測吸着量に一致するため、吸着装置を用いること
 が出来る。この関係を用いて吸着装置に掛ける負荷と静的吸着量との確立を求める
 高野 繼夫・左右田 礼典

るべく、換算を統一する。中筋度空氣混和装置に対する試験結果 (20)

昭和 47 年 10 月より新 JIS 規格にもとづき新しい防毒マスクの規格が定められた。これに
 より従来の試験法にかなり多くの変更があり、その内最も大きい変更の一つに吸収缶の性能で
 ある除毒能力試験時間の延長がある。有機ガス用の吸収缶は、カクリ式の 50 分が 100 分に直
 結式の 15 分が 30 分に直結小型式の 40 分が 50 分にそれぞれ延長された。このため吸収缶に通
 ずる試験空気流中の四塩化炭素蒸気 (試験ガス) 濃度を長時間安定に保つ必要が出て来た。こ
 のような必要性から新たに蒸気発生装置を組立て、その発生法により得られた試験空気流中
 の濃度の安定性と、濃度の決定法の検討を行なつた。
 マイクロモーターによる試験装置
 その変更

四塩化炭素を一定量大きい平底フラスコに入れて秤量した後、気温より若干高めにした恒温
 水槽に入れて通気する。通気空気はあらかじめ同じ恒温水槽中に蛇管で通じ同じ温度になるよ
 うにした。四塩化炭素蒸気を含んだ気流をフラスコ上部にとりつけた冷却管を通じて試験空気
 流に混合した。冷却管には気温よりやや低温に保つた冷水を通じ、過飽和の蒸気を除去しフラ
 スコに還流するように工夫した。通気流量、恒温水槽温度、冷却管内温度を適当に定めて、得
 られる試験空気流中の四塩化炭素濃度が所要の値になるように調整した。得られた気流中の濃
 度はガスクロマトグラフ法及び通気前後のフラスコ内四塩化炭素の重量の差 (減少量) の二つ
 の方法で求めた。この結果 10% 以内で両方の方法からの値が一致することがわかつた。この
 装置によりかなり長時間安定な濃度の試験ガス空気混合気流が得られることもわかつた。なお
 飽和四塩化炭素気流をフラスコ内でつくる際、バブリングあるいは液面吹きつけ等種々の方法
 を検討したが、現在未だ結果の優劣はついていない。

試験ガス	試験温度	試験時間	試験装置
四塩化炭素	25	50	カクリ式
四塩化炭素	25	50	マイクロモーター式

表示する間隔の大きさと試験装置の選択

表示式の音波射出装置の選択の基準は、表示式の音波射出装置の大きさと試験装置の選択の基準は、
 中筋度空氣混和装置に対する試験結果 (20) によると、試験装置の選択は、試験装置の選択は、
 表示式の音波射出装置の選択の基準は、表示式の音波射出装置の選択の基準は、

24 塗装プロセスの局所排気

(64) 連続式コーティングによるエンドレスシートの塗装に対する局所排気系 (その 1)

の隙間式の橋爪式の穂・岩崎 審毅・宮崎 臣男* (*東電化) による
 計測器用の感熱感圧記録紙、各種粘着テープ、フィルム、磁気テープ等の製造工程において、エンドレスのシート、原紙、またはテープの表面上に、各々の目的に応じた塗料を連続式コーティングによって、薄く均一にかつ連続的に塗布、乾燥するプロセスがある。一般にこのようなプロセスにおいて、塗料は多量の各種有機溶剤で稀釀され、懸濁溶液状態で用いられており、塗布作業中は勿論のこと、品種交換の際のロールおよびインクパンの溶剤洗浄作業等の塗布作業に附帯する作業中に、コーティング部およびその周辺の床面から多量の有機溶剤蒸気が発生し、 $253 \text{ m}^3/\text{min}$ の風量による室内全体の稀釀換気 (換気回数 36.6 回/hr) がなされているにもかかわらず、インクパン附近で溶剤蒸気濃度が 700~1000 ppm、作業者の常在する所で 300~400 ppm と極めて高い値を示している。そこで我々は、コーティング部およびその周辺の床面の各発生源から発生する溶剤蒸気が、周囲の空気中に拡散混合する以前に、溶剤蒸気を出来るだけ高濃度の状態で局所的に排気する局所排気装置を設計し、実際に施工して満足すべき結果が得られた。

パン中の塗料がポンプによって機械的に循環されて、パン中に流入すること、シート表面に塗料を塗布し、かつ送り出す役目をする上下送り出しロールの下部ロールがパン中で回転し、パン中の塗料を攪拌すること、更に下部ロール表面の塗料がドクターでかきおとされて、パン中に落下すること等の理由で、パン中の溶剤蒸気の蒸発面が著しく増加し、多量の溶剤蒸気がパン表面から発生する。これに対する制御フードとして、作業性と排気効果から、パンの両長辺に沿つたスロットフード 3, 4 を選定した。

次いで、個々のロールの回転によって惹起される表面回転流が、上下送り出しロールのその接点で互にぶつかりあって、渦波流に変り、それが回転方向と逆方向に流動するので、これを制御するためにドクターの上部にスロットフード 5 が選定された。(尚、このときはスロット開口より矩形開口の方が排気効果がよいはずであるが、作業性と場所から矩形開口の選定が不可能である)

上下送り出しロールとサクションロールとの間のシート表面から発生する溶剤蒸気は、シートの送り出し運動によって惹起されるシート表面空気層の流動によって誘導されて流動することが認められたので、これを制御するために矩形開口型スロットフード 2 が選定された。(こ

のフードは、一見外付け型式に見えるが、矩形開口はシートによつて、進行方向とクロスする2辺はバッフルによつてクローズし、進行方向の前後2辺の下部のみにスロット開口を形成させて、排気効果を向上せしめた)

サクションロールからドライヤ入口迄のシート表面から発生する溶剤蒸気の制御に対して、シートの送り出しのため入口と出口を開口とするクローズフード1とし、かつドライヤーに連結してドライヤーの排気をそのまま利用した。その結果、その一に吸収性の性質

コーターヘッド部の周辺の床面上にこぼれおちた溶剤蒸気、あるいは床面におかれた溶剤の入つた容器や溶剤処理後のウエスから溶剤蒸気が多量に発生する。これを制御するために下方排気グレイティング1、2を選定した。

フード2、3、4、5に対する排気流动条件として、 $Vc_2=3.0\text{m/sec}$, $Q_2=14.21\text{m}^3/\text{min}$, $Vc_3=0.75\text{m/sec}$, $Q_3=26.07\text{m}^3/\text{min}$, $Vc_4=0.75\text{m/sec}$, $Q_4=21.73\text{m}^3/\text{min}$, $Vc_5=0.375\text{m/sec}$, $Q_5=4.08\text{m}^3/\text{min}$ 、下方排気グレイティング1、2に対する排気流动条件として $Vc_1=1.0\text{m/sec}$ $Q_1=94.93\text{m}^3/\text{min}$, $Vc_2=1.0\text{m/sec}$, $Q_2=123.94\text{m}^3/\text{min}$ を与えることにより、インクパン附近でも作業者が常駐する所でも、その気中溶剤濃度を1~1.5ppmに制御することが出来、従つて殆んど100%に近い排気効果を得ることが出来た。

実験装置と方法は、第四・五報と全く同じ方法を用いて行ない、実験に供したフレキシブルダクトの直径dは2" (50.8mmφ), 3" (76.5mmφ), 4" (103.0mmφ), 5" (127.3mmφ), 6" (151.4mmφ), 7" (176.6mmφ)の6種類である。

管径を設定し、R/dをパラメーターとした場合、前記6種類の管径の各々に対して、R/dを1, 2, 3, 4, 5と変化させた時の曲りのηとRe数またはUとの関係を両対数上にプロットすると、曲りのηは、(1)まずR/dの影響を受けながらRe数の増大とともに大きくなる。(2)さらにRe数がある値以上大きくなると、Re数に関係なくほぼ一定値となる。そして、ほぼ一定値となる曲りのηの値、および曲りのηの値がRe数に関係なくほぼ一定となる時のRe数の下限界値は、R/dによって異なることが認められた。この現象は、第四報のθ=90°および第五報のθ=180°の場合と同様に、H. RichterおよびM. Whiteの曲り状態におかれた一般管に関する研究結果と似ており、また、直線状態のこのフレキシブルダクトのピッチまたは管内粗度(第一、二、三報)を曲り状態のときのR/dにおきかえると、直線状態のこのフレキシブルダクトの流体抵抗係数λとRe数との関係に非常に類似していることがわかつた。ある舟部の船内面(船底)を示す(船の軸)のタール白線。

25. フレキシブルダクトの圧力損失(第6報)
(45°, 135°曲りダクトの圧力損失) 橋爪 稔・岩崎 育・井 上 正博* (*横浜国大)

昭和45年度(第4報、曲り角度θ=90°)および昭和46年度(第5報、曲り角度θ=180°)に引き続いて、今年度は、直径の異なる数種のフレキシブルダクトに関して、曲り状態におかれた圧力損失を、曲り角度θ=45°およびθ=135°に対し、曲率半径および管内流速を変化させて測定した。その結果得られた曲りの流体抵抗係数ηとレイノルズ数Reとの相関性、並びに曲りの流体抵抗係数ηと管径d、曲率半径R/dおよび曲り角度θ=90°(第四報で報告)θ=180°(第五報で報告)との相関性を求め、更に実際の設計において、役立ち得るように系統的に総括した。

実験装置と方法は、第四・五報と全く同じ方法を用いて行ない、実験に供したフレキシブルダクトの直径dは2" (50.8mmφ), 3" (76.5mmφ), 4" (103.0mmφ), 5" (127.3mmφ), 6" (151.4mmφ), 7" (176.6mmφ)の6種類である。

管径を設定し、R/dをパラメーターとした場合、前記6種類の管径の各々に対して、R/dを1, 2, 3, 4, 5と変化させた時の曲りのηとRe数またはUとの関係を両対数上にプロットすると、曲りのηは、(1)まずR/dの影響を受けながらRe数の増大とともに大きくなる。(2)さらにRe数がある値以上大きくなると、Re数に関係なくほぼ一定値となる。そして、ほぼ一定値となる曲りのηの値、および曲りのηの値がRe数に関係なくほぼ一定となる時のRe数の下限界値は、R/dによって異なることが認められた。この現象は、第四報のθ=90°および第五報のθ=180°の場合と同様に、H. RichterおよびM. Whiteの曲り状態におかれた一般管に関する研究結果と似ており、また、直線状態のこのフレキシブルダクトのピッチまたは管内粗度(第一、二、三報)を曲り状態のときのR/dにおきかえると、直線状態のこのフレキシブルダクトの流体抵抗係数λとRe数との関係に非常に類似していることがわかつた。ある舟部の船内面(船底)を示す(船の軸)のタール白線。

R/dを設定し、管径をパラメーターとした場合、R/dを等しくし、管径が異なる時、曲りのηとRe数との相関曲線は、第四報および第五報と全く同じように同一曲線にならないことが観察された。この現象は、H. RichterおよびM. Whiteの曲り状態の一般管に関する研究結果では、R/dが同一ならば管径が如何に異なるとも、ηとRe数との相関関係は、どの流体領域においても一致するということと全く趣を異にする。舟部との間にフード(2)をそ

各管径に対して、 η と R/d との関係は、一般管の場合、曲りの η は R/d の変化に対して、 $R/d=2.5$ で極小値をもち、管径に無関係の一つの曲線で示されているのに対して、本実験におけるフレキシブルダクトの場合には、 R/d に対して極小値をもつ曲線であることは一般管の場合と同じであるが、管径によってその絶対値が異なり、一般管に比べてかなり大きい値を示し、かつ η が極小値をとる R/d の値が管径によって異なることが認められた。

本報 ($\theta=45$ および $\theta=135$)、第四報 ($\theta=90$)、および第五報 ($\theta=180$) に対して、 η と θ との関係は、曲り角度 θ が 2 倍になると、 η の値もおよそ 2 倍になることから、 η と θ とはおよそ正比例関係にあることがわかつた。

η と R/d の関係曲線は、各管径により異なり、それらの曲線間に規則性のある相関が見られないで、一般管の曲り部においてなされている「曲り部の全圧力損失に等しい圧力損失を与える直線ダクトの相当長さを求める曲りの圧力損失線図」を作成しても複雑になるだけで、実際のダクトワークの設計にはほとんど役立たない。従つて、曲り部の全圧力損失を速度圧の百分率で表わせば、その係数が本実験で求められた流体抵抗係数 η となるので、曲り角度 $\theta=90$ の η と R/d の関係曲線図を曲りのダクトの圧力損失基本線図とし、任意の曲り角度 θ の圧力損失係数は、 $\eta_\theta = \frac{\theta}{90^\circ} \times \eta_{90^\circ}$ で求めればよいことが判つた。

（66）水道用鋼管外面のコールタール塗覆装プロセスに対する排気フード

26 気中タール様物質除去技術

（66）水道用鋼管外面のコールタール塗覆装プロセスに対する排気フード

橋爪 錠・西本 久郎
1. はじめに
直径の大きい (1M~3Mφ) 水道用鋼管の酸化による腐食を防止し、水道水中えの鉄をはじめとする他の金属や不純物の溶解混入を防止するために、管の外表面がブローンアスファルトやコールタールによつて塗覆装されているが、このときタール白煙が多量に、激しく発生し、その結果、作業者の目、鼻、喉等の粘膜を刺激したり、作業視野妨害による作業能率の著しい低下を引き起したりしており、更にそのタール白煙中に含まれる多環芳香族炭化水素により肺ガンや皮膚腫瘍になる危険性も含んでいる。そこで我々は管外面の塗覆装プロセスにおいて、タール白煙の発生機構及びその発生状態を解明し、その発生状態に適応した局所排気フードの型式と流动条件を実際の装置の設計の指針とする目的に、直径 1m × 長さ 6m の管に対して、実験的に求めた。

2. 発生機構
タールのみの塗覆装とグラスウールジュートとタールとの塗覆装があるが、何れの場合も固形タールピッチ（原料）が 230~250°C の高温で溶融され、液体状態となつたコールタールが、その温度を保ちながら塗装に用いられている。舟部のタール液表面、管表面及びグラスウールジュートに塗られたタール液表面、およびジュートから落下するタール液滴表面などから 230~250°C における揮発物質が蒸発し、次いでこの蒸気状またはガス状揮発物が周囲の空気によつて冷却凝結されて、高沸点揮発物質は固体粒子状物質に、中沸点揮発物質は液体粒子状物質に、低沸点揮発物質はガス状物質のままとなる。従つてタール白煙はこれらの三者の混在した空气中浮遊物質であることが認められた。

3.1 発生状態と排気フードの選定
塗装装置の下部にある舟部の液表面から発生する多量（全発生量の約 84%）のタール白煙、塗装作業側の管の下部表面から発生するタール白煙、及び管の回転により塗装作業と反対側の管の外表面に沿つて誘導流动してくるタール白煙等を舟自身をスロット開口フード(1)によつて、107 m³/min の処理風量で排気した。グラスウールジュート表面、及び管壁から落下する液滴表面から発生するタール白煙は、管の回転ベクトルと熱上昇ベクトルにより垂直上方に 0.9~1.0 m/sec で流动しているので、塗装装置の上部の塗装ノズルと舟部との間にフード(2)をそ

の上昇白煙ベクトルを受け取るように造形、設置し、 $101\text{m}^3/\text{min}$ の処理風量で排気した。更に管の頂部においては回転と熱上昇のベクトルによつて $0.45\sim0.5\text{m/sec}$ で斜め上方に流動するタール白煙を受け取るように造形、設置されたキャノピーフード(3)によつて、 $123\text{m}^3/\text{min}$ の処理風量で排気した。この3つの排気フードにより、発生したタール白煙は殆んど100%排気制御された。この実験において、ジュート表面などから垂直上方に流動するタール白煙の制御の目的で設置したフード(2)はフード(3)のキャノピーフードで併用し得ることが認められた。尚フード(3)は $1M\phi$ 管の直径方向に関して約90%を覆つているので、 $3M\phi$ の管に対しても管の直径方向に関して90%を覆うようにフード(3)をスケールアップし、制御速度をパラメーターとした流动条件で同様の実験を行ない、 $1M\phi$ 管のときと同じ程度の排気効果が得られるかどうか、即ち排気フードの相似性の原理が成立するか否かを調べる予定である。

(67) タール様空気汚染物質の捕集除去技術

橋爪 稔・四本久郎

コールタールや石油タールを原料とするホットプロセスから発生する有害な液相や固相の粒子状空気汚染物質の捕集除去技術は、極めて困難であり、日本のみならず諸外国においてもなお未開発の状態であるが、一方コールタールから発生する空気汚染物質中には3・4ベンツピレンを始めとする発癌性芳香族炭化水素が多量に含有され、遂次社会的関心を集めつつあります。以上の様な事情から我々は、数年前より、この汚染物質の除去技術の研究を始めました。濾過法、湿式法、電気集塵法等による除塵技術の研究を行ないましたが、いずれも充分な効果が得られませんでした。そこで在来の一般的除塵技術とは別に新たに汚染物質の物性を利用する除塵技術の開発に着手し、熱交換法による除塵法を研究し、充分な捕集除去効果が期待される見通しがついたので、基礎工学的な実験を始めました。最終的には工業的に直接適用し得る捕集技術を確立することを目的としています。

水道用鋼管の塗覆作業に使用するグラスウールの布を濾材とする濾過法による実験を行なった結果、発生するタール様空気汚染物質は濾過装置に到達する以前のダクト内壁面に沸点の高い成分物質から順に、単なる空気冷却により凝集付着してしまった。また湿式洗浄法によつても殆んどフュームは捕集されなかつた。これらの事実から濾過法や湿式洗浄法あるいは、その他の従来の除塵方法よりも、冷却凝集法の方が除去効果が高いといつことが判明したので、チューブラー・コンデンサー($12\phi \times 1000\ell \times 31\text{本}/\text{基}$)3基を直列に連結して、捕集実験を行なつた。

実験条件は第1コンデンサーの冷却水として特に 40°C の温水を、他の2本には水道水を循環しました。供給濃度 C_{g^0} を $1\sim10\text{g}/\text{m}^3$ 間を6点選定し、チューブラ内流速 $V_d = 1.84$,

$3.22, 5.06, 8.24\text{m/sec}$ をパラメーターとして、放出濃度(未捕集分濃度)を測定し、その放出濃度、供給濃度、およびチューブラー流速との間の相関関係を求め、次のような結果が得られた。

捕集除去効果とチューブラー流速との間にはS字曲線関係が存在し、流速の小さい 1.84m/sec 附近では流速と共に除去効果は徐々に増加するが 1.84m/sec を越えると僅かな流速の増加に対して除去効果が著しく増加する。流速が 3.22m/sec の値に達すると流速がそれ以上大きくなつても除去効果は増加せず一定となつた。即ち臨界速度が存在すると考えられる。このときの放出濃度 C_{g^0} は供給濃度によつて多少異なるが約 $200\text{mg}/\text{m}^3$ であつた。またこの現象は供給濃度の大小にも相応していることが認められた。これは、コンデンサー内に流入したタール様空気汚染物質は冷却によって壁面に凝集付着します。次に流速が速くなると伝熱抵抗となつて伝熱膜が薄くなり、その結果熱伝導率が良くなり、冷却効果があがるので。また流速が速くなつて捕集効果を上げ得る別の要因は、流动流体の乱流が激しくなることにより、気流の冷却壁面えの衝突頻度が増大し、かつ凝集粒子の壁面えの衝突慣性量が増大します。これらの要因によつてタール様空気汚染物質の冷却凝集物の壁面えの付着量は、流速の増加と共に増加するのです。

会計係長	齋合 達哉	(大蔵直)	T.S. No. DR-38	本間 克典
	齋合 達哉	(大蔵直)	No. 1052	友中丈也
	齋合 達哉	(大蔵直)	1003K	友中丈也
職業病部長	齋合 達哉	(大蔵直)	1050A	坂部 弘之
主任研究官	齋合 達哉	(大蔵直)	No. 1002N	三輪 俊輔
	齋合 達哉	(大蔵直)	No. DR-82K	博 守 和子
	齋合 達哉	(大蔵直)	No. DR-12N	佐藤 光男
	齋合 達哉	(大蔵直)	No. DR-12N	加藤 寿一
	齋合 達哉	(大蔵直)	No. DR-12N	春山 喜美

宝井 伸品	商 品	新 面	新 面	新 面	
齋合	DR-88	No. GM-10 S	半 友 輸	ス マ 洗	博 関 智子
齋合	新環境	No. GM-10 S	全 友 輸	ス マ 洗	博 関 大樹
齋合	主任研究官	No. GM-25N	半 友 輸	ス マ 洗	博 関 大樹
齋合	No. GM-25N	No. GM-25N	全 友 輸	ス マ 洗	博 関 大樹
齋合	No. GM-38K	No. GM-38K	半 友 輸	ス マ 洗	博 関 大樹
齋合	No. GM-38K	No. GM-38K	半 友 輸	ス マ 洗	博 関 大樹
齋合	No. GM-38K	No. GM-38K	全 友 輸	ス マ 洗	博 関 大樹
齋合	No. GM-38K	No. GM-38K	半 友 輸	ス マ 洗	博 関 大樹
齋合	No. GM-38K	No. GM-38K	全 友 輸	ス マ 洗	博 関 大樹
齋合	No. GM-38K	No. GM-38K	半 友 輸	ス マ 洗	博 関 大樹
齋合	No. GM-38K	No. GM-38K	全 友 輸	ス マ 洗	博 関 大樹
齋合	No. GM-38K	No. GM-38K	半 友 輸	ス マ 洗	博 関 大樹

II 保 護 具 檢 定

47年度防じんマスク国家検定 (47.4~48.3)

形 式 判 定
 サカヰ式 1021-N形 (直結式) 特級合格
 サカヰ式 1005-C形 (直結式) 1級合格
 サカヰ式 1011形 (直結式) 特級合格
 ダストホ 66 (直結式) 1級合格
 T S. No. D R-34K (直結式) 2級合格
 T S. No. D R-15N (直結式) 2級合格
 T S. No. D R-18N (直結式) 1級合格
 T S. No. D R-31K (直結式) 2級合格
 T S. No. D R-35 (直結式) 2級合格
 サカヰ式 1021S形 (直結式) 特級合格
 サカヰ式 1003K形 (直結式) 特級合格
 サカヰ式 1020A形 (直結式) 特級合格
 サカヰ式 1005N形 (直結式) 特級合格
 T S. No. D R-85K (直結式) 特級合格
 T S. No. D R-12N (直結式) 特級合格

47年度防毒マスク国家検定 (47.4~48.3)
 区分したの種類学的な実験を形いました。最終的商は品名と直接適用判定
 有機ガス用 防毒マスク 隔離式半面形 T S. No. GM-86 合格
 有機ガス用 防毒マスク 隔離式全面形 サカヰ式 A-1形 不合格
 有機ガス用 防毒マスク 直結式半面形 T S. No. GM-25 合格
 有機ガス用 防毒マスク 隔離式全面形 T S. No. GM-56N 合格
 有機ガス用 防毒マスク 直結式半面形 T S. No. GM-38K 合格
 有機ガス用 防毒マスク 隔離式全面形 T S. No. GM-202K 合格
 有機ガス用 防毒マスク 直結式半面形 T S. No. GM-37K 合格
 有機ガス用 防毒マスク 直結式全面形 T S. No. GM-64K 合格
 有機ガス用 防毒マスク 直結式全面形 T S. No. GM-65K 合格
 有機ガス用 防毒マスク 隔離式半面形 T S. No. GM-86Kd 合格

III 庶 務

(1) 職 員

昭和48年3月31日現在における定員は次のとおりである。

区 分	所 長	研 究 部 門				管 理 部 門				合 計	
		部 長	主 任 研究官	研 究 員	研 究 補 助 員	計	課 長	係 長	二 般 職 員	技 能 職 員	
定 員	1	4	18	17	6	46	1	2	5	6	146

同日現在における職員は次のとおりである。

所長 医博 山口 正義

庶務課長 中村 寛 主任研究官 橋爪 稔
 庶務係長 森谷 聖 本間 克典
 会計係長 阿部 周三 松村 芳美

職業病部長 医博 吉川 博	労働生理部長 医博 坂部 弘之
主任研究官 理博・医博 長谷川 弘道	主任研究官 工博 三輪 俊輔
理博 林 久人	理博 守和子
理博 興 貴美子	理博 佐藤 光男
理博 松下 秀鶴	医博 加藤 寿一
鈴木 康友	春山 晓美
新規運用部 (技研)	医博 須藤 純子
労働環境部長 医博 興 重治	医博 鶴田 寛
主任研究官 浜田 昭	実験中毒部長 医博 河合 清之
原 登	主任研究官 理博 木村 正巳
理博 左右田 礼典	工事事務所監督室長により、研究所建物の保

(2) 予算

昭和47年度予算は、労働衛生研究所に必要な経費及び総理府関係予算の内より移替された経費で構成されており、その合計額は222,715千円で前年度184,645千円に対し20.6%の増額となつてゐる。

イ 労働衛生研究所に必要な経費としては次表のとおり一般会計、特別会計を合せ総額で、
10.6%，人件費19.7%，研究費0.8%の増額、労働衛生保護具性能審査費9.6%，その
他の経費で22.8%の減額となつてゐる。

47年度防じ員マスク国家鑑定(47.4~48.3)

(単位 千円)

区分	前年			昭和47年			前年度対比	
	一般会計	労災特会	計	一般会計	労災勘定	計	増△減額	増減率%
(1) 人件費	56,984	39,971	96,955	66,586	49,458	116,044	19,089	19.7
(2) 研究費	18,189	50,432	68,621	19,123	50,071	69,194	573	0.8
(3) 労働衛生保護具性能審査費	1,284	—	1,284	1,161	—	1,161	△123	△9.6
(4) その他の経費	2,844	2,805	5,649	2,860	1,500	4,360	△1,289	△22.8
計	79,301	93,208	172,509	89,730	101,029	190,759	18,250	10.6

[注] その他の経費とは、一般会計で人当経費及び一般運営費、労災保険特別会計で業務取扱費（人件費以外のもの）及び施設費等運営費系統の経費である。

総理府関係予算の内より移替された経費としては、総額31,956千円が当該年度の研究計画に基づき措置された。内訳次表のとおり

区分	項目	47年度予算額	備考
1. 科学技術庁	(1) 国立機関原子力試験研究費	千円 5,562	1) 職業病のための放射性同位元素利用に関する研究
	(2) 特別研究促進調整費	22,405	1) PCB代替品の毒性に関する研究 4,974千円。 2) 化学物質および重金属の安定性評価手法に関する総合研究 10,915千円。 3) 都市生活における精神的健康度に関する総合研究 6,516千円
2. 環境庁	(1) 環境保全総合調査研究促進調整費	各千円 3,989	1) 大気複合汚染を形成する熱分解生成物の生体に及ぼす影響に関する研究
	計	31,956	類 S No. GM-56N

(3) 図書及び刊行物

昭和47年度においては、単行書合計116冊、雑誌合計366種類を受け入れ、377冊の雑誌製本を行なつた。

(1) 収集回 1 著者会大卒会卒業論文集(47.4~48.3)

類別別冊の開拓が主な題出上卓持りもしくは明か著者大さくさく総合収集

SI.8 TA

種 別 購 入 寄贈・交換 合 計

单 行 書	和 43 冊	8 冊	51 冊
洋 58 冊	7 冊	65 冊	

雜 誌	和 2 种	186 种	188 种
洋 100 种	78 种	178 种	

(2) 製 本

製 本 冊 数 377 冊

2. 刊 行 物

昭和47年度は、つきの各号を刊行した。

(1) 労働衛生研究所年報 昭和46年度版

(2) Industrial Health Vol. 10, No. 1~2

(3) " " No. 3~4

(4) 日 誌

47. 4. 1 本日次の人事が発令された。

新規採用 労働生理部（技）岡 龍一雄
実験中毒部（技）名取 功

47. 4. 12 建設省大臣官房營繕部建築課森担当官が産業医学総合研究機関の建設予定敷地を視察した。

47. 4. 12 科学技術週間（科学技術庁主催）行事の一環として当研究所を一般公開した。
～17

47. 5. 1 本日次の人事が発令された。

新規採用 職業病部（技）中村 国臣

47. 5. 11 労働基準局鈴木庶務課長ほか2名が来所し研究施設を視察した。

47. 6. 8 研究所開所15周年記念行事を実施した。

47. 7. 11 建設省関東地方建設局横浜營繕工事事務所營繕監督室長により、研究所建物の保

安度調査が実施された。

47. 7. 21 昭和48年度増員および等級別定数改定要求について労働大臣官房秘書課に説明
を行なつた。

47. 7. 21 大蔵省主計局労働担当主査の交替に伴ない所管事項について説明を行なつた。

47. 8. 3 昭和48年度概算要求について労働大臣官房会計課長の調整が行なわれた。

47. 8. 12 坂部労働生理部長、第30回米国顕微鏡学会年次大会兼第1回太平洋地域電子顕微鏡会議における「大気汚染に関するパネル討論」出席および諸外国の研究施設視察のため、アメリカ合衆国に出発した。
47. 8. 16 本日次の人事が発令された。
庶務課会計係（事）森 貞樹が渋谷労働基準監督署に転出した。
足立労働基準監督署より（事）田中善久が庶務課会計係に転入した。
47. 8. 17 大蔵省主計局労働担当主査が来所し研究施設を視察した。
47. 8. 23 坂部労働生理部長、海外出張より帰国した。
47. 9. 1 労働省設立25周年記念行事を実施した。
47. 9. 5 昭和48年度概算要求を大蔵省に説明した。
47. 9. 12 山口所長、「国際結核予防連合会役員会ならびに総合プログラム委員会」出席のためフランス共和国に出発した。
47. 9. 18 産業医学総合研究機関の概要についての事情聴取および現地視察のため、会計検査院浦和課長ほか2名が来所した。
47. 9. 19 山口所長、海外出張より帰国した。
47. 9. 20 行政管理庁藤本管理官が来所し研究施設を視察した。
47. 9. 25 労働生理部三輪主任研究官、「国際標準化機構第108専門委員会（機械振動と衝撃）SC4（人体に対する振動衝撃許容限）会議」出席のため英国に出発した。
47. 9. 26 関東財務局横浜財務部桐田国有財産監査官により、行政財産の査察が行なわれた。
47. 9. 30 坂部労働生理部長、「石綿研究グループ会合ならびに欧州における職業病研究事情視察」のためフランス共和国に出発した。
47. 10. 5 労働生理部三輪主任研究官、海外出張より帰国した。
47. 10. 16 昭和48年度増員要求を大蔵省に説明した。
47. 10. 20 坂部労働生理部長、海外出張より帰国した。
47. 10. 20 北里大学大道明教授ほか学生103名が来所し見学した。
47. 10. 27 山口所長、「第8回国際結核予防連合東部地域会議」出席のためオーストラリア連邦シドニー市に出発した。
47. 11. 5 山口所長、海外出張より帰国した。
47. 11. 7 人事院事務総局管理局職階課、高原課長補佐、高橋係長により職務調査が実施された。
47. 11. 12 昭和48年度等級別定数改訂について復活説明を行なつた。
47. 11. 30 川崎市役所建築局指導課より古谷係官ほか3名が来所し、産業医学総合研究機関の建設敷地を視察した。
47. 12. 23 加藤 新労働大臣の就任挨拶が労働省講堂において行なわれた。
48. 1. 8 昭和48年度概算要求査定内示および復活要求が行なわれた。
～15
48. 1. 19 建設省関東地方建設局営繕部建築課係官により、建物の地震に対する安全度調査が実施された。
48. 3. 3 山口所長、「第22回国際会議（東京開催）プログラム委員会」出席のためフランス共和国に出発した。
48. 3. 10 職業病部林主任研究官、「環境中のアスベスト及び肺内のアスベストの鉱物学的研究」のためアメリカ合衆国に出発した。
48. 3. 11 山口所長、海外出張より帰国した。
48. 3. 25 本日次の人事が発令された。
庶務課長 渡辺 弘が新潟労働基準局庶務課長に転出した。
群馬労働基準局より中村 寛が庶務課長に転入した。

昭和48年6月1日 印刷
昭和48年6月5日 発行

発行所 川崎市木月住吉町2051
労働省労働衛生研究所
電話中原(044)④2185(代表)

印刷所 神田印刷株式会社